

## O. LÄHTÖKOHDAT

### O.1 TAVOITTEET

#### Teorian tarve

- (1) Usein on  $N \sim N_A \approx 6 \times 10^{23}$  hiukasta (yksi muoli)  
 ⇒ tarkka mikrosk. kuvailevuus (litteytälöt...) ei onnistu  
 ⇒ todennäköisyyslaskenta & tilastotieteellinen ("STATISTINEN")  
 ⇒ päädytään tarkastelemaan keskiarvoja:

$$\langle \text{MIKROSKOPIA} \rangle \xrightarrow[\substack{(*) \\ \text{miten?}}]{} \underbrace{P, V, T, \dots}_{\text{MAKROSKOPIA}}$$

- (2) Tutkittava järjestelmä kontaktissa toisen kanssa  
 ⇒ ongelma: kontakti monimutkainen mikrotasolla (atomaariset prosessit...)  
 ⇒ kuvattavissa muutamalla parametrilla!? (ei ole mitenkään selvää)

#### Historiallisesti

- 1800: termodynaamiset (TD), empiriset lainalaisuudet ilman mikroskooppista kuvaa aineesta
- 1850: statistinen mekanikkaka (SM) → empiristen havaintojen selittäminen oletetusta mikroskopiasta
- 1900: kvantimekanikkaka ⇒ "oikea" mikroskopia ⇒ TD & SM ideoiden vahvistaminen + sovellukset
- 2000: kollektiiviset ilmiöt, kompleksiset systeemit, epätasapainoilmiöt, laskennallinen fysiikka

#### Tämä kurssi

$$\text{"Statistinen fysiikka"} = \overbrace{\text{TD} + \text{SM}}$$

→ ESITETÄÄN KORSSILLA RINNAKKAIN

(Jatkokurssi = Monen kappaleen ilmiöt FYS615)

(2)

## Makroskooppisia sistemaattia & ilmiöitä

KIINTEÄ SINE (tiheää, järjestynyt kiderakenne)

kidervirheet, magnetismi, hilaväärähtelyt, johtavuuselektronit, ...

NESTE (epäjärjestynyt, tiheää)

olomuodonmuutokset

huom: mikrosk. teoria vaikeaa

KAASU (epäjärjestynyt, harvaa)

tämpökapasiteetti, kokoonpistumus

ideaalikaasu & reaalikaasu

KUITA

mustan kappaleen säteily, varhainen maailmankausi, suprajohksevues, suprajoh tavues, BEC, plasma, polymeerit, amorfiset materiaalit, ...

Tavoite: Haluamme rakentaa yleisen koneriston, jolla pääsemme käsiin tavanomaisten fluidien.

## O.9. MIKROTIAT JA MAKROTIAT

Mikrotila = systeemin mikroskooppinen tila eli täydellinen kuvaus hiukkastasolla

Esim. \* klassinen kaasu: 6N parametria (liikemäärät ja paikkakoordinaatit)

\* kvantimekaaninen tila  $\longleftrightarrow$  kvantiluvut

Makrotila = systeemin makroskooppinen tila, jonka määraavat miltäman havaittavan suureen arvot

Esim. \* klassinen kaasu: T, V, N

$\uparrow$  TD määriteltävät

\* magnetti: T, B, N

Huom. Yhtä makrotilaa vastaa monta mikrotilaa.

### 0.3. MIKROTI LAT LÄHTEMMIN - KVANTTIMEKANIKAN MUISTELUA

Kurssi Kvanttimekanika I ei kuulu tämän kurssin lähtötasovaatimukseen. Matkan varrella tarvitsemme kuitenkin kvantimekanikasta muutamain keskeisen idean ja "peruskurssitasoisen faktan".

#### Järjestelmän energiatilojen kvantituuinen

Hälytiseen tilavuuteen suljetun (idealisaatio!) hiukkassysteemin energia  $E$  (sisäenergia) kvanttuu eli se on systeemihin mikrotiloja  $r$  vastaavia diskreettejä arvoja  $E_r$ .

$\nwarrow$  KVANTTITILAT  $\leftrightarrow$  KVANTTILUVUT

$\uparrow$  SCHRÖDINGERIN YHTÄLÖSTÄ ...

Mikrotilojen energiat  $E_r$  riippuvat mu. tilavuudesta  $V$  ja hiukkaston lukumäärästä  $N$  eli  $E_r = E_r(V, N)$ .

Jotakin kurssilla vastaan tulevia erikoistapauksia:

#### Hiukkasan laatikossa

Kuutionmuotoiseen laatikkoon suljetun eli potentiaalissa

$$U(x, y, z) = \begin{cases} 0, & \text{kun } 0 < x < L, 0 < y < L, 0 < z < L \\ +\infty, & \text{muualla} \end{cases}$$

asuvan pistemäisen  $m$ -massaisen hiukkisen (stationaariset) energiatilat ovat

$$E_{\vec{k}} = \frac{\hbar^2 k^2}{2m}, \quad \vec{k} = \frac{\pi}{L} (n_x, n_y, n_z)$$

$$n_x, n_y, n_z = 1, 2, 3, 4, \dots$$

(0.1)

Muistamme, että mahdolliset aaltovektoren  $\vec{k}$  arvot ovat analogiset kolmenulotteisen aaltoyhtälön  $\nabla^2 \phi + k^2 \phi = 0$  ratkaisujen kanssa seisovien aaltojen (joille  $\phi(x, y, z) = 0$  kuution reunilla) tapauksessa.

Selvästi on  $E_{\vec{k}} = E_{\vec{k}}(L) = E_{\vec{k}}(V)$ .

TÄSSÄ SÜS ON  $E_r \rightarrow E_{\vec{k}}$   
eli  $r = \vec{k} = (k_x, k_y, k_z)$

(4)

## Harmoninen väärähtelijä

Potentiaalissa (1-dim)

$$U(x) = \frac{1}{2} kx^2$$

elävän m-massaisen hiukkisen mahdolliset energiat ovat

$$E_n = (n + \frac{1}{2})\hbar\omega, \quad n = 0, 1, 2, 3, \dots$$

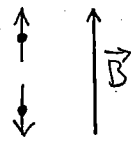
$$\omega = \sqrt{k/m}$$

(0.2)

## Magneettinen dipoli

Olkoon hiukkasselä magnetinen momentti  $\vec{\mu}$ , jonka pituus siihen on  $\mu = |\vec{\mu}|$ . Ulkoisessa magnettikentässä  $\vec{B}$  sen energia on  $-\vec{\mu} \cdot \vec{B}$ . Maailma on kuitenkin kvantimekaaninen ja dipolilla ( $s=1/2$ -dipolilla) on vain kaksi mahdollista energiatilaaa:

$E_{\uparrow} = -\mu B$	(spin "ylös")
$E_{\downarrow} = +\mu B$	(spin "alas")



(0.3)

## Useamman hiukkisen systeemit

Yllä esimerkkinä kolme yhden hiukkisen systeemää.

Jos useamman hiukkisen systeemissä hiukkaset ovat oleellisesti keskenään vuorovaikuttamattomia, voidaan

systeemin mikrotila jollain hetkellä ilmaista kirjoittamalla kunkin yksittäisen hiukkisen tila.

Esim. Kymmenen dipolin systeemillä on  $2^{10}$  mikrotila, esim:

$$\uparrow \uparrow \uparrow \uparrow \uparrow \uparrow \downarrow \downarrow \downarrow \quad E_a = (-7+3)\mu B = -4\mu B$$

$$(N=10) \quad \uparrow \downarrow \downarrow \downarrow \downarrow \downarrow \downarrow \downarrow \downarrow \quad E_b = (-1+9)\mu B = +8\mu B$$

$$\downarrow \uparrow \downarrow \downarrow \downarrow \downarrow \downarrow \downarrow \downarrow \quad E_c = (-1+9)\mu B = +8\mu B$$

Huom. Aina ei monihiuksista tilaa voi esittää näin suoravärisesti yksihuukkastilojen avulla.

## 0.4 MIKROTILAT - TODENNÄKÖISYYSLASKENTAA

Kurssilla tarkastellaan kahdenlaisia fysikaalisia järjestelmiä: sellaisia joissa (1) kaikki saavutettavissa olevat mikrotilitat ovat yhtä todennäköisitä, ja näitä joissa (2) näin ei ole eli mikrotiloilla on jokin todennäköisyysjakauma (johon haluamme päästä keskiseksi).

Todennäköisyyslaskennan käytöstä esimerkkien valossa:

### (1) Rahanheitto

Heitetään kolikkoa  $N$  kertaa. Kullekin yksittäiselle heitolle tulosten todennäköisyys on  $p_+ = \frac{1}{2}$  (kruuna) ja  $p_- = \frac{1}{2}$  (klaava).

Monellako tavalla saadaan  $n$  kruunaa ja  $N-n$  klaavaa?

$$\omega(n)$$

$$N=1 \quad n=0 \quad \square \quad \omega(0)=1 \Rightarrow p(0)=\omega(0)/\Sigma = \frac{1}{2}$$

$$n=1 \quad \boxplus \quad \frac{\omega(1)=1}{\Sigma=2} \Rightarrow p(1)=\omega(1)/\Sigma = \frac{1}{2}$$

normaus:  $\sum_{n=0}^N p(n) = 1$

$$N=2 \quad n=0 \quad \square \quad \omega(0)=1 \Rightarrow p(0)=\frac{1}{4}$$

$$n=1 \quad \boxed{-+} \quad \boxed{+-} \quad \omega(1)=2 \Rightarrow p(1)=\frac{1}{2}$$

$$n=2 \quad \boxed{++} \quad \frac{\omega(2)=1}{\Sigma=4} \Rightarrow p(2)=\frac{1}{4}$$

Helposti nähdään, että yleiselle  $N$

$$\omega(n) = \frac{N!}{n!(N-n)!} = \binom{N}{n} \quad \Sigma = 2^N$$

Kertoma  $N! = 1 \cdot 2 \cdot 3 \cdots N$  ( $0! = 1$ ) tulee kurssilla tutuksi.

Suurilla  $N$  osoittautuu hyödylliseksi Stirlingin approksimaatio

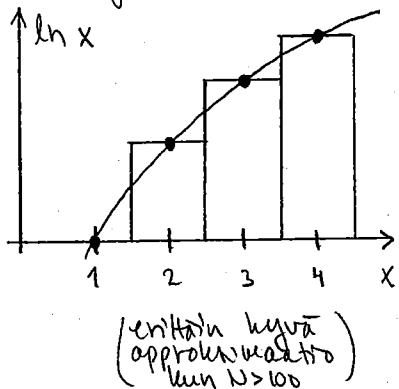
$$\ln N! \sim N \ln N - N, \text{ kun } N \gg 1$$

(0.4)

Harj: Mihä on  $\ln(\binom{N}{n})$ :n johtava käytäntyminen kun  $1 \ll n \ll N$ ?

6

Stirlingin kaavan (0.4) "todistus":



$$\begin{aligned}
 \ln N! &= \ln(1 \cdot 2 \cdot 3 \cdots N) \\
 &= \ln 1 + \ln 2 + \ln 3 + \cdots + \ln N \\
 &= \sum_{x=1}^N \ln x \approx \int_1^N dx \ln x \\
 &= \int_1^N (x \ln x - x) = N \ln N - N + 1
 \end{aligned}$$

HERKUTUKSETÖN SUURILLA N

## (2) Väärän rahan heitto

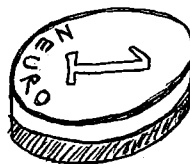
Jos kolikko onkin painotettu siten, että klaava on c kertaa n:n todennäköinen kuin kruuna, saamme

$$p(n) = \tilde{w}(n) / \tilde{\zeta}(N)$$

$$\tilde{w}(n) = w(n) \cdot 1^n \cdot c^{N-n} \quad (\text{missä } w(n) \text{ kuten edellisekä siivulla})$$

$$\text{Normitusekto } \left[ \sum_n p(n) = 1 \right] \text{ antaa } \tilde{\zeta}(N) = \sum_{n=0}^N \tilde{w}(n).$$

$$\text{Keskiarvo N heitolle: } \left[ \langle n \rangle = \sum_n n p(n) \right]$$



Hajontaa keskiarvon ympärille mittaa n:n toinen momentti

$$(\Delta n)^2 \equiv \langle (n - \langle n \rangle)^2 \rangle = \sum_n (n - \langle n \rangle)^2 p(n)$$

joka voidaan myös kirjoittaa muotoon

$$\begin{aligned}
 \langle (n - \langle n \rangle)^2 \rangle &\equiv \langle n^2 - 2n\langle n \rangle + \langle n \rangle^2 \rangle \\
 &= \langle n^2 \rangle - 2\langle n \rangle \langle n \rangle + \langle n \rangle^2 = \langle n^2 \rangle - \langle n \rangle^2
 \end{aligned}$$

Edelleen, jos  $f = f(n)$ , on sen keskiarvo

$$\langle f \rangle = \sum_n f(n) p(n) \quad \text{ja yleensä } \langle f \rangle \neq f(\langle n \rangle).$$

Huom. Merkinnät:

LUENNOST	KURSSIKIRJA
$\langle E \rangle$	$\bar{E}$
$\langle (E - \langle E \rangle)^2 \rangle$	$\overline{(E - \bar{E})^2}$

# 1. TERMODYNAAMIKAN PERUSTEET

On mukavasti, esitetään makroskooppinen termodynamika ensin vaikka vasta mikroskopista lähtevän statistisen mekanikan yhteydessä. TD:n koneistoa voi (silloin kun se rüttää) kogtaa ilman SM:aa (joka tarvitaan joidenkkin ilmiöiden selittämiseen). Lisäksi TD antaa tuloksia järjestelmiille, joiden SM on tavan varkeaa ratkaisuvaksi.

## 1.1. TERMODYNAAMISTEN MUUTTUJAT JA TASAPAINO

### Määritelmä

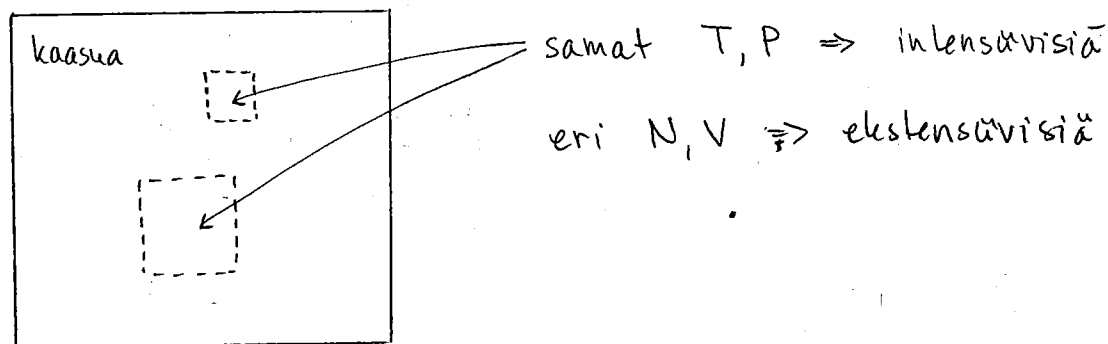
Termodynamiiset muuttujat ovat makroskooppista järjestelmiää kokonaisuutena (ei säs sen mikroskooppisia rakennostia) ja sen makrotilaan karakterisoivia suureita.

Tavallisesti rüttää tarkastellaan kahdenlaisia suureita A:

\* ekstensivisia: verrannollista ainemäärään eli  $A \propto N$

\* intensivisia: jotka eivät riipu ainemäärästä ( $A \neq A(N)$ )

kun tarkastellaan järjestelmiän eri kokoisia osia; esim.



Tällä kurssilla vastaan tulevia TD suureita ovat:

ekstensivisia:  $N, V, E, S, M$

ENTROPIA ↑ ↑ MAGNETITUMA

intensivisia:  $T, P, g = \frac{N}{V}, B, \mu$

TIHEYS ↑ MAGNETINKENTÄ

KEMIALLINEN POTENTIAALI

(8)

## Määritelmä

Termodynäaminen tasapaino (tila), jatkossa TDTP:

- (i) TD muuttujat ajasta riippumattomia ("steady state") JA
- (ii) systeemissä ei makroskooppisia virtuja (esim. lämpövirtuja).

mikä implikoi seuraavat ehdot:

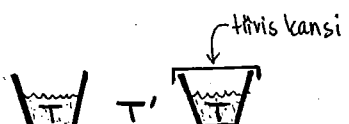
$$\text{koko systeemissä} \left\{ \begin{array}{ll} T = \text{VAKIO} & \text{terminen tasapaino} \\ P = \text{VAKIO} & \text{mekaaninen tasapaino} \\ \mu = \text{VAKIO} & \text{kemiatalinen tasapaino} \end{array} \right.$$

## Huom.

- \* Aika, joka kulun TDTP:oon pääsemiseen = relaksatiotaika
- \* Relaksatiotaajat voivat olla hyvin pitkiä.

## Esim.

(1) Kumpi kuperinen tasapaino on nopeammilla?



(2) Taulu kykyvarastosta seinttelle.

(3) Timantti.

(4) Biosysteemit, esim. ihminen.

## 1,2. TILAMUUTTUJAT, TILAFUNKTIOT, TILANYHTÄLÖT

## Määritelmä

Tilamuuttujat = valitut TD muuttujat  $Y_i$ , jotka määritetään systeemin makrotilan  $(Y_1, Y_{2,m}, Y_M)$ .

Tilafunktiot = TD suuret  $F_j$ , joiden arvo riippuu vain makrotilasta eli  $F_j = F_j(Y_1, Y_{2,m}, Y_M)$ .

Tilanyhtälö = mitattavien TD muuttujien riippuvuus toisistaan, kirjoitettavissa muotoon  $\underbrace{f(Y_1, Y_{2,m}) = 0}$ .

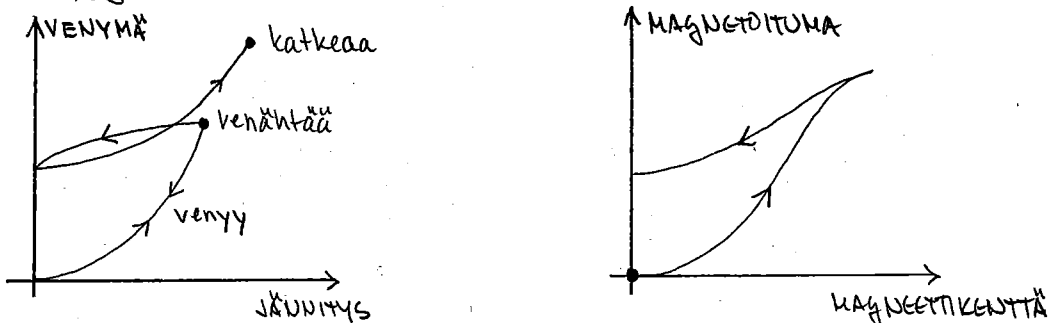
mitattu riippuvuus TAI  
johdettu/arvattu yhtälö TAI  
numerisesti laskettu käyrä

Esim.

- (1) ideaalikaasun tilanyhtälö:  $PV - Nk_B T = 0$
- (2) van der Waal'sin tilanyhtälö:  $(P + a \frac{N^2}{V^2})(V - bN) - Nk_B T = 0$
- (3) viriaaliyhtälö:  $PV - Nk_B T \left[ 1 + \frac{N}{V} B_2(T) + \frac{N^2}{V^2} B_3(T) + \dots \right] = 0$
- (4) künteän lepisen tilanyhtälö:  $V = V_0 (1 + \alpha T - \beta P)$

Huom.

- \* TDTP:ssa tilanfunktion arvo riippuu ainoastaan tasapainotilasta, ei historasta (siltä miten tultu TDTP:oon).
- \* Joskus kuvailu yksinkertaisella tilanyhtälöllä ei rätä, syynä hysteresis (tilan riippuvuus historasta), esim:



Hysteresis-ilmiön tarkempi kuvailu ei talla kurssilla.

### $(E, V, N)$ -systeemit

Jatkossa tarkastellaan usein järjestelmää, joiden TDTP-tilan räätää kunnittaan kolme muuttujaa:  $E, V, N$ . Näitä ovat mm fluidit (kaasut & nestet), tutuimpina esimerkkinä klassinen ideaalikaasu, jolle (lukio, peruskurssit)

$$E = \frac{3}{2} Nk_B T \quad \text{Joulen laki} \quad (1.1)$$

$$PV = Nk_B T \quad \text{Ideaalikaasun tilanyhtälö} \quad (1.2)$$

eli jos tilamuuttujat  $E, V, N$  tiedetään tarkasteltavalle TDTP-talalle, voidaan tilanfunktioina ratkaista  $T$  ja  $V$ . Yltä hyvin voimme valita muuttujiksi  $P, V, T$ , jolloin näiden määritämän TDTP-tilan funktioita ovat  $E$  ja  $N$ .

(10)

## Perusprosessit

Järjestelmä voi säätyä makrotilasta toiseen monella tavalla, esim. pitämällä jokin tilamuuttuja vakiona:

ISOTERMINEN: T vakiona

ISOBAARINEN: P vakiona

ISOVOLYYMINEN: V vakiona

ADIADAATTINEN: lämpöä ei sääry

Muita tärkeitä prosessityyppiä ovat:

SPONTAANI: tapahtuu ilman ulkoisten ehtojen muuttamista

REVERSIBELI: (1) kvasistaattinen = pienin askelin TDTP-tilojen kautta etenevä (tilanyhdistö voimassa!) JA

(2) ilman hysteresis-tiluidotia

IRREVERSIBELI: ei-reversibeli (esim. nopeat muutokset)

## 1.3. PÄÄSAÄNNÖT

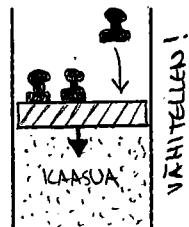
Tarkastellaan selkeyden vuoksi (E,V,N)-systeemistä.

Olkoon aluksi N = VAKIO.

Järjestelmään tehty (mekaaninen) työ on

$$\delta W \stackrel{REV}{=} -P dV \quad (1.3)$$

↑ ↑  
TILANFUNKTIODITA



Merkintä  $\stackrel{REV}{=}$ : tehty työ W ei ole järjestelmän ominaisuus  
 $\Rightarrow \delta W$  ei ole eksakti differentiaali ( $dV$  on)

Yhdistö (1.3) on kuitenkin idealisaatio, joka patee vain reversibellelle prosesseille ( $\Rightarrow$  "REV").

Irreversibellelle (nopealle) puristukseen

$$\delta W \stackrel{IRREV}{>} -P dV \quad (1.4)$$

↑ MIKSI NÄIN PÄIN?

mähän alle tihentymä  
 $\Rightarrow$  tilanyhdistö ei voimassa



Tarkastellessamme fysikaalista prosesseja (esim.  $T=VAKIO$ ,  $N=VAKIO, \dots$ ) havaitsemme usein, että  $dE \neq dW$ . Näiden erotusta ketsumme jarjestelmaan saamaksi lämmöksi  $dQ$  eli

### 1. pääsäntö (TD I)

Infinitesimaalisille muutoksiille

$$dE = dQ + dW \quad (1.5)$$

minkä kirjoitamme makroskooppisille prosesseille muodossa

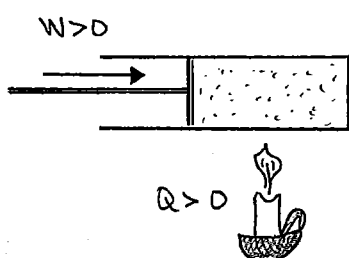
$$\Delta E = Q + W \quad (1.6)$$

missä siltä

$E$  = systeemien sisäenergia

$Q$  = systeemien saama lämpö

$W$  = systeemien tehty työ



Huom.

Josssain kirjoissa  $W \rightarrow \Delta W$ ,  $Q \rightarrow \Delta Q$  ja myös  $W \rightarrow -W$ .

Rasile "lämpö" ei riitä tekemään TD:sta käytökkäistä teoriaa vaan tarvitaan "suuri harppaus": Haluamme kirjoittaa myös  $dQ$ :n eksaktin differentiaalin avulla:  
Entropia (termodynamiikan määritelmä)

Infinitesimaaliseen reversiibeliin prosessiin lämpötilassa  $T$

$$dQ \stackrel{\text{REV}}{=} TdS \quad (1.7)$$

missä entropia  $S$  on ekstensivinen tilafunktio.

Mitä sitten on lämpötila  $T$ ? Toistaiseksi vielä vain suure; jota koislämpömittarilla mitataan...

Kaikeille TDTP-tilojen välistä muutoksesta ( $N=VAKIO$  jne.)

$$(1.3), (1.5), (1.7) \Rightarrow dE = TdS - PdV \quad (1.8)$$

KAIKKI  
TILAFUNKTIONIT!

lisäksi voimme päätehdä, että

$$\left. \begin{array}{l} dE = \delta Q + \delta W \quad \text{aina} \\ dE = TdS - PdV \quad \text{aina}^{(*)} \\ \delta W > - PdV \quad \text{irrev.} \end{array} \right\} \Rightarrow \boxed{\delta Q \stackrel{\text{IRREV}}{<} TdS} \quad (1.9)$$

(\*) Kun järjestelmän makrotason käytäntöjensä kuoamiseen riittävät näin TD suuret

Prosesseien suunta:

### 2. pääsäntö (TD II)

luonnonlisessä prosessissa eristetyn järjestelmen entropia kasvaa:

$$\boxed{\frac{ds}{dt} \geq 0} \quad (t = \text{aika}) \quad (1.10)$$

Erittäisesti

$$\boxed{S \xrightarrow{t \rightarrow \infty} S_{\max} = S_{\text{TDTP}}} \quad (1.11)$$

### 3. pääsäntö (TD III)

Nollakalvoitilassa entropia haviaa (Nernstin teoreema) eli

$$\boxed{S \xrightarrow{T \rightarrow 0} 0} \quad (1.12)$$

Joskus halutaan mainita enkeleen myös triviaksi

### 0. pääsäntö

Jos systeemi A on TDTP:ssa systeemien B ja C kanssa, ovat myös B ja C keskenään TDTP:ssa.

Huom.

Edellä esiteltyt määritelmät / käsittet / pääsäntöt osittain turvat käytökeloisiksi. Nämä järkevyyttä voidaan perustella mikroskopista (luku 8). Kuitenkaan esim TDII:a ei voi täsmällisesti johtaa muista "luonnonlaeista" (huom. erityisesti "ajan suunta").

Yleistys: muuttujana myös hiukkaslukut

Jos  $N \neq \text{vakio}$ , yleistyy (1.8) muotoon

$$\boxed{dE = TdS - PdV + \mu dN} \quad (1.13)$$

↑ kemiallinen potentiaali (onneton nimivalinta - tarkempi)

## 1.H. VASTEFUNKTIOT (eli responssifunktioit)

kuvaavat järjestelmän vastetta (eli responssia) ulkoisesti kontrolloitavien parametrien muutokseksiin. Oletetaan alkaa reversiibeliys ja lisäksi ettei  $N = \text{VAKIO}$ .

Lämpökapasiteetti

VAKIOTILAVUUDESSA:  $\delta Q = C_v dT$   $\Rightarrow dE = C_v dT \Rightarrow C_v = \left(\frac{\partial E}{\partial T}\right)_{V,N}$  (1.14)

vastefunktio (vastekerroin)  
 ulkoinen muutos  
 $\delta E = \delta Q + \delta W$   
 $\stackrel{\text{REV}}{\Rightarrow} \delta Q - PdV$   
 $dV = 0 \Rightarrow \delta Q$

Toisaalta:  $\delta Q^{\text{REV}} = TdS \Rightarrow C_v = T \left(\frac{\partial S}{\partial T}\right)_{V,N}$

VAKIOPAINEESSA:  $\delta Q = C_p dT \Rightarrow dE + PdV = C_p dT$

$\delta E^{\text{REV}} = \delta Q - PdV$

$\Rightarrow C_p = \left(\frac{\partial E}{\partial T}\right)_{P,N} + P \left(\frac{\partial V}{\partial T}\right)_{P,N}$  (1.15)

Toisaalta  $\delta Q^{\text{REV}} = TdS \Rightarrow C_p = T \left(\frac{\partial S}{\partial T}\right)_{P,N}$

Huom! Lämpökapasiteetti sitä rüppuu lämmitystavasta ( $C_p \neq C_v$ ).

Ominaislämpö:  $c_v = \frac{1}{m} C_v$ . Usein  $C_v \rightarrow C_v^{\text{mol}} = \frac{N_A}{N} C_v$ .

## Kokoonturistuvuus (kompressibilitetti)

ISOTHERMINEN:  $\delta T = -\frac{1}{V} \left(\frac{\partial V}{\partial P}\right)_{T,N}$  (1.16)

ADIABAATTINEN:  $\delta S = -\frac{1}{V} \left(\frac{\partial V}{\partial P}\right)_{S,N}$

## Lämpölaajeneemiskerroin

VAKIOPAINEESSA:  $\alpha = \frac{1}{V} \left(\frac{\partial V}{\partial T}\right)_{P,N} \equiv -\frac{1}{S} \left(\frac{\partial S}{\partial T}\right)_P$  (1.17)

Huom.

Ajasta riippuvat, epätasapainotilojen relaksointumista kuvaavat responsit ovat laudatur-kurssih (MoKA) asiaa.

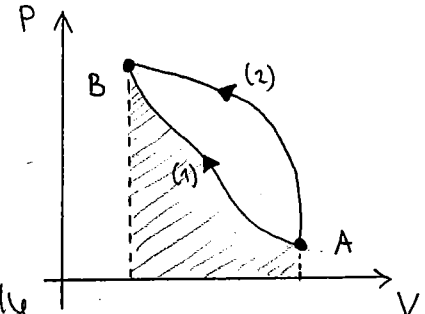
Sovelluksia:

### 1(a) KLAASSISEN IDEAAALIKAASUN PROSESSIT

Reversibeli puristus ( $N = \text{vaki}o$ ):

$$\delta W^{\text{REV}} = -PdV$$

$$W_{(1)} = - \int_{(1)}^{(2)} PdV < - \int_{(2)}^{(1)} PdV = W_{(2)}$$



eli työ  $W$  räppuu tiestä myös reversibeleille prosessille (koska  $W$  ei ole tilanfunktio). Sen sijaan kaasun sisäenergian muutos räppuu vain päätepisteistä A ja B:

$$\Delta E_{(1)} = \Delta E_{(2)} = E_B - E_A \stackrel{(1,1)}{=} \frac{3}{2} N k_B (T_B - T_A) \stackrel{(1,2)}{=} \frac{3}{2} (P_B V_B - P_A V_A)$$

Edelleen (TDI):  $\Delta E = Q + W \Rightarrow Q_{(1)} > Q_{(2)}$ .

Jos puristus on isoterminen, saamme

$$W = - \int_{V_A}^{V_B} PdV \stackrel{(1,2)}{=} - \int_{V_A}^{V_B} \frac{N k_B T}{V} dV \stackrel{\substack{N=\text{VAKIO} \\ T=\text{VAKIO}}}{=} - N k_B T \int_{V_A}^{V_B} \frac{dV}{V} = N k_B T \ln \frac{V_A}{V_B}$$

Ideaalikaasun adiabaattisessa prosessissa taas

$$\begin{cases} \delta Q = 0 \Rightarrow dE^{\text{REV}} = -PdV = -(C_p - C_v) \frac{T}{V} dV \\ E = E(T) \Rightarrow dE = C_v dT \end{cases} \xrightarrow{\text{IDEAAALIKAASULLE}} \begin{cases} C_v \stackrel{(1,4)}{=} \frac{3}{2} N k_B \\ C_p \stackrel{(1,5)}{=} \frac{5}{2} N k_B \end{cases}$$

$$\Rightarrow (C_p - C_v) + \frac{dV}{V} = C_v dT$$

$$\Rightarrow \frac{dT}{T} = \left(1 - \frac{C_p}{C_v}\right) \frac{dV}{V} \xrightarrow{\text{INTGR.}} \ln T = \left(1 - \frac{C_p}{C_v}\right) \ln V + \text{VAKIO}_1$$

$$\Leftrightarrow \ln P V^{C_p/C_v} = \text{VAKIO}_1$$

$\Rightarrow$  ideaalikaasun "adiabaattinen tilaantulö":  $P V^{\frac{C_p}{C_v}} = \text{VAKIO}$

Hesm.

Kolme tapaa kirjoittaa (1,2):

$$PV = N k_B T \quad k_B \approx 1.3805 \times 10^{-23} \text{ J/K} \quad \left. \right\} \text{SI-yksikköissä}$$

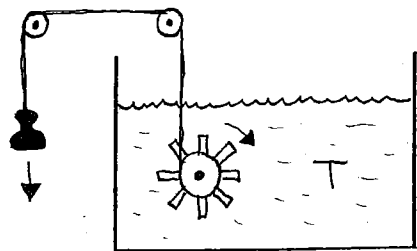
$$PV = n R T \quad R = N_A k_B \approx 8.3143 \text{ J/K mol} \quad \left. \right\} \text{SI-yksikköissä}$$

$$PV = N T \quad \text{jos valitaan } [T] = [E] \text{ jolloin } k_B = 1$$

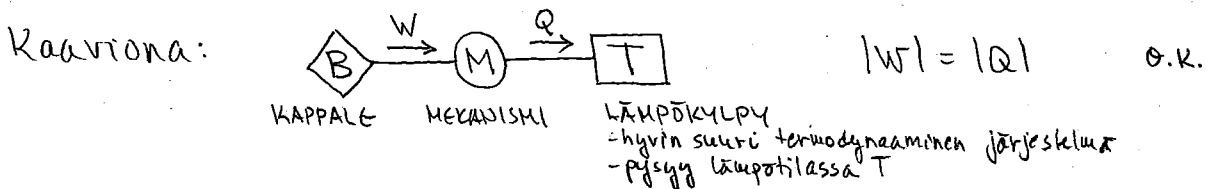
## 1(b) CARNOT'N KERTO JA TOINEN PÄÄSATÄNTÖ

### Mekaaninen työ lämmöksi

Onnistuu helposti, esim. punnulisen mikroskooppinen liike  $\rightarrow$  nesteen molekyylien mikroskooppinen liike



"The kind of motion we call heat" (Clausius 1857)



### Lämpö työksi ??

"Täydellinen kone" (mekanismi) mahdollistaa si:



jolloin olisi  $\Delta S^{TOT} = \Delta S^{KYLÄPY} = -|Q|/T < 0 \Leftrightarrow$  TDII

Vrt. yllä oleva esimerkki: Mekanismin pitäisi valita nestestä kummakin hetkevä "oikeaan" suuntaan liikkuvat molekyylit pyöriävänä ratasta ja siten nostamaan plinnusta  $\Rightarrow$  Tarvittaisiin "Maxwellin demoni" ( $\neq$ , tiettävästi).

### Huom.

huonollisesti koneen M on oltava prosessin jälkeen samassa tilassa kuin ennen prosessin alkua eli prosessi ei saa tapahtua koneen kuostannuksella!

Carnot'n kone = seuraavaksi ylellikertoinen yhtys:

$$\begin{array}{c}
 \text{Diagram: } T_1 \xrightarrow{Q_1} M \xrightarrow{W} B \xrightarrow{Q_2} T_2 \quad T_1 > T_2 \\
 \Rightarrow \boxed{\eta := \frac{|W|}{|Q_1|} = 1 - \frac{|Q_2|}{|Q_1|} \leq 1 - \frac{T_2}{T_1}} \quad (1.18)
 \end{array}$$

$\left\{ \begin{array}{l} |Q_1| = |Q_2| + |W| \\ \Delta S^{TOT} = \Delta S_1 + \Delta S_2 = -\frac{|Q_1|}{T_1} + \frac{|Q_2|}{T_2} \geq 0 \end{array} \right. \quad \text{TDII} \quad \text{REV prosessille!}$

HYÖTYSUHDE  
(koneen hyvyys)

(16)

Huom.

\*  $T_2 \rightarrow T_1 \Rightarrow \eta \rightarrow 0$  ( $T_1 = T_2 \Leftrightarrow$  vain yksi lämpökyky)

$T_1 > T_2 > 0 \Rightarrow 0 < \eta < 1$

\* Carnot'n kone kiertoprosessina (alkutila = lopputila):

(1) M absorboi lämpöä kylvystä  $T_1$

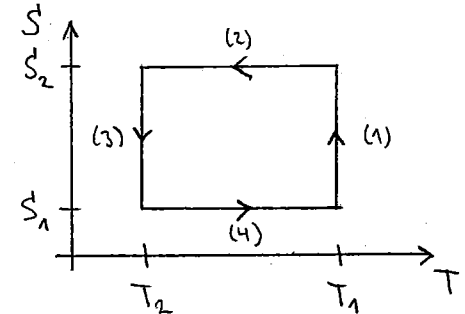
(2) adiabaatinen laajentuminen

(3) M luovuttaa lämpöä kylvylle  $T_2$

(4) adiabaatinen puristus

missä tyypillisesti

(M) =  $\begin{cases} \text{kaasua sylinnenissä määrin alla} \\ \text{ohjausmekanismin (vipuja, venttiliteitäm)} \end{cases}$

Toisen pääsäannon ekvivalentit muodot

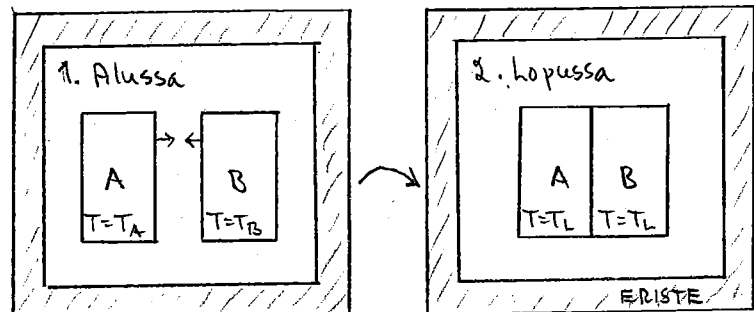
1. Systeemin ja sen ympäristön kokonaistentropian muutos on positiivinen ja voi olla nolla vain reversiibeliä prosessissa. (Huom. Osasysteemissä entropia voi vähetääkin!)
2. Systeemin spontaamin kehityksen kohti TDTP:a ( $S \rightarrow S_{\max}$ ) voi kohtaa vain muutamalla työtä lämmöksi.
3. Lämpö siirtyy kuumasta lämpöön.
4. Kiertoprosessissa voi kuumasta lämpövarastosta otettua energian muuttaa työtä vain siirtämällä lämpöä toiseen, kylmempään lämpövarastoon.
5. Kahden lämpövaraston  $T_1 > T_2$  välillä työskentelyistä konesta (reversiibeli) Carnot'n kone on tehokkain.

Reunamuoto.

Käytännöllä ideaalikaasua Carnot'n koneen työaineena saadaan (eräs) määriltäkaan absoluuttiselle lämpötilalle.

### 1(c) LÄHKÖN SURTYMINEN JA ENTROPIAN MUUTOKSET

Esimerkiksi sopii kaksi metallikappaleetta (A & B), joille alkuksi  $T_A < T_B$ . Saatetaan ne keskenään terwiseen kontaktin



ja odotetaan ettei systeemi (spontaanisti) päätyy TDTP:oon.

Kokonarsentropia on  $S^{\text{TOT}} = S^A + S^B$ . Olkoon  $C_A = C_B =: C$ .

Mita on  $\Delta S^{\text{TOT}} = S_2^{\text{TOT}} - S_1^{\text{TOT}}$ ?

Prosesssi on irreversibeli, mutta lasku voidaan tehdä reversibeliä tietä, koska  $S$  on tilafunktio (tulos sama!).

$$dS^{\text{REV}} = \frac{1}{T} dQ = C \frac{1}{T} dT$$

Oletus:  $C = \text{VAKIO}$  (tässä lämpötila-alueessa)

$$\left\{ \begin{array}{l} \text{TILI A: } \Delta S^A = S_2^A - S_1^A = \int_1^2 C \frac{dT}{T} = C \int_{T_A}^{T_L} \frac{dT}{T} = C \ln \frac{T_L}{T_A} \\ \text{TILI B: } \Delta S^B = S_2^B - S_1^B = \dots = C \ln \frac{T_L}{T_B} \end{array} \right.$$

$$\Delta S^{\text{TOT}} = \Delta S^A + \Delta S^B = C \ln \frac{T_L^2}{T_A T_B}$$

$$\Delta S^{\text{TOT}} = \Delta S^A + \Delta S^B = C \ln \frac{T_L^2}{T_A T_B}$$

Entropiamuutosten etumerkit:

$$T_A < T_L < T_B \Rightarrow \begin{cases} \Delta S^A = C \ln T_L/T_A > 0 \\ \Delta S^B = C \ln T_L/T_B < 0 \quad (\text{huom!}) \end{cases}$$

$$\text{TDI} \Rightarrow \Delta E^{\text{TOT}} = 0 \Rightarrow C T_A + C T_B = 2 C T_L \Rightarrow T_L = \frac{1}{2} (T_A + T_B)$$

$$\Rightarrow \Delta S^{\text{TOT}} = C \ln \frac{(T_A + T_B)^2}{4 T_A T_B} > 0 \quad (\text{sillä } (T_A - T_B)^2 \geq 0)$$

∴ Toinen päästään totentuu:  $\Delta S^{\text{TOT}} > 0$ .

Huom.

Kiertoprosessissa tilafunktion muutos on aina nolla, eivätkä

$$\oint dS = 0 \quad \text{ja} \quad \oint dE = 0 \quad (\text{kierron alkupiste} = \text{päätepiste})$$

(18)

### 1(d) KAASUJEN SEKOITUMINEN

Kahdenlaista molekyylistä A ja B koostuvat klassiset ideaalikasut, joiden tilavuudet ovat  $V_A$  ja  $V_B$  sekotuvat lämpöklassa T ja painessa P sitten, että  $V = V_A + V_B$  pysyy vakiona.

Tehdään lasku reversibeliä tietä.

$$(1.8) \Rightarrow \begin{cases} dE_A = T_A dS_A - P_A dV_A \\ dE_B = T_B dS_B - P_B dV_B \end{cases}$$

Isoterminen prosessi  $\Rightarrow dE_A = dE_B \stackrel{(1.1)}{=} 0$ , joten

$$\begin{cases} dS_A = \frac{P_A}{T_A} dV_A \stackrel{(1.2)}{=} N_A k_B dV_A / V_A \\ dS_B = \frac{P_B}{T_B} dV_B \stackrel{(1.2)}{=} N_B k_B dV_B / V_B \end{cases}$$

$$\Delta S_A = \int_{V_A}^{V_A+V_B} dV_A \frac{N_A k_B}{V_A} = N_A k_B \ln \frac{V_A+V_B}{V_A} \quad \Delta S_B = \int_{V_B}^{V_A+V_B} dV_B \frac{N_B k_B}{V_B} = N_B k_B \ln \frac{V_A+V_B}{V_B}$$

$$\Delta S = \Delta S_A + \Delta S_B = k_B \left\{ N_A \ln \frac{V_A+V_B}{V_A} + N_B \ln \frac{V_A+V_B}{V_B} \right\}$$

Jos esim.  $V_A = V_B$  ja  $N_A = N_B$ , nün  $\Delta S = (N_A + N_B) k_B \ln 2 > 0$

"sekoitusentropia"  
(lämpöä ei siirretty)

Pohdiskeltavaan:

Reversibellelle prosesseille  $T dS = \delta Q$ . Sekä kohdassa 1(c) että 1(d) saatua laskettua  $\Delta S_{\text{tot}} > 0$ . Mitä määraan olla  $Q_{\text{tot}}$  näissä tapauksissa?

### Jatkossa hyödyllisiä matemaattisia tuloksia

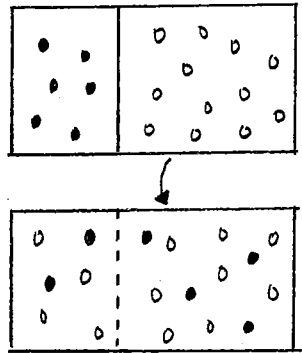
Olkoon  $f(x, y, z) = 0$  ja  $w = w(x, y, z)$ .

Tällöin esim.  $z = z(x, y)$  ja  $w = w(x, y)$ . Helposti johdetaan

$$\left( \frac{\partial x}{\partial y} \right)_z = \left[ \left( \frac{\partial y}{\partial x} \right)_z \right]^{-1}$$

$$\left( \frac{\partial x}{\partial y} \right)_z \left( \frac{\partial y}{\partial z} \right)_x \left( \frac{\partial z}{\partial x} \right)_y = -1$$

$$\left( \frac{\partial x}{\partial y} \right)_z = \left( \frac{\partial x}{\partial w} \right)_z \left( \frac{\partial w}{\partial y} \right)_z$$



## 2. STATISTISEN MEKANIKKAN PERUSTEET

### 2.1. POSTULAATIT

#### Määritelmä

Makrotilan statistinen paino =  $\underline{U}_L$  = kyseisistä makrotiloja vastaavien mikrotilojen lukumäärä.

#### Huom.

- \* Kvanttimekanika  $\Rightarrow$  diskreetit tilat  
 $\Rightarrow$  tilat laskettavissa & numeroitavissa.

Tarkastelun kohdeena eriketty  $(E, V, N)$ -järjestelmä,  
jonka makrotilan määritävät muuttujat

$(E, V, N)$  TDTP-tiloille

$(E, V, N, \alpha)$  epätasapainotiloille (ETP)

↑  
muut tarvittavat muuttujat (millainen ETP-tila?)

#### 1. Postulaatti

Kaikki eriketyn järjestelmän tietyt makrotilan tuottavat mikrotilat ovat yllä todennäköisiä.

#### 2. Postulaatti

TDTP vastaa sitä  $\alpha$ :n arvoa, jolla  $\underline{U}_L$  saa maksimihin:

$$\underline{U}_L(E, V, N, \alpha_{\text{TDTP}}) = \underline{U}_{\max}(E, V, N)$$

#### Huom.

Postulaatit näytävät järkeväiltä:

1. kuinkas mieten (mitut valinnat mv)?

2.  $\underline{U}_L = \underline{U}_{\max} \Rightarrow$  tällaisia tiloja eniten!

(20)

## Määritelmä

Entropia (Boltzmannin entropia)

$$S = k_B \ln \Omega \quad (2.1)$$

↑ MIKROSKOPIASTA

MAKROSKOOPPINEN TILANFUNKTIO  $S = S(E, V, N, \alpha)$

$$[S] = J/K$$

Toinen pääsäntö:  $S_{TDTP} = S_{MAX}$   $\longleftrightarrow$   $\Omega_{TDTP} = \Omega_{MAX}$

Huom. (1.11) 2. postulaatti

- (1) Entropian termodynamiainen (1.7) ja statistinen (2.1) määritelmä osoittautuvat yhtäpitäviksi.
- (2) Statistisen fysikan lähtökohdiksi rülävät:

$$TDI, TDII, S = k_B \ln \Omega$$

Nämä iltaavat kurssin loppuosan tulokset.

- (3) Jos järjestelmä on jaettavissa kahteen osaan (1&2), on

$$\Omega = \Omega_1 \Omega_2 \Rightarrow S = k_B \ln (\Omega_1 \Omega_2)$$

↑ TRIVIAALISTI

$$= k_B \ln \Omega_1 + k_B \ln \Omega_2$$

$$= S_1 + S_2 \Rightarrow \text{ekstensivisyys oik.}$$

- (4) Entropia  $\longleftrightarrow$  informaation puute:

$S = 0 \Leftrightarrow \Omega = 1$  täydellinen tieto systeemistä

$S$  kasvaa  $\Rightarrow$  vähemmän tietoa

Esim.

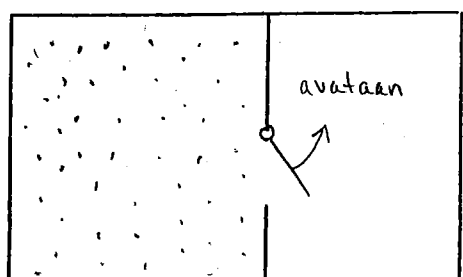
Kaasun vapaa laajeneminen:

Läppä auki  $\Rightarrow$  tiheysero tasoaantuu.

Prosessi ei käytännössä mene toiseen suuntaan, periaatteessa kyllä

$$N = 10^{20} \Rightarrow \text{tiheysfluktuatit TDTP:ssa } \frac{(\Delta N)}{N} \sim 10^{-10}$$

Mikrotuloja, joissa  $\approx$  sama tiheys kummallakin puolella, on emilen.

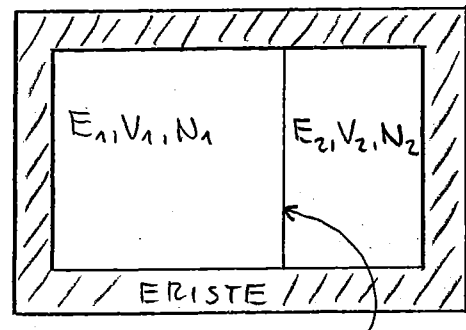


## 2.2. ERISTETTY JÄRJESTELMÄ

### Terminen tasapaino

Eristetty  $(E, V, N)$ -järjestelmä.

$$\left\{ \begin{array}{l} E = E_1 + E_2 = \text{KIINTEÄ} \\ V_1 \text{ ja } V_2 \text{ KIINTEITÄ } (V = V_1 + V_2) \\ N_1 \text{ ja } N_2 \text{ KIINTEITÄ} \\ \Rightarrow S = k_B \ln \Omega = k_B \ln (\Omega_1 \Omega_2) \\ = S_1(E_1, V_1, N_1) + S_2(E_2, V_2, N_2) \\ = S(E, V, N, E_1, V_1, N_1) \end{array} \right.$$



KIINTEÄN VÄLISGINÄ - LÄPÄISEG LÄMPÖÄ (energiaa siirtää)

} (\*)

KIINTEITÄ  
AKTIVINEN MUUTTUJA

TDTP-ehto:  $S = S_{\text{MAX}} \Rightarrow \left( \frac{\partial S}{\partial E_i} \right)_{E, V, N, V_1, N_1} = 0$

$$\Leftrightarrow \underbrace{\left( \frac{\partial S_1}{\partial E_1} \right)_{E, V, N, V_1, N_1}}_{\text{III}} + \underbrace{\left( \frac{\partial S_2}{\partial E_1} \right)_{E, V, N, V_1, N_1}}_{\text{III}} = 0$$

$$\left( \frac{\partial S_1}{\partial E_1} \right)_{V_1, N_1} \quad \left( \frac{\partial S_2}{\partial E_2} \right)_{V_2, N_2} \cdot \left( \frac{dE_2}{dE_1} \right)^{-1}$$

$(dE_2 = -dE_1)$

Sis tasapainossa  $\left( \frac{\partial S_1}{\partial E_1} \right)_{V_1, N_1} = \left( \frac{\partial S_2}{\partial E_2} \right)_{V_2, N_2}$ .

Määritellään nyt lämpötila  $T_i$  kummallekin systeemille  $i=1,2$ :

$$\boxed{\frac{1}{T_i} = \left( \frac{\partial S_i}{\partial E_i} \right)_{V_i, N_i}}$$

(2.2)

jolloin TDTP:ssa on  $T_1 = T_2$  (terminen tasapaino).

Huom.

\* Osoitetaan: tämä  $T$  on "se oikea" lämpötila.

\* Yhtälö (2.2) yhdistetynä (2.1):een on lämpötilan statistinen määritelmä.

\* Makroskooppiset systeemit:  $\frac{\partial \ln_i}{\partial E_i} > 0 \Rightarrow T_i > 0$ .  
MIETI MIKSI?

(22)

## Mekaaninen tasapaino

Kuten edellä, mutta nyt lämpöä läpäisevä tükkiva väliseinä.

$$\left\{ \begin{array}{l} E = E_1 + E_2 = \text{KUINTEÄ} \\ V = V_1 + V_2 = \text{KUINTEÄ} \end{array} \right.$$

$$\left\{ \begin{array}{l} N_1 \text{ ja } N_2 \text{ KUINTEITA} \end{array} \right.$$

Kuten edellä, kirjoittamalla  $(*)..$  ja voativalla  $S = S_{\text{MAX}}$  saadaan tasapainoehdoiksi (nyt kaksi aktivista mukutaja!)

$$\left\{ \begin{array}{l} \left( \frac{\partial S_1}{\partial E_1} \right)_{V_1, N_1} = \left( \frac{\partial S_2}{\partial E_2} \right)_{V_2, N_2} \Leftrightarrow T_1 = T_2 \text{ edeltä} \\ \left( \frac{\partial S_1}{\partial V_1} \right)_{E_1, N_1} = \left( \frac{\partial S_2}{\partial V_2} \right)_{E_2, N_2} \end{array} \right.$$

Määrittelemällä nyt paine  $P_i$  ( $i=1,2$ )

$$P_i = T_i \left( \frac{\partial S_i}{\partial V_i} \right)_{E_i, N_i} \quad (2.3)$$

saa jälkimmäisen TDTP-ehdot muodon  $P_1 = P_2$  (mekaaninen tasapaino).

## Kemiaallinen tasapaino

Nikäli myös hiukkaset pääsevät siirtymään pisteelta toiselle, saadaan edellisten lisäksi tasapainoehdot

$$\left( \frac{\partial S_1}{\partial N_1} \right)_{E_1, V_1} = \left( \frac{\partial S_2}{\partial N_2} \right)_{E_2, V_2}$$

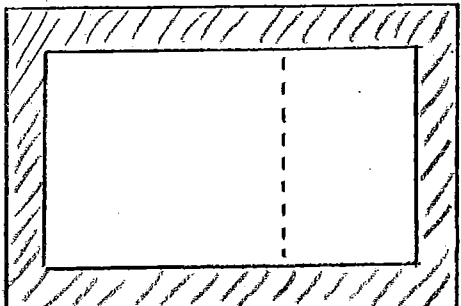
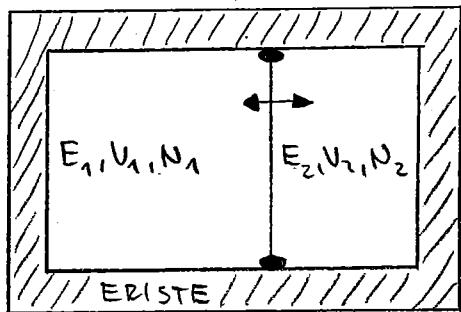
ja voodaan määritellä kemiaallinen potentiaali  $\mu_i$  ( $i=1,2$ )

$$\mu_i = -T_i \left( \frac{\partial S_i}{\partial N_i} \right)_{E_i, V_i} \quad (2.4)$$

josta TDTP:ssa  $\mu_1 = \mu_2$  (kemiaallinen tasapaino). [tässä oleelltu yhdenlaiset hiukkaset]

## Huom.

Yleisten määritelmien (2.2-4) muoto on yhtäpitävä termodynamiikan perustrelaation (1.13) kanssa ja siten "luonnollinen valinta".



### 2.3. JÄRJESTELMÄ LÄMPÖKYLVYSSÄ

Kännostuksen kohteena järjestelmä ( $J$ ), joka on TDTP:ssa paljon suuremman järjestelmän eli lämpökylyyn ( $L$ ) kanssa.

Nyt  $J$  ja  $L$  vaihtavat energiota sitten, että  $T = \text{VAKIO}$  ja yhdistetyn systeemi ( $Y$ ) on eristetty ympäristöstä:

$$\begin{cases} E_Y = E_J + E_L = \text{KIINTEÄ} \\ V_J, N_J \text{ KIINTEITÄ} \end{cases}$$

Järjestelmän ( $J$ ) diskreetit mikrotilat:

$$E_1 \leq E_2 \leq \dots \leq E_r \leq \dots$$

Voi olla  $E_r = E_{r'}$ , joillekin  $r \neq r'$ . Energiasazon  $E_r$  degeneraatio:

$$g(E_r) := \mathbb{U}_J(E_r) \quad (\star)$$

Jos nyt  $E_J = E_r$  jollakin  $r$ , nün tälloin  $E_L = E_Y - E_r$ .

Tällaisen lämpökylyyn mikrotilojen lkm =  $\mathbb{U}_L(E_Y - E_r)$  eli yhdistetylle systeemille

$$\mathbb{U}_Y(E_Y, E_r) = \mathbb{U}_J(E_r) \mathbb{U}_L(E_Y - E_r) \quad (\star\star)$$

Postulaatti 1  $\Rightarrow$   $J$ :n kahden energiasazon  $E_r$  ja  $E_s$  todennäköisyyksien suhde on

$$\frac{p(E_r)}{p(E_s)} = \frac{\mathbb{U}_Y(E_Y, E_r)}{\mathbb{U}_Y(E_Y, E_s)} \stackrel{(\star)\&(\star\star)}{=} \frac{g(E_r)}{g(E_s)} \frac{\mathbb{U}_L(E_Y - E_r)}{\mathbb{U}_L(E_Y - E_s)}$$

$$\stackrel{(2.1)}{=} \frac{g(E_r)}{g(E_s)} \exp \left\{ \frac{1}{k_B} [S_L(E_Y - E_r) - S_L(E_Y - E_s)] \right\}$$

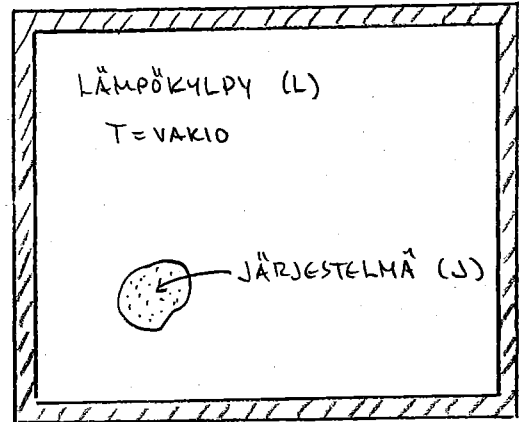
Toisaalta

$$S_L(E_Y - E_r) = S_L(E_Y) - E_r \underbrace{\left. \frac{\partial S_L}{\partial E} \right|}_{E=E_Y \approx E_L} + \frac{1}{2} E_r^2 \underbrace{\left. \frac{\partial^2 S_L}{\partial E^2} \right|}_{E=E_Y \approx E_L} \approx 0$$

koska " $L \gg J$ "  $\rightarrow$

$$\approx S_L(E_Y) - \frac{E_r}{T}$$

(kylyyn  $T$ :n muutos)



24

joten energiatasoike  $E_r, E_s$  on

$$\frac{p(E_r)}{p(E_s)} = \frac{g(E_r)}{g(E_s)} \frac{e^{-E_r/k_B T}}{e^{-E_s/k_B T}}$$

Normiittamalla vielä todennäköisyydet,  $\sum_{E_r} p(E_r) = 1$ , saame

$$p(E_r) = \frac{1}{Z} g(E_r) e^{-E_r/k_B T} \quad \text{JÄRJESTELMÄN ENERGIA TASOEN TN} \quad (2.5)$$

$$Z = \sum_{E_r} g(E_r) e^{-E_r/k_B T} \quad \text{SUMMA YLI ENERGIA TASOJEN} \quad (2.6)$$

Sama kirjoitettuna kullekin mikrotilalle  $r$ :

$$p_r = \frac{1}{Z} e^{-E_r/k_B T} \quad \text{JÄRJESTELMÄN MIKROTIPLAN TODENNÄKÖISYYS} \quad (2.7)$$

$$Z = \sum_r e^{-E_r/k_B T} \quad \text{SUMMA YLI MIKROTILOJEN} \quad (2.8)$$

Näin on johdettu Boltzmann-jakaus (2.7) ja määritelty partitiofunktio eli "tilasumma" (2.8).

Huom.

\* Usein käytämme lyhennystavainta

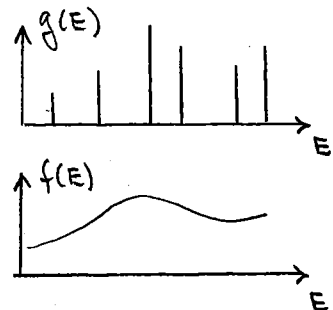
$$\beta = \frac{1}{k_B T} \quad (2.9)$$

\*  $Z$  on funktio:  $E_r = E_r(V, N) \Rightarrow Z = Z(T, V, N)$ .

\* Tilojen jatkuuolle (joskus tarpeen):

$$p(E) dE = \frac{1}{Z} f(E) e^{-\beta E} dE$$

$$Z = \underbrace{\int f(E) e^{-\beta E} dE}_{\text{TILATIHEYS}}$$



\* Boltzmann-jakanman johtamisesta ja käytöstä:

- Kylvyn tiloista ei tarvinnut tietää mitään
- Yhdistetyn systeemin kaikilla tilillä yhtä todennäköisiä mutta sen osana olevan järjestelmän ei

## 2.4 KESKIAVOT JA FLUKTUUAATIOT

Järjestelmän lämpötilavuksia  $\Rightarrow$  sen sisäenergian keskiarvo on

$$\langle E \rangle = \sum_r E_r p_r \stackrel{(2.7)}{=} \frac{1}{Z} \sum_r E_r e^{-\beta E_r} \quad (2.10)$$

Käytännössä räätää kuilenkin tashea  $Z$ , sillä

$$\begin{aligned} \frac{\partial}{\partial \beta} \ln Z &= \frac{1}{Z} \frac{\partial Z}{\partial \beta} \stackrel{(2.7)}{=} \frac{1}{Z} \sum_r \frac{\partial}{\partial \beta} e^{-\beta E_r} \\ &= \frac{1}{Z} \sum_r (-E_r) e^{-\beta E_r} = -\langle E \rangle \\ \Rightarrow \langle E \rangle &= -\frac{\partial}{\partial \beta} \ln Z \end{aligned} \quad (2.11)$$

Lämpökapasiteetille valmistilavuudessa samaan tapaan

$$\begin{aligned} C_V &\stackrel{(1.14)}{=} \left( \frac{\partial E}{\partial T} \right)_{V,N} = \left( \frac{\partial \langle E \rangle}{\partial T} \right)_{V,N} = \underbrace{\left( \frac{d\beta}{dT} \right)}_{-1/k_B T^2} \left( \frac{\partial \langle E \rangle}{\partial \beta} \right)_{V,N} \\ &\stackrel{(2.11)}{=} \frac{1}{k_B T^2} \underbrace{\frac{\partial^2}{\partial \beta^2} \ln Z}_{\text{ln } Z} \end{aligned}$$

Järjestelmän sisäenergia  $E$  siihen fluktuo, kuinka rajasti?

$$(\Delta E)^2 = \langle (E - \langle E \rangle)^2 \rangle = \langle E^2 \rangle - \langle E \rangle^2 \quad (\text{sivulta ⑥})$$

Myös  $(\Delta E)^2$ :n saa kuvittua  $Z$ ista:

$$\begin{aligned} \frac{\partial^2}{\partial \beta^2} Z &\stackrel{(2.7)}{=} \sum_r \frac{\partial^2}{\partial \beta^2} e^{-\beta E_r} = \sum_r E_r^2 e^{-\beta E_r} = Z \langle E^2 \rangle \\ \frac{\partial^2}{\partial \beta^2} \ln Z &= \frac{\partial}{\partial \beta} \left( \frac{1}{Z} \frac{\partial Z}{\partial \beta} \right) = \frac{1}{Z} \frac{\partial^2 Z}{\partial \beta^2} - \underbrace{\frac{1}{Z^2} \left( \frac{\partial Z}{\partial \beta} \right)^2}_{= \left[ \frac{\partial}{\partial \beta} \ln Z \right]^2} \\ &= \langle E^2 \rangle - \langle E \rangle^2 \end{aligned}$$

Yhdistämällä tiedot muun yllä saamme

$$C_V = \frac{1}{k_B T^2} (\Delta E)^2$$

eli  $C_V$  on verrannollinen fluktuaatioihin  $(\Delta E)^2$ .

(26)

Koska  $E$  ja  $C_V$  ovat ekstensivisia, saamme suhteellisille fluktuatioille tärkeän tuloksen

$$\left. \begin{array}{l} E \propto N \\ C_V \propto N \Rightarrow \Delta E \propto \sqrt{N} \end{array} \right\} \Rightarrow \frac{\Delta E}{E} \propto \frac{1}{\sqrt{N}} \quad (2.12)$$

### Päätehtävä

Tyypillinen makroskooppinen järjestelmä:  $N \sim 10^{20} \Rightarrow \frac{\Delta E}{E} \sim 10^{-10}$  eli lämpökykyvyyssäkin  $E \times \text{VAKIO}$  käytännöllisesti katsoen.

Voi daan sitä samaistaa:

$$E = \langle E \rangle$$

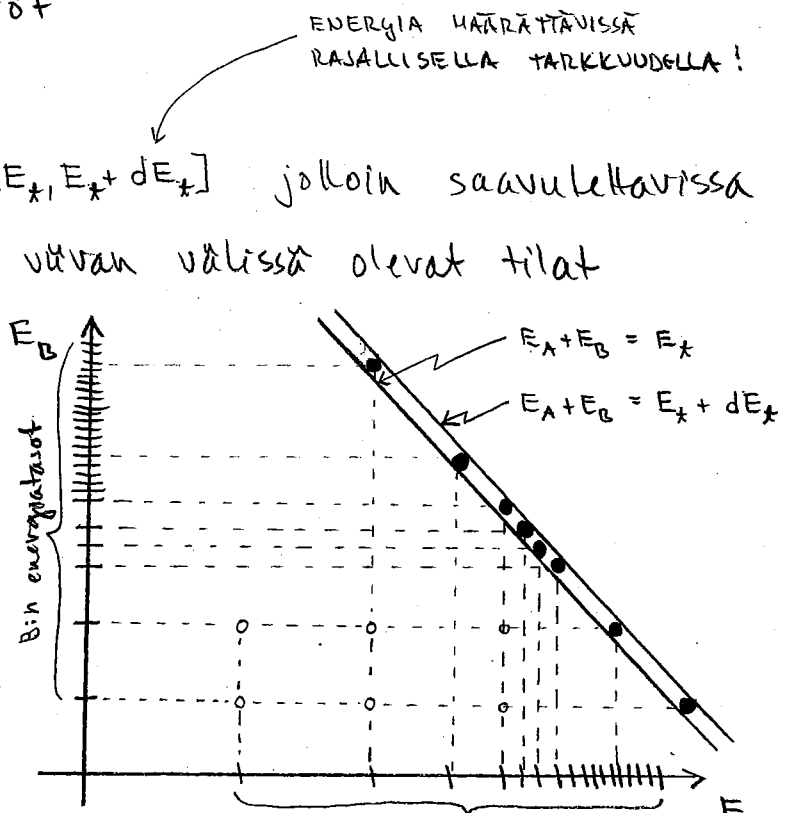
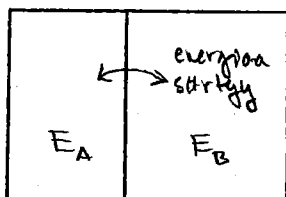
SM KESKIARVO YLI MIKROLOZEN  
TD MAKROSKOOPPINEN SISÄENERGIA

### Huom.

- \* Vastaava tulos johdettavissa myöhemmin suureille!
- \* Fluktuatiot eivät aina ole pieniä:
  - "pienit systeemit"
  - kriittiset ilmiöt

### Jakauman pühittyminen

Olkoon  $E_T = E_A + E_B \in [E_*, E_* + dE_*]$  jolloin saavutettavissa ovat kuvassa kahden värin välissä olevat tilat



Kuvasta mitettävä:

- \* Todennäköisyytten  $E_A$ ?
- \*  $E_A$ -in keskiarvo?
- \* Systeemin koko  $\rightarrow p(E_A)$ -n pühittyminen?
- \* Tilojen tiheys  $\leftrightarrow \Omega \leftrightarrow T^{-1} = \partial S / \partial E \dots$

Keskiarvo (2.10) on tuthua muotoa

(Reunahuone: yleisen suureen f termodynamiikin keskiarvo voidaan kirjoittaa tässä muodossa silloin kun kriittivalkaisesti on  $\langle \hat{f} \rangle = 0$ .)

$$\langle f \rangle = \sum_r f_r p_r \quad (2.13)$$

Entäpä olisiko  $\langle S \rangle = \sum_r (\text{JOTAKIN})_r p_r$  eli mitä olisi:

Entropia "keskiarvona"

Oletetaan merkintöjen helppottamiseksi  $g(E_r) = 1 \xrightarrow{(2.5) \text{ Kun } T \text{ kintteä}}$

$$\ln p(E_r) = \text{VAKIO} - \beta E_r \Rightarrow \begin{cases} \ln p(\langle E \rangle) = \text{VAKIO} - \beta \langle E \rangle \\ \langle \ln p(E) \rangle = \text{VAKIO} - \beta \langle E \rangle \end{cases}$$

$$\therefore \ln p(\langle E \rangle) = \langle \ln p(E) \rangle \quad (*)$$

Korvataan piikkityyppi jakauma laatikolla

jolloin normitus  $\int p(E) dE = 1$  saa muodon

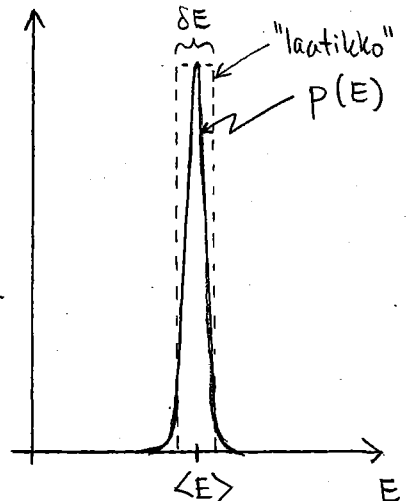
$$p(E \in [\langle E \rangle - \frac{\delta E}{2}, \langle E \rangle + \frac{\delta E}{2}]) = 1$$

$$\Rightarrow p(\langle E \rangle) \cdot \int_{\langle E \rangle - \frac{\delta E}{2}}^{\langle E \rangle + \frac{\delta E}{2}} p(E) dE = 1$$

$$S(\langle E \rangle) = k_B \ln \int_{\langle E \rangle - \frac{\delta E}{2}}^{\langle E \rangle + \frac{\delta E}{2}} p(E) dE$$

$$\approx -k_B \ln p(\langle E \rangle)$$

$$\stackrel{(*)}{=} -k_B \langle \ln p(E) \rangle = -k_B \sum_r p_r \ln p_r$$



Tätä lauseketta kutsutaan nimellä Gibbsin entropia,

$$S = -k_B \sum_r p_r \ln p_r \quad (2.14)$$

Huom.

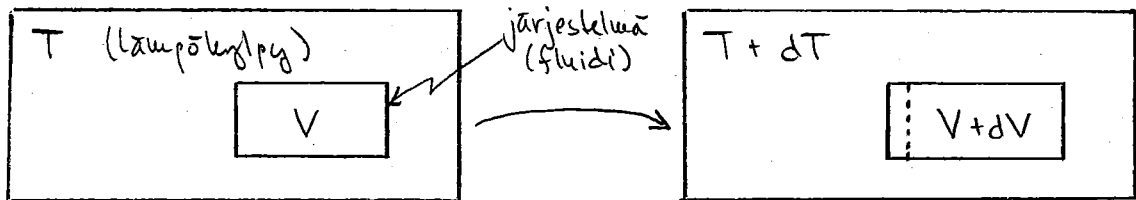
- \* (2.14): se voidaan päättyä (2.1):sta useakkakin eri tavalla (uusaa palataan kuvussa §7.1).
- \* Jostkus (2.1):n sijasta oletetaan (2.14) teorian teoh lähtökohdaksi. Sen fysikaalinen merkitys on kuilenkin vähemmän sellä ihanittivisesti kuin (2.1):n.
- \* (2.14) vikee staattisen jakauman pr ovinaisuus.

## 2.5 YHTEYS TERMODYNAAMIIKKAAN

Tarkastellaan fluidia, joka on kontaktissa lämpökylläpyn.

Olkoon  $N = \text{VAKIO}$ .

Kaksi lähekkäistä tasapainotilaan  $(T, V)$  ja  $(T+dT, V+dV)$ :



Kvanttimekanikkka:  $E_r = E_r(V)$

Statistinen fysikkä: (2.7)  $\Rightarrow p_r = p_r(T, E_r)$

Muutoksessa  $(T, V) \rightarrow (T+dT, V+dV)$  energian  $E = \sum_r E_r p_r$

muutos on sitten

$$dE = \underbrace{\sum_r E_r dp_r}_I + \underbrace{\sum_r p_r dE_r}_II$$

Termi I:

$$(2.7) \Rightarrow E_r = -k_B T [\ln Z + \ln p_r]$$

$$\Rightarrow \sum_r E_r dp_r = -k_B T \left[ (\ln Z) \underbrace{\sum_r dp_r}_I + \sum_r (\ln p_r) dp_r \right] \\ = d \left( \underbrace{\sum_r p_r}_I \right) \equiv 0 \quad \Rightarrow$$

$$(2.14) \Rightarrow dS = -k_B \left[ \sum_r (\ln p_r) dp_r + \underbrace{\sum_r p_r \frac{1}{p_r} dp_r}_{III} \right]$$

$$\Rightarrow \sum_r E_r dp_r = T dS$$

Sis  $TN$ -jakauksen muutos  $\leftrightarrow$  entropian muutos

## Termit II

Klassisen mekanikkana:  $P = -\frac{dE}{dV}$  (ei räätä P:n määritelmäksi SF:ssa)

Kvanttimekanikkana: Jos ulkoisen parametrin (tässä V) muutos on hidaskin (meillä REV), niin järjestelmä pysyy samassa ominaisuudessa (Ehrenfestin periaate).

Volumen merkitys:  $P_r^{\text{REV}} = -\frac{dE_r}{dV}$  ("parne tilassa r")

$$\sum_r P_r dE_r = \underbrace{\left( \sum_r P_r \frac{dE_r}{dV} \right) dV}_{-\langle P \rangle = -P} = -P dV$$

Olemme siis saaneet: I & II  $\Rightarrow$

$$dE = TdS - PdV$$

(aiemmin 1.8)

Kuten aiemmin todettu, tämä pätee kaikille lähekkäisille TDTP-tiloille, vaikka sekä TD (§1.3) että SM (ylä) johtamisessa oletettiinkin prosessista jotain.

### Ergodisuudesta

Yhteys TD  $\leftrightarrow$  SM, erityisesti  $E \leftrightarrow \langle E \rangle = \langle E_r \rangle_r$ , edellyttää tarkkaan ottaen ns. ergodisuuskonseptin:

"Ajan kulussa jossain makrotilassa oleva järjestelmä käy läpi (lähes) kaikki kyseistä makrotilaa vastaavat mikrotilat."

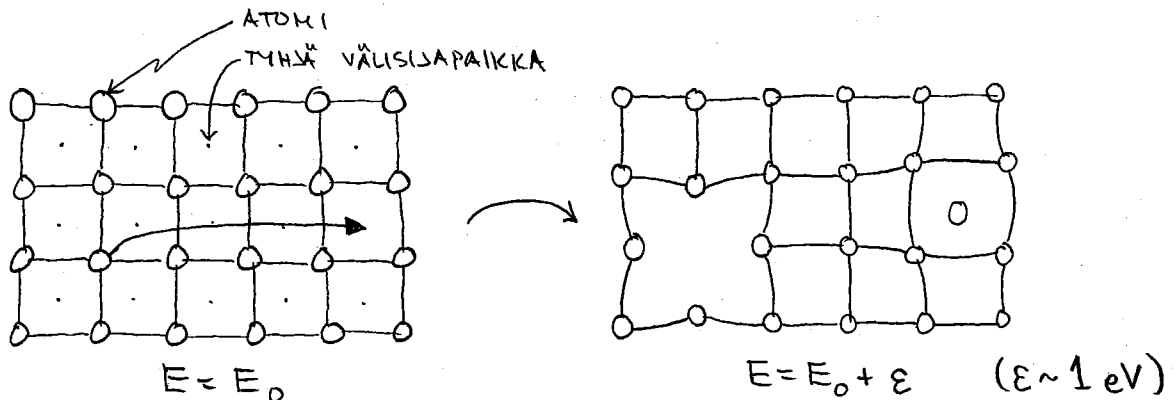
Tällöin on mielikäs puhua keskiarvosta  $\sum_r E_r p_r$  yli kaikkien mikrotilojen.  $(E, V, N)$ -fluideilla ergodisuus ei kytäntässäkään (kokissa) aiheuta pulmia, eräiden muiden systeemien analyysin vaatii suurempaa huolellisuutta.

(30)

Sovelluksia:

2(a) KIDEVIRHEET

Seuraavassa "Frenkelin kidevirhe"

Kunleks kide:  $N$  atomia,  $\tilde{N} = qN$  välisjapaikkaaKiteen energiaan rüppien mu. kidevirheiden lukumäärästä  $n$ :

$$E = E(n) = E_0 + n\varepsilon$$

$$\Omega(E) = \Omega(n) = \frac{N!}{n!(N-n)!} \cdot \frac{\tilde{N}!}{\tilde{n}!(\tilde{N}-\tilde{n})!}$$

valitaan  $n$  atomia N:sta  
n välisjapaikkaan  $\tilde{N}$ :sta  
(oletaan etteivät yksittäiset virheet  
näte toisiaan ...)

Normaaliolossa  $1 \ll n \ll N, \tilde{N} \Rightarrow$  Stirling puree:

$$S(n) = k_B \ln \Omega(n) \stackrel{(0.4)}{\approx} k_B \left\{ N \log N + \tilde{N} \log \tilde{N} - 2n \log n - (N-n) \log(N-n) - (\tilde{N}-n) \log(\tilde{N}-n) - N - \tilde{N} + 2n + (N-n) + (\tilde{N}-n) \right\}$$

$$\frac{1}{T} = \frac{\partial S}{\partial E} = \left( \frac{\partial n}{\partial E} \right)^{\frac{1}{\varepsilon}} = \frac{k_B}{\varepsilon} \frac{\partial}{\partial n} \left\{ \dots \right\}$$

$n \ll N, \tilde{N}$

$$= \dots = \frac{k_B}{\varepsilon} \log \frac{(N-n)(\tilde{N}-n)}{n^2} \approx \frac{k_B}{\varepsilon} \log \frac{N\tilde{N}}{n^2}$$

$$\Rightarrow \boxed{\frac{n}{N} = \sqrt{q} e^{-\varepsilon/2k_B T}}$$

FRENKELIN KIDEVIRHEIDEN  
TIHEYS LÄHPOÖILASSA THuom.

Mona muuta kidevirhetyyppiä on olemassa. Jos atomit esim. karkaavatkin välisjapaikan asemasta kiteen pinnalle, puhutaan Schottkyn kidevirheestä (Mandl § 2.4), jolle entropiaefekti on pienempi [ $\Omega(n) = N!/n!(N-n)!$ ], minkä vuoksi  $\frac{n}{N} = e^{-\varepsilon/k_B T} \therefore$  virheiden muodostuminen vaikeampaa.

## 2(b) PARAMAGNETTINEN KIDE

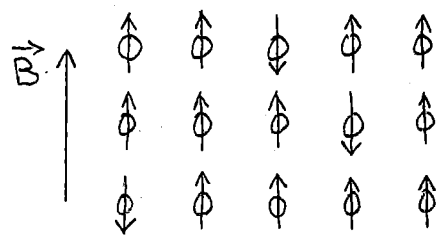
Paramagnettisen materiaalin malli:

- N kpl spin- $\frac{1}{2}$ -dipoleja (luku 0.3)

- ulkoinen magnettikenttä  $\vec{B}$

- yhden dipolin energiatilat:  $E_{\downarrow, \uparrow} = \pm \mu B$

- lämpökyly Lämpötilassa T



Oletuksia:

(i) dipolien väliset vuorovaikutukset  $\approx 0 \Rightarrow$  eivät vaikuta yksittäisen dipolin energiasatoihin

(ii) vuorovaikutukset muiden ilmiöiden (kidevirheet, vääräteltyt...) kanssa pieniä  $\Rightarrow$  voimme erikseen tarkastella kteen magneettisia ominaisuuksia (kuutenkin virheit  $\Rightarrow$  TDTP mahd.)

Oletus (i)  $\Rightarrow$  voimme tarkastella yhtä dipolia, sillä (2.7):

$$P_{\uparrow} = \frac{1}{Z_1} e^{-\beta E_{\uparrow}}$$

$$P_{\downarrow} = \frac{1}{Z_1} e^{-\beta E_{\downarrow}}$$

merk.

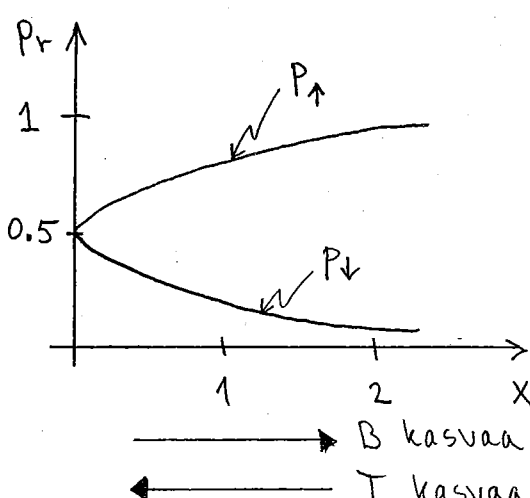
$$x := \frac{\mu B}{k_B T} = \beta \mu B$$

$$Z_1 = \sum_r e^{-\beta E_r} = e^{-\beta E_{\uparrow}} + e^{-\beta E_{\downarrow}} \stackrel{YHDELLE DIPOLILLE}{=} e^x + e^{-x} = 2 \cosh x$$

$$\Rightarrow \begin{cases} P_{\uparrow} = \frac{e^x}{e^x + e^{-x}} = \frac{1}{1 + e^{-2x}} \\ P_{\downarrow} = \frac{e^{-x}}{e^x + e^{-x}} = \frac{1}{e^{2x} + 1} \end{cases}$$

yhden dipolin todennäköisyys  
olla spin-ylös-tilassa ...

... ja spin-alas-tilassa



Kuvasta:

B  $\Rightarrow$  järjestys (dipolit tiehyyn suuntaan)

T  $\Rightarrow$  epäjärjestys (kumpi tahansa suunta)

(32)

Yhden dipolin keskimaäräinen magnettinen momentti ja energia saadaan (2.13):sta:

$$\langle \mu \rangle = \sum_r \mu_r p_r = \mu p_{\uparrow} + (-\mu) p_{\downarrow}$$

$$= \mu \frac{1}{2} e^x - \mu \frac{1}{2} e^{-x} = \mu \frac{e^x - e^{-x}}{e^x + e^{-x}} = \mu \tanh x$$

$$\langle \varepsilon \rangle = \sum_r \varepsilon_r p_r = (-\mu B) p_{\uparrow} + (+\mu B) p_{\downarrow} = \dots = -\mu B \tanh x$$

Havaittavat makroskooppiset suureet koko näytelle:

$$M = N \langle \mu \rangle \quad \text{ja} \quad E = \langle \varepsilon \rangle = N \langle \varepsilon \rangle = -MB$$

Magneettoituma yksikkötilavuutta kolti on siten

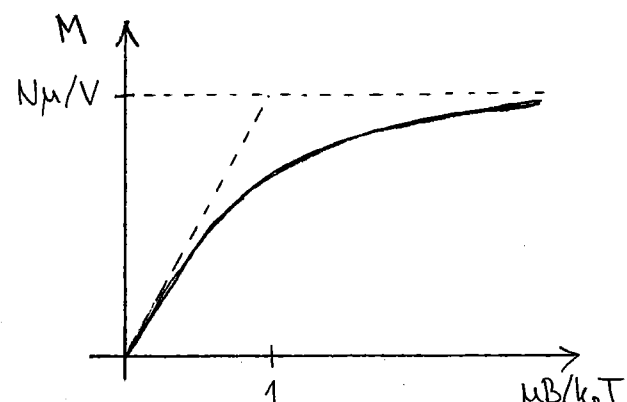
$$(\star) \boxed{M = \frac{N}{V} = \frac{N}{V} \mu \tanh \frac{\mu B}{k_B T}}$$

Koska tietylle materiaalille  $\mu$  ja  $\frac{N}{V}$  ovat vakioita, voidaan  $(\star)$  kirjoittaa muotoon  $f(M, B, T) = 0$ .

Olemme nähn johdaneet idealisen paramagnettin tilantilatön!

Rajat:

$$\begin{cases} |x| \ll 1 \Rightarrow \tanh x \approx x \\ x \gg 1 \Rightarrow \tanh x \approx 1 \\ \frac{d}{dx} \tanh x > 0 \end{cases}$$



Magnettisia ominaisuuksia

kuvaava vastefunktio (vrt. §1.6) on suskeettivisus  $\chi_+$

$$dM = \chi_+ dB = \chi_+ \frac{1}{\mu_0} dB \quad (\text{vakiotilassa})$$

$$\chi_+ = \left( \frac{\partial M}{\partial B} \right)_T = \mu_0 \left( \frac{\partial M}{\partial B} \right)_T$$

Pienillä  $x$  (korkea  $T$ , pieni  $B$ ) saadaan ( $\star$ ):sta

$$\chi \approx \frac{N}{V} \mu \mu_0 \frac{\partial}{\partial B} \left( \frac{\mu_B}{k_B T} \right) = \frac{N}{V} \mu^2 \mu_0 \frac{1}{k_B T}$$

$\uparrow \tan x \approx x$

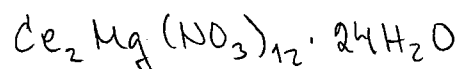
$$\Rightarrow \boxed{\chi = \text{VAKIO} \cdot \frac{1}{T}, \text{ kun } \frac{\mu_B}{k_B T} \ll 1}$$

Curien laki

Huom.

\* Curien laki on monille materiaaleille (korkeissa lämpötiloissa) havaittava riippuvuus.

\* Mandlin esimerkit:  $\text{CuSO}_4 \cdot \text{K}_2\text{SO}_4 \cdot 6\text{H}_2\text{O}$



\* Magnetismin lajeja: paramagnetismi, ferromagnetismi, antiferromagnetismi, diamagnetismi, metalmagnetismi, ... (kulkekin tapaukselle oma QM ja SM teoriansa)

### 2(c) ADIABAATTINEN DEMAGNETointi

on jäähdystimenetelmä, jolla päästään hyvin mataliin lämpötiloihin. Tarkastellaan aluksi yleistä järjestelmää, jonka mikrotilat ovat

$$E_1 < E_2 < E_3 < E_4 < \dots$$

$\uparrow$  empiriset havainnot  $\Rightarrow$  konjekturi: luonnossa  $g(E_{\min}) = 1$

Tällöin lämpökylyssä

$$P_r = \frac{1}{Z} e^{-E_r/k_B T} \xrightarrow{T \rightarrow 0} \begin{cases} 1, & r=1 \\ 0, & r>1 \end{cases}$$

eli nollalämpotilassa järjestelmä on aina perustilassa ja

$$S \stackrel{(2.14)}{=} -k_B \sum_r P_r \ln P_r \xrightarrow{T \rightarrow 0} 0$$

Tämä on TDIII:n mikroskooppinen "perustelu".

Pyritään hyödyntämään sitä ...

Esimerkkitapauksena ideaalinen paramagneetti:

\* Kiteen mikrostilojen  $r$  ( $2^N$  mikrostiloja) todennäköisyysdet räppuvat ulkoisista olosuhteista ( $T, B$ ) ainoastaan parametrin  $x = \frac{\mu_B}{k_B T}$  kautta eli  $Pr = Pr\left(\frac{\mu_B}{k_B T}\right)$   $\xrightarrow{(2.14)}$

$$\Rightarrow S = S\left(\frac{\mu_B}{k_B T}\right)$$

Jos myös muutetaan  $B$ :ta pitäen  $\$$  vakiiona ( $\delta Q=0$ ), on siis  $T$ :n muuttuvana! Käytetään kokeessa kahta kentän arvoa  $B_0 < B_1$ .

## Rakki vaiheineen prosessi:

(I) Lämpökylyssä  $T = T_1 = \text{VAKIO}$

$$B: B_0 \rightarrow B_1$$

$$\Rightarrow \Delta S < 0$$

(II) Eristettyynä:  $Q=0 \Rightarrow \Delta S=0$

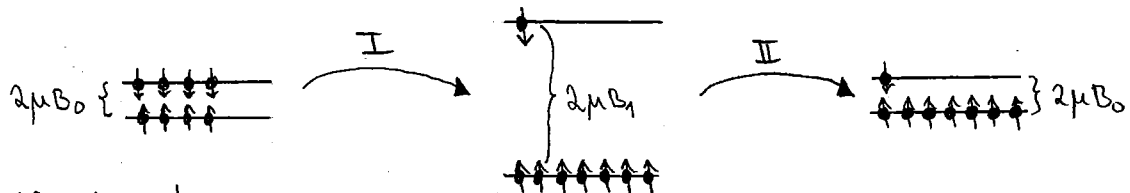
$$B: B_1 \rightarrow B_0 \quad \Rightarrow \quad T: T_1 \rightarrow T_2$$

(edw.  $10^{-6}$  K)

Huoh.

ADIA BAAATTINEN JÄÄHDYTYS

## \* Spin-tilojen mielekitys:



## \* Energivirrat:

(I)  $\Delta E < 0$ , kui  $p_1 p_2 \neq 1$  ja  $\alpha = \beta$

(II)  $\Delta E > 0$ , menee kiten muihin vapausasteisiin

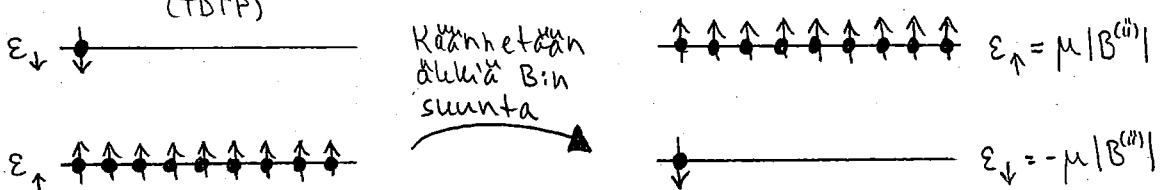
- \* Kuvasta ylää voidaan tehdä yleisemminkin pätevää havainto: Lämpötilaan  $T=0$  ei päästää ääretöiseksi lukuunmäärellä (näitä idealisoituja) prosesseja.

## Reunahomomantis

Mita tarkoittaa "negatiivinen lämpötila"?

Tarkastellaan edelleen ideaalista paramagneettia:

$$(i) \text{ ALUKSI } B = B^{(i)} > 0 \quad (ii) \text{ NYT } B = B^{(ii)} < 0 \\ \text{JA MATALA } T = T^{(i)} > 0 \quad \text{ENTÄ } T^{(ii)} ?$$



Järjestelvä "ei ehdi" seurata  $B$ :n muutosta. Jos haluamme vähisim käyttää Boltzmann-jakaumaa (2.7) tapauksessa (ii) eli

$$P_{\uparrow}^{(ii)} = \frac{1}{Z} e^{-\mu|B^{(ii)}|/k_B T^{(ii)}} > P_{\downarrow}^{(ii)} = \frac{1}{Z} e^{\mu|B^{(ii)}|/k_B T^{(ii)}},$$

↑ KUVASTA (ii)

seuraan tästä muidoksesta etta  $T^{(ii)} < 0$ .

Samaan poddytoon myös toteavalla, etta

$$\mathcal{L}(E) = \mathcal{L}(N_{\uparrow}) = \binom{N}{N_{\uparrow}} \Rightarrow \frac{\partial \mathcal{L}}{\partial N_{\uparrow}} < 0 \text{ kun } N_{\uparrow} > \frac{N}{2}$$

Tämä sijoilettuna (2.2):een antaa  $T^{(ii)} < 0$  [ $E = (N-2N_{\uparrow})\mu B$ ].

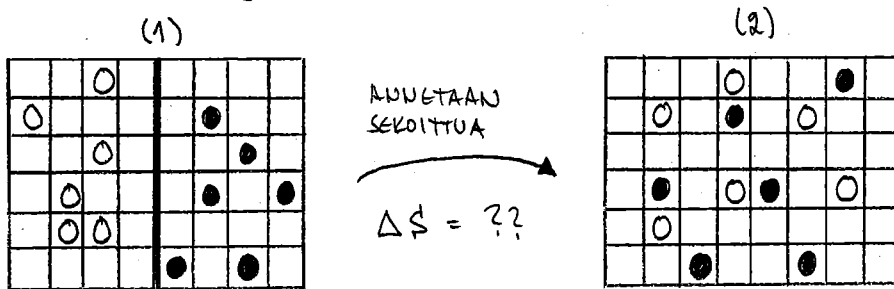
Miten tämä on mahdollista?

- \* Tilanteessa (ii) kide ei ole TDTP:ssa eli esim kiteen hilavärikelyjen lämpötila on  $> 0$ .
- \* Sekä (2.2):n että (2.7):n johdannissa oletetaan, etta  $E$  on tarkasteltavan systeemien koko sisäenergia; yllä olemme tarkastelleet vain magnetista energian.
- \* "Negatiivinen lämpötila" on siis vain tapa kuvailla ns populaatioinversiota eräissä epätasapainotilanteissa. Se ei ole lämpötila termodynamiassa mielessä (mieli vaikka " $T < 0$ "-systeemiä kontaktissa  $T > 0$ -systeemii).

(36)

## 2(d) SEKOITUSENTROPIA VODELLEEN

Kunkin aineen pinta, johon on tarttunut kahdenlaisia molekyylejä A ja B, jotka voivat olla vain hietyissä hilapaikoissa, joita on N kpl:



Olkoon kumpiakin molekyylejä  $n_A = n_B = n$  kpl.

$$\Omega_A^{(1)} = \binom{N/2}{n}$$

$$\Omega^{(1)} = \Omega_A^{(1)} \Omega_B^{(1)}$$

Jos on  $1 < n < N$ , niin

$$\Omega_A^{(2)} \approx \binom{N}{n} \approx \Omega_B^{(2)} \quad \text{ja} \quad \Omega^{(2)} = \Omega_A^{(2)} \Omega_B^{(2)} + \text{PIENIÄ KORJAUKSIA}$$

Kokonasentropian muutos on tällöin

$$\begin{aligned} \Delta S &\approx k_B \left\{ \ln \Omega^{(2)} - \ln \Omega^{(1)} \right\} = k_B \ln \frac{\Omega^{(2)}}{\Omega^{(1)}} \\ &= k_B \ln \left[ \frac{N! n! (\frac{N}{2}-n)!}{(\frac{N}{2})! n! (N-n)!} \right]^2 \\ (0.4) \Rightarrow k! \approx k^k e^{-k} &\approx 2 k_B \ln \frac{N^N (\frac{N}{2})^{\frac{N}{2}-n} e^{-(N+\frac{N}{2}-n)}}{(\frac{N}{2})^{N/2} (N-n)^{N-n} e^{-(\frac{N}{2}+N-n)}} \approx 2 k_B \ln \frac{N^N (\frac{N}{2})^{\frac{N}{2}-n}}{(\frac{N}{2})^{N/2} N^{N-n}} \\ &= 2 k_B \ln 2^n = \underbrace{2 n k_B \ln 2}_{2n=n_A+n_B} = (n_A + n_B) k_B \ln 2 \end{aligned}$$

Tämä on sama kuin tulos  $\Delta S = (N_A + N_B) k_B \ln 2$ , joka johdettiin termodynamikasta klassiselle ideaalikaasulle kohdassa 1(d). Kummassakin tapauksessa tärkeää on systeemien "ideaalisuus" (vuorovaikutuksettomuus).

### 3. TERMODYNAAMISET POTENTIAALIT

#### 3.1. IDEA

Eristettyjä järjestelmiä: MIKROSK:  $S \rightarrow S_{\max}$

MAKROSK:  $S \rightarrow S_{\max}$

Järjestelmä lämpökylyssä: MIKROSK:  $P_r \propto e^{-\beta E_r}$

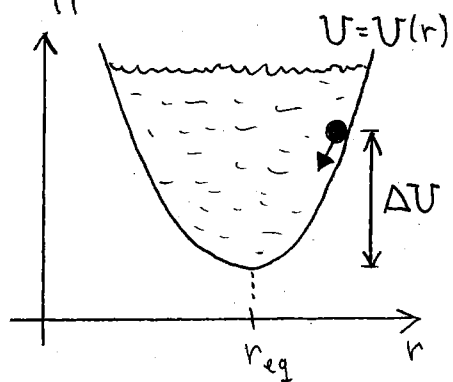
MAKROSK: ?? (toistaiseksi)

Haluamme kuvertaa ympäristönsä kanssa jollain tavalla kosketekossa olevaa järjestelmiää makroskooppisesti termiseen.

#### Analogia

Klassinen mekanikka: Nestettä täytetyssä astiassa oleva kuula päätyy tasapainoasemuun astian pohjalla. Gravitatiopotentiaalin

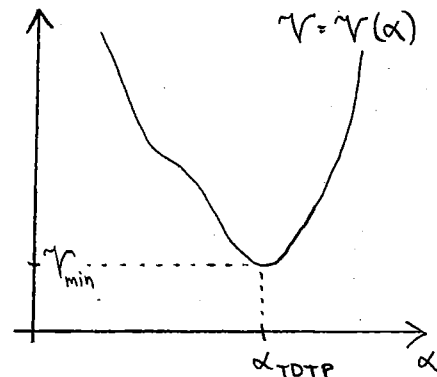
erotus  $\Delta U$  on muulle havissa mekaaniseksi työksi  $W$ .



#### Termodynamiikan potentiiali

Haluamme konstruoida abstraktia potentiaalin tyyppiä

$$\tilde{V} = \underbrace{\tilde{V}(Y_1, Y_2, \dots, Y_M)}_{\substack{\text{TDTP-tilan} \\ \text{määritelmät} \\ \text{TD muuttujat}}} + \underbrace{\alpha}_{\substack{\text{epätasapainokloa} \\ \text{kuvaava}(t) \\ \text{parametri}(t)}}$$



jolle olosuhteissa  $(Y_1, Y_2, \dots, Y_M)$  saadaan TDTP-ehto muodossa

$$\tilde{V}_{\text{TDTP}} = \tilde{V}_{\min}$$

#### Huom.

Eristettyjä järjestelmiä makroksilla  $S$ :n eli minimoi  $-\tilde{S}$ :n pideltäessä  $\underbrace{(E, V, N)}$  vakiaina.

$\Leftrightarrow$  vrt.  $(Y_1, Y_2, Y_3)$  ylä

(38)

Kontakti ympäristöön  $\Rightarrow$  ei sama mitä muuttujia käytetään  $\Rightarrow$

Legendren muunnokset: Olkoon varikka  $K = K(x, y, z)$  eli

$$dK = \left(\frac{\partial K}{\partial x}\right)_{y,z} dx + \left(\frac{\partial K}{\partial y}\right)_{x,z} dy + \left(\frac{\partial K}{\partial z}\right)_{x,y} dz \\ =: u dx + v dy + w dz$$

Tällöin esim. uudelle funktionalle  $L = K - yv$

$$dL = dK - ydv - vdy = udx - ydv + wdz$$

$$\Rightarrow L = L(x, v, z)$$

Muunosta  $L(x, v, z) = K(x, y, z) - yv$ , missä  $v = \left(\frac{\partial K}{\partial y}\right)_{x,z}$ , kutsutaan Legendren muunnokseksi. Muuttujapareja  $(u, x), (v, y), (w, z)$

kutsutaan konjugoiduiksi pareiksi.

### 3.2. ENERGYIA JA ENTROPIA

Boltzmann-jakaus (vrt. sovellukset 2(b,c)) sanoo, että järjestelälle lämpötilavuksella  $(T, V, N)$  saamme

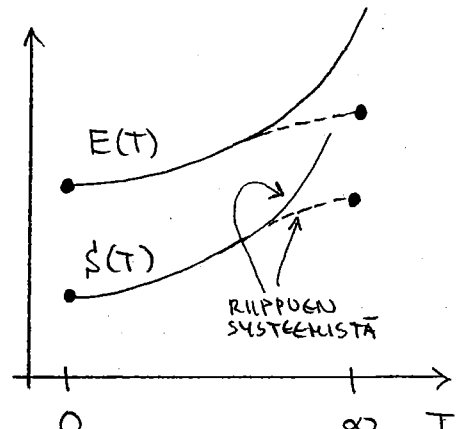
$$T \rightarrow 0 \Rightarrow E \rightarrow E_{\min} \quad \text{ja} \quad S \rightarrow 0$$

$$T \rightarrow \infty \Rightarrow E \rightarrow \sum_r E_r / \sum_r 1 \quad \text{ja} \quad S \rightarrow k_B \ln(\sum 1)$$

ja lämpötilassa  $0 < T < \infty$  pideltävälle systeemille jotain tältä valiltä [eli  $E$ :n ja  $S$ :n TDTP-avot riippuvat  $(T, V, N)$ :sta]:

Esim. Tyypillisiä mikrostilaehityksiä:

_____	0	00	000
_____	00	000	000
_____	000	000	000
00000000	0000000	00000	000
T=0	T=T <sub>1</sub>	T=T <sub>2</sub>	T=∞



$$(0 < T_1 < T_2 < \infty)$$

### 3.3. HELMHOLTZIN VAPAA ENERGIA

Tarkastelun kohdenna systeemi, jolle pätee (1.13):

$$\text{TDTP-tilojen muutoksiin} \quad dE = TdS - PdV + \mu dN \quad \therefore E = E(S, V, N)$$

Haluamme katsoa vakio-T:ssa pidettävää systeemistä  $\Rightarrow$   
tehdään E:lle Legendren muunnos:

$$F = E - TS \quad \begin{matrix} \text{HELMHOLTZIN} \\ \text{VAPAA ENERGIA} \end{matrix} \quad (3.1)$$

$$\stackrel{\uparrow}{\text{Leg. muunnos sillä (2.2) }} \Rightarrow T = \left( \frac{\partial E}{\partial S} \right)_{V, N}$$

$$dF = dE - TdS - SdT$$

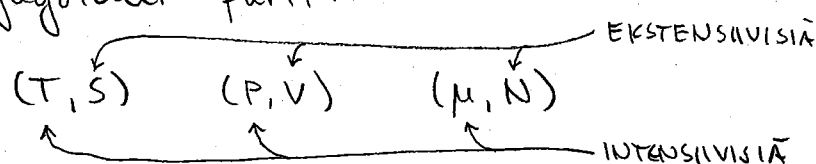
$$\stackrel{(1.13)}{=} - SdT - PdV + \mu dN$$

$$\Rightarrow F = F(T, V, N) \quad \text{TDTP}$$

Huom.

\*  $T, V, N$  tässä luonnolliset muuttujat

\* konjugoidut parit:



$$\text{yksiköt: } [TS] = [PV] = [\mu N] = [E]$$

Helmholtzin vapaa energia on lämpökylyssä olevan  
järjestelmän TD potentiaali. Tämä todistetaan seuraavasti:

$$\Delta S_Y \geq 0 \quad (\text{Clausiusken perrante})$$

$$\Rightarrow (\Delta S + \Delta S_L) \geq 0$$

Tasapainoa haettessa sijtayjä järjestelmän

$$\text{lämpökyky} \quad Q = -Q_L$$

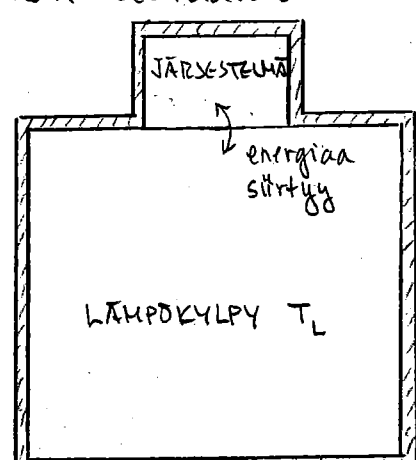
$$\Rightarrow \Delta S_L = - \frac{Q}{T_L}$$

KYLVYN KANNALTA REVERSIABELI (JÄRJESTELMÄN KANNALTA EI)

Yhdistämällä nämä saame

$$\Delta S - \frac{Q}{T_L} \geq 0 \quad (*)$$

JÄRJESTELMÄN ENTROPIAMUUTOS



(40)

Ei tilavuudenmuutoksia  $\Rightarrow$  työtä ei tassaa tehdä:

$\Delta E = Q + W = Q =$  järjestelmän saama (lämpö)energia

$$\xrightarrow{*} \Delta S^{\ddagger} - \frac{\Delta E}{T_L} \geq 0 \quad \therefore \Delta(E - T_L S) \leq 0$$

Sits jos lämpötilassa  $T$  pidettävälle järjeselmälle, jolle  $N \neq V$  vakiointa, tapahtuu spontaanetia makrosk muutoksia (kohti TDTP:a), se tapahtuu siten että

$$\Delta(E - TS) \leq 0 \quad \therefore F_{TDTP} = F_{MIN} \quad (3.2)$$

### Tulkinta

Järjestelmä lämpökylyssä:  $F = E - TS$

↓ MINIMOITUU  
 ↑ PYRKII MAKSIMITOUMAAN  
 PYRKII MINIMOITUMAAN

Lämpötilasta  $T$  riippuu, kumpi dominoi:

$E$  (suosii järjestystä) vaikoo,  $S$  (suosii epäjärjestystä)

Kun TDTP-tila on saavutettu, saameme (2.7) & (2.14):sta

$$\left. \begin{array}{l} p_r = \frac{1}{Z} e^{-\beta E_r} \\ S = -k_B \sum_r p_r \ln p_r \end{array} \right\} \Rightarrow S = k_B \underbrace{\sum_r p_r \ln Z}_{k_B \ln Z} - \underbrace{k_B \sum_r p_r (-\beta E_r)}_{\langle E \rangle / T}$$

$$\xrightarrow{(3.1)} F = -k_B T \ln Z \quad TDTP:issa \quad (3.3)$$

### Huom.

Kristetyihin ( $E, V, N$ ) ja lämpökylyssä ( $T, V, N$ ) olevien järjestelmien vertailua:

$\left\{ \begin{array}{l} \text{Myös lämpökylyssä } E: \text{n arvo käännetyy } E = \langle E \rangle \text{ fliktuaatioiden pienimpien antosta. Kuitenkin, } T \text{ on "luonnollisimpia" muuttuja.} \end{array} \right.$

	ERISTETTY	KYLVYSSÄ
MIKROSK	$\Omega$	$Z$
MAKROSK	$S = k_B \ln \Omega$	$F = -k_B T \ln Z$
TDTP-EHTO	$S = S_{MAX}$	$F = F_{MIN}$
LUONNOLLISET MUUTTUJAT	$(E, V, N)$	$(T, V, N)$

### 3.4. GIBBSIN VAPAA ENERGIA

Tekhdän sitten yksi legendren muunnos lisää:

$$G = E - TS + PV \quad \begin{matrix} \text{GIBBSIN} \\ \text{VAPAA} \\ \text{ENERGIA} \end{matrix} \quad (3.4)$$

$$\Rightarrow dG = dE - TdS - SdT + PdV + VdP$$

$$\stackrel{(1.13)}{=} - SdT + VdP + \mu dN$$

$$\Rightarrow \boxed{G = G(T, P, N)}$$

G on lämpö- ja painekylyssä olevan järjestelmän TD potentiaali:

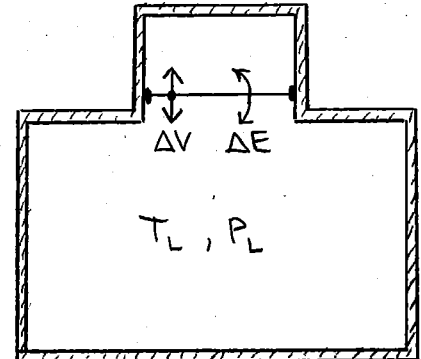
Kylyä iso  $\Rightarrow T_L, P_L$  vakioita.

Jälkeen TDTP:a haettuessa

$$\Delta S_f = \Delta S + \underbrace{\Delta S_L}_{-Q/T_L} \geq 0$$

$$\xrightarrow{\Delta E = Q + W} \Delta S - \frac{\Delta E - W}{T_L} \geq 0 \quad \left. \right\}$$

$$W = -P_L \Delta V \quad \begin{matrix} \uparrow \\ \text{KYLVYN KANNALTÄ REV} \end{matrix}$$



$$\boxed{\Delta S - \frac{\Delta E + P_L \Delta V}{T_L} \geq 0} \quad \begin{matrix} \uparrow \\ \text{CLAUSIUKSEN EPÄYHTÄLÖ} \end{matrix} \quad (3.5)$$

Sis vakiolämpötilassa T ja vakiopaineessa P pidettävälle järjestelälle  $\Delta(E - TS + PV) \leq 0 \quad \therefore \quad G_{TDTP} = G_{MIN}$

Huom.

- \* Myös  $(T, P, N)$ -systeemille voidaan johdtaa  $(T, V, N)$ -systeemin partitrofunktion Z vastine (ei tarpeen tulla kurssilla).
- \* Osoittautuu, että G kytkeytä läheisesti kemialliseen potentiaalikin  $\mu$ .
- \* Muutakin potentiaalia ja voidaan määritellä legendren muunnoksilla, kemissa paljon käytetty on

$$\boxed{H = E + PV} \quad \begin{matrix} \text{ENTALPIA} \\ \text{ENTALPIA} \end{matrix} \quad (3.7)$$

jolloin tilanteessa  $dQ=0, dP=0$  on  $S = S(H, P, N)$  ja tasapainoehdoksi tullee  $S_{TDTP} = S_{MAX}$ .

42

### 3.5. MAXWELLIN RELAATIOIT

Hyodyntisit, aina vormassa olevia TD relaatioita voidaan johtaa ristilin derivoinimalla:

$$dE = TdS - PdV + \mu dN$$

$$dV = 0, dN = 0 \Rightarrow dE = TdS \Rightarrow T = \left(\frac{\partial E}{\partial S}\right)_{V,N}$$

$$dS = 0, dN = 0 \Rightarrow dE = -PdV \Rightarrow P = -\left(\frac{\partial E}{\partial V}\right)_{S,N}$$

$$\left\{ \begin{array}{l} \left(\frac{\partial T}{\partial V}\right)_{S,N} = \left(\frac{\partial}{\partial V}\right)_{S,N} \left(\frac{\partial}{\partial S}\right)_{V,N} E \\ \left(\frac{\partial P}{\partial S}\right)_{V,N} = -\left(\frac{\partial}{\partial S}\right)_{V,N} \left(\frac{\partial}{\partial V}\right)_{S,N} E \end{array} \right. \xrightarrow{\text{SAMAT } \nabla} \Rightarrow \boxed{\left(\frac{\partial T}{\partial V}\right)_{S,N} = -\left(\frac{\partial P}{\partial S}\right)_{V,N}}$$

1. MAXWELLIN RELAATIO

$$dF = -SdT - PdV + \mu dN$$

$$dV = 0, dN = 0 \Rightarrow dF = -SdT \Rightarrow S = -\left(\frac{\partial F}{\partial T}\right)_{V,N}$$

$$dT = 0, dN = 0 \Rightarrow dF = -PdV \Rightarrow P = -\left(\frac{\partial F}{\partial V}\right)_{T,N}$$

$$\left\{ \begin{array}{l} \left(\frac{\partial S}{\partial V}\right)_{T,N} = -\left(\frac{\partial}{\partial V}\right)_{T,N} \left(\frac{\partial}{\partial T}\right)_{V,N} F \\ \left(\frac{\partial P}{\partial T}\right)_{V,N} = -\left(\frac{\partial}{\partial T}\right)_{V,N} \left(\frac{\partial}{\partial V}\right)_{T,N} F \end{array} \right. \Rightarrow \boxed{\left(\frac{\partial S}{\partial V}\right)_{T,N} = \left(\frac{\partial P}{\partial T}\right)_{V,N}}$$

$$dG = \dots \Rightarrow \boxed{\left(\frac{\partial S}{\partial P}\right)_{T,N} = -\left(\frac{\partial V}{\partial T}\right)_{P,N}}$$

$$dH = \dots \Rightarrow \boxed{\left(\frac{\partial T}{\partial P}\right)_{S,N} = \left(\frac{\partial V}{\partial S}\right)_{P,N}}$$

Huom.

\* Maxwellin relaatiot muotoa  $\left(\frac{\partial a}{\partial B}\right)_{A,C} = \pm \left(\frac{\partial b}{\partial A}\right)_{B,C}$ ,

missä  $(a,A)$  ja  $(b,B)$  konjugoituja pareja.

\* Nämä ja muita Maxwellin relaatioita on helppo johtaa tarpeen tulken  $\Rightarrow$  ei kannata opetella ulkoa.

\* Etumerkkinen  $\pm$  miettiäsiestä voi oppia joitain.

\* Maxwellin relaatiot ovat yleispäteitä, sähkö muiden voimien matematisessä mielessä ne ovat läheintä TD teorian rakenteesta seuraavia trivialeittejä. :-)

Sovelluksia:

### 3(a) MAKSIMAALINEN TÖÖ

Kuvan konsepte  $\S 3.4$ :sta

$$\Delta S - \frac{Q}{T_L} \geq 0 \quad \begin{array}{l} \text{(suuret} \\ \text{ilmeen} \\ \text{alihankkeita} \\ \text{vähävarvat} \\ \text{järjestelmiä)} \end{array}$$

Järjestelmä (kaasu mänän alla) tekee töötä kylpyyn (=ympäristöön  $T_L, P_L$ )

$$W_L = P_L \Delta V$$

ja lisäksi mekaanista töötä punnuksen nostoon

$$W_M = mg \Delta h$$

Sits etumerkit huomioiden

$$-W = W_L + W_M$$

joten

$$T_L \Delta S \geq Q = \Delta E - W \Rightarrow T_L \Delta S \geq \Delta E + W_L + W_M$$

$$\Rightarrow W_M \leq -\Delta(E - T_L S + P_L V)$$

Määritetään seura  $A$  ("availability")

$$A := E - T_L S + P_L V$$

$\uparrow \uparrow \uparrow \uparrow$

MUKANA SEKÄ JÄRJESTELMÄN ( $E, S, V$ )  
ETTA KYLVYN ( $T_L, P_L$ ) OMINAISUUKSIA ▽

$$\text{voimme kirjoittaa } W_M \leq -\Delta A \Rightarrow (W_M)_{\max} = -\Delta A$$

eli maksimiarvo "hyödyllistä töötä" on  $-\Delta A$ .

Huom.

\* Erikoistapaukset:  $\S 3.3 (T=T_L)$ :  $(W_M)_{\max} = -\Delta F$

$\S 3.4 (T=T_L, P=P_L)$ :  $(W_M)_{\max} = -\Delta G$

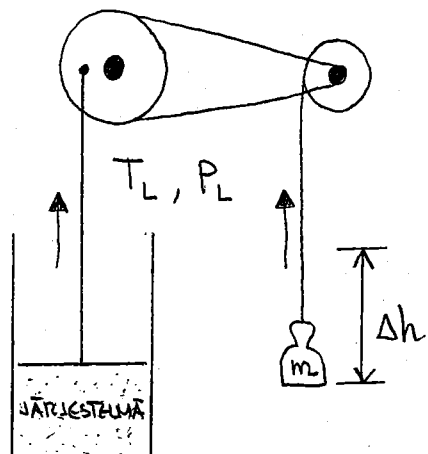
$\Rightarrow$  Nimitys "vapaa energia" ("potentiaali")

\* Esim.  $\S 3.3$ :n tapauksessa  $A = F = E - TS$ , jolloin

{isompi  $E \Rightarrow$  enemmän olettaavaa}

{isompi  $S \Rightarrow$  vähemmän olettaavaa}

$\therefore "S \leftrightarrow \text{hyödyllisyys}"$



$$\begin{array}{l} (\Delta V > 0) \\ (W_L > 0) \\ (W_M > 0) \end{array}$$

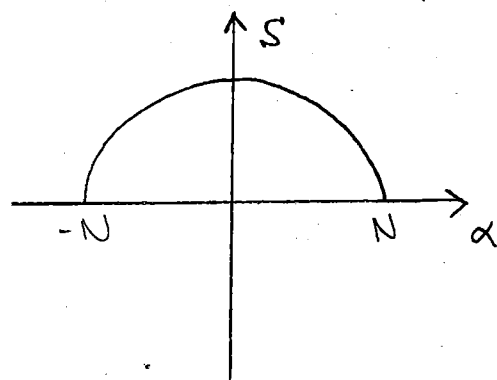
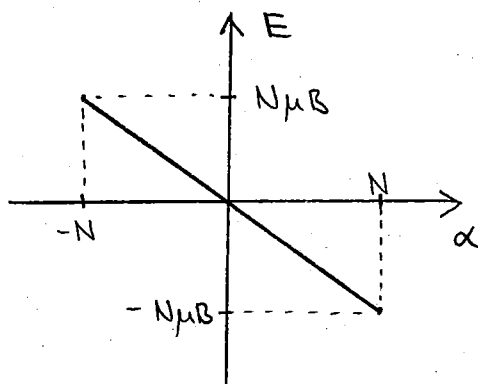
### 3(b) PARAMAGNEETTI VUODELLEEN

Sovellus 2(b): ideaalinen paramagneetti lämpötilavuussä  $\Rightarrow$  relevanSSI termodynamiSinen potentioli on  $F = E - TS$

$$\begin{cases} N_{\uparrow} := \text{"spin-ylös"-dipolien lkm} \\ N_{\downarrow} := \text{"spin-alas"-dipolien lkm} \\ \alpha := N_{\uparrow} - N_{\downarrow} \quad (\alpha \approx M) \end{cases} \quad (N_{\uparrow} + N_{\downarrow} = N = \text{VAKIO})$$

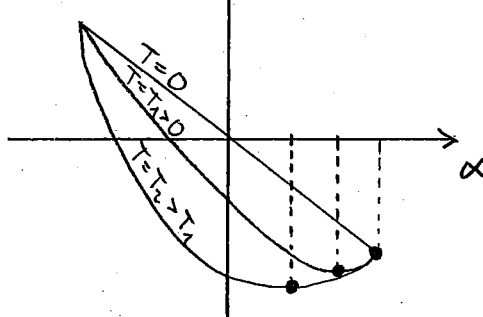
$$E(\alpha) = -N_{\uparrow}\mu_B + N_{\downarrow}\mu_B = -\alpha\mu_B$$

$$S(\alpha) = k_B \ln \Omega(\alpha) = k_B \ln \left( \frac{N}{\frac{1}{2}(\alpha+N)} \right) = k_B \ln \left( \frac{N}{N_{\uparrow}} \right)$$



Tästä F eri lämpötiloissa künteällä  $B > 0$ :

$$\uparrow F = E - TS$$



Lämpötilan kasvaessa F:n minimi (eli TDTP-tila) siirtyy kuvaassa vasemmalle (jolloin spin-systeemi epäjärjestyy).

Epatasapainotilassa  $\alpha$ :lla voi olla mitä tahansa arvo.

Tasapainotilassa  $\alpha$  saa arvon, jolle  $F = F_{\text{MIN}}$  eli

$$M = (N_{\uparrow} - N_{\downarrow})\mu = \alpha\mu \stackrel{\text{TDTP}}{=} \underbrace{N\langle\mu\rangle}_{\text{laskettu 2(b):ssa}}$$

laskettu 2(b):ssa

Huom.

\* Täwänkaltainen lähestymistapa on erityisen tehokas tarkasteltaessa monimutkaisia vuorovaikutuksia systeemejä, joille Z:n "ratkaisuiken" ei useinkaan onnistuu.

### 3(c) KOKODNPURISTUVUUS JA LÄMÖKAPASITEETTI

Käytännöön soveltuksissa tarvitaan mitä erilaisempia TD relaatioita. Yksi sellainen,  $C_p/C_v = \alpha_T/\alpha_s$ , johdetaan tässä ensin malkihi ja sitten käytetään sitä.

Olkoon  $N=VAKIO$   $\xrightarrow{\text{§1.4}}$   $C_v = T \left( \frac{\partial S}{\partial T} \right)_v$   $C_p = T \left( \frac{\partial S}{\partial T} \right)_p$   
 $\alpha_T = -\frac{1}{V} \left( \frac{\partial V}{\partial P} \right)_T$   $\alpha_s = -\frac{1}{V} \left( \frac{\partial V}{\partial P} \right)_s$

Laskun idea:  $C \leftrightarrow dS$  ja  $\alpha \leftrightarrow dV$ . Tutkitaan mitä:

(1)  $dS = \left( \frac{\partial S}{\partial T} \right)_v dT + \left( \frac{\partial S}{\partial V} \right)_T dV \Rightarrow$

$$\underbrace{\left( \frac{\partial S}{\partial T} \right)_p}_{C_p/T} = \underbrace{\left( \frac{\partial S}{\partial T} \right)_v}_{d_v/T} \cdot 1 + \underbrace{\left( \frac{\partial S}{\partial V} \right)_T}_{\text{Maxw. } \left( \frac{\partial P}{\partial T} \right)_V} \underbrace{\left( \frac{\partial V}{\partial T} \right)_p}_{\frac{1}{V \alpha_T}} \quad \begin{matrix} \text{derivointisääntö} \\ \text{sivun 18 alareunasta} \end{matrix}$$

(2)  $dV = \left( \frac{\partial V}{\partial P} \right)_T dP + \left( \frac{\partial V}{\partial T} \right)_P dT \Rightarrow$

$$\underbrace{\left( \frac{\partial V}{\partial P} \right)_s}_{-V \alpha_s} = \underbrace{\left( \frac{\partial V}{\partial P} \right)_T}_{-V \alpha_T} \cdot 1 + \underbrace{\left( \frac{\partial V}{\partial T} \right)_P}_{\text{Maxw. } \left( \frac{\partial S}{\partial P} \right)_T} \underbrace{\left( \frac{\partial T}{\partial P} \right)_s}_{\frac{T}{C_p}} = \frac{T}{C_p} \left( \frac{\partial V}{\partial T} \right)_P$$

Ensin tarvitset ihanystää nämä tulokset:

(1)  $\Rightarrow \frac{1}{T} (C_p - C_v) = \frac{1}{V \alpha_T} \left[ \left( \frac{\partial V}{\partial T} \right)_P \right]^2$

(2)  $\Rightarrow V (\alpha_T - \alpha_s) = \frac{T}{C_p} \left[ \left( \frac{\partial V}{\partial T} \right)_P \right]^2$  jaetaan puolittain

$$(C_p - C_v) \alpha_T = (\alpha_T - \alpha_s) C_p$$

$$\Rightarrow \boxed{\frac{\alpha_T}{\alpha_s} = \frac{C_p}{C_v}} \quad (\star)$$

Huom.

Muita vastaavia relaatioita vastefunktioiden välille saadaan samaan tapaan Maxwellin relaatioita käyttäen.

(46)

Tulos (\*) on tarpeen mu. yhtäläessä ymmärteän mikä määrän äänisen nopeuden v. fluidissa: Peruskurssilta aaltoyhtälö

$$\frac{\partial^2 s}{\partial t^2} = v^2 \frac{\partial^2 s}{\partial x^2} \quad "v^2 \sim \frac{\text{VOIMAVAKIO}}{\text{HITAUS}}$$

Kaasumaisessa aineessa voimme olettaa, ettei äänialtoihin läty lämmön säätyministä ( $\delta Q=0$ ) eli prosessi on adiabattinen ( $s=\text{VAKIO}$ )

$$\therefore v^2 = \frac{1}{s_m} \cdot \left( \frac{\partial P}{\partial V} \right)_{s,N} \cdot (-V) \quad s_m = \frac{Nm}{V} \quad (\text{massatiheys})$$

$\uparrow \text{adiab}$        $\downarrow \text{yksitetum}$

eli  $v$  räppien adiabattisesta kokoonpistuvuudesta  $\delta s = -\frac{1}{V} \left( \frac{\partial V}{\partial P} \right)_s$  joka on vaikeahko arvioida. Avuksi johtamme tulos:

$$v^2 = -\frac{V}{Nm} \left( -\frac{1}{\delta s} \right) \stackrel{(*)}{=} \frac{1}{s_m} \frac{C_p}{C_v} \frac{1}{\delta T}$$

Esim.

Arvioidaan karkeasti äänisen nopeus ilmassa:

Ajatellaan, että ("malli") ilma on klassista ideaalikaasua  $\Rightarrow$

$$C_v = \frac{3}{2} N k_B T \quad C_p = \frac{5}{2} N k_B T$$

$$\delta T = -\frac{1}{V} \left( \frac{\partial V}{\partial P} \right)_{T,N} = -\frac{1}{V} \frac{\partial}{\partial P} \left( \frac{N k_B T}{P} \right)_{T,N} = \frac{1}{P}$$

$$\Rightarrow v^2 = \frac{5}{3} \frac{k_B T}{m}$$

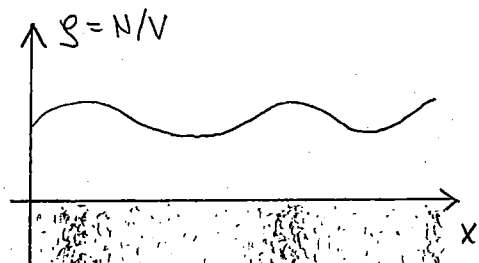
$$\left. \begin{array}{l} \text{Ilma } \approx N_2 \Rightarrow m \approx 2(\text{f}_\text{mp} + \text{f}_\text{mn}) \\ \text{Huoneenlämpötila } T \approx 300 \text{ K} \end{array} \right\} \Rightarrow v \approx 380 \text{ m/s} \approx \text{O.K.}$$

Huomi.

Ilma sen pohemmin kuin tyypikään ei ole. joka suhteissa klassista ideaalikaasua (vaikka  $PV=Nk_B T$  päteekin hyvin)

$$\text{vaan } E = \frac{3}{2} N k_B T + \text{KORJAUKSIA}.$$

$\uparrow$  molekyyleiden sisäiset vapausasteet



### 3(d) LABRATÖÖ: TERMODYNAAMINEN TOTKIMUS

Tutkinnuskohde: metallilanka, jota

- \* ehdyt venytetään (ja annetaan sitten palautua)
- \* sitten lämmötetään

Reskeinen parametri on pituuden lämpölaajeneuviskerroin

$$\tilde{\alpha} := \frac{1}{L} \left( \frac{\partial L}{\partial T} \right)_P$$

Adiabaattinen venytys (lämpö ei eläisi sivuissa)

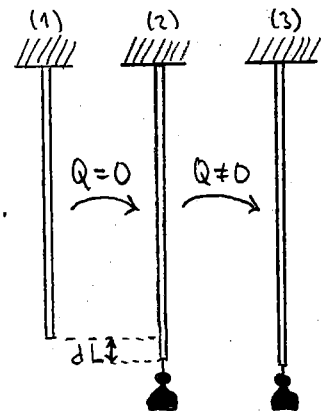
Kunnostukseen kohdennan vaihe  $1 \rightarrow 2$ , jolle  $dS=0$ .

Miten venytävä voima  $f \rightarrow dT$ ?

Venytys  $\Rightarrow$  paineen muutos:  $\left( \frac{\partial T}{\partial P} \right)_S = ?$

Derivointisääntö s. 18  $\Rightarrow$

$$\left[ \begin{aligned} \left( \frac{\partial T}{\partial P} \right)_S & \underbrace{\left( \frac{\partial P}{\partial S} \right)_T}_{\text{MAXW.}} \underbrace{\left( \frac{\partial S}{\partial T} \right)_P}_{C_P/T} = -1 \\ & - \left( \frac{\partial T}{\partial V} \right)_P \end{aligned} \right] \quad \therefore \left( \frac{\partial P}{\partial T} \right)_S = \frac{C_P}{T} \left( \frac{\partial T}{\partial V} \right)_P$$



Jos S-pysyy-vakiona, tämä voidaan "purkaa":

$$dP = \frac{C_P}{T} \left( \frac{\partial T}{\partial V} \right)_P dT \quad \Rightarrow \quad df = - \frac{C_P}{T} \left( \frac{\partial T}{\partial L} \right)_f dT$$

$\left\{ \begin{array}{l} dV = A dL \\ dP = - \frac{df}{A} \end{array} \right.$  (venytys  $\Rightarrow P$  pienenee)

Jos alussa ei voimaa ja sitten "voimaa pääle"  $f > 0$ , se aiheuttaa mitattavan lämpötilamuutoksen  $\Delta T$ . Korvaamme yllä (lineaariseus olettaen)  $df \rightarrow f$  ja  $dT \rightarrow \Delta T$ :

$$\boxed{\Delta T = - TL \frac{\tilde{\alpha}}{C_P} f}$$

Langan lämpötila sitä pienenee adiabaattisessa voiheessa  $1 \rightarrow 2$ .

Vaiheessa  $2 \rightarrow 3$  lanka palaa hitaasti ympäristön lämpötilaan.

Tulos lienee yllättävä, etenkin kun  $(TDI) \Rightarrow$  langalle

$$\Delta E = W_M - W_I + Q$$

missä  $W_M =$  lankaan tehty työ  $> 0$

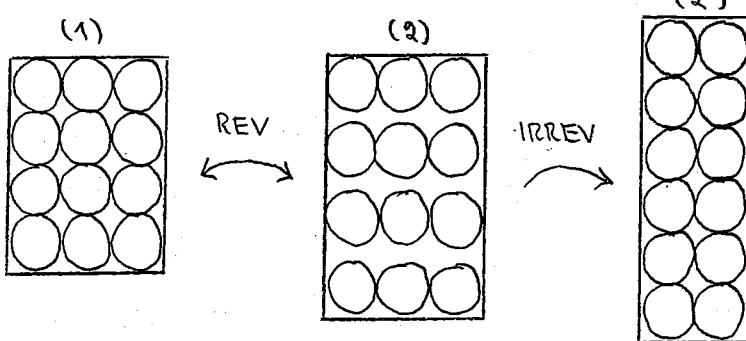
$-W_I =$  ilmakehään laajenemisen tekemä työ  $< 0$

$Q = 0$  (adiabaatissuus)

josta arvaten, että  $|W_I| \ll |W_M|$ , saamme  $\Delta E > 0$ .

Lanka siihen vähenee varikka sen energia kasvaa!

Mikrotasolla:



Lämpötila  $T$  alenel  $\xleftrightarrow{(2,2)} \frac{\partial S}{\partial E}$  kasvaa ( $S$ :n pysyessä vakiona), mikä johtuu lisääntyneestä tilavuudesta  $V_2 > V_1$  ( $\frac{\partial U}{\partial E}$  kasvaa).

Huom.

- \* Langalle ei päde ideaalikaasien  $E=E(T)$ . Siksi  $T$ :n muutoksen etumerkkiä ei saa suoraan  $\Delta E$ :sta.

- \* Langan tilanyhtälö vaiheessa  $1 \leftrightarrow 2$  voi olla

$$L = L_0 (1 + \alpha T + \underbrace{\gamma f}_{\text{dormoi tällä kohdalla}})$$

$\uparrow$  dormoi tällä kohdalla

### Lämpölaajeneminen

Tässä kokossa tilanyhtälön relevantti muoto on

$$L = L_0 (1 + \alpha T)$$

Huom.

- \* Nämä koheet tehdään vakioilmanpaineessa; jolloin sitä ei tarvitse kirjoittaa mukaan (vrt. esim. (4) sivulla ⑨).

## 4. OLOMUODON MUUTOKSET

### Määritelmä

Faasimuutoksella eli faantransitiolla tarkoitamme terävää muutosta makroskooppisen ainemääran ominaisuuksia kuvaavissa tilafunktioissa muutettaessa jonkin TDTP-tilan määritän tilamuuttujan arvoa. Teknisempi määritelmä voisi olla: Faasimuutosprosessat järjestelmän TD potentiaalilla on singulariteetti (tyypillisesti jonkin derivaatan epäjatkuvus). Arkipaivaisempia (esim kurssikirjassa tarkastelluissa tapauksissa sopiva) ilmias on olomuodotmuutos.

### Esimerkkejä

$\sim 10^{10}$ K	faasimuutoksia varhaisessa maailmankaikeudessa
5933 K	volfraami höyrystyy
3683 K	volfraami sulaa
3023 K	ranta höyrystyy
1808 K	ranta sulaa
1100 K	kuparin (110)-pinta karkenee termisesti (?)
1043 K	raudan ferromagnetismi katooaa
710 K	happikalvo W(110)-pinnalla epäjärjestyy
373 K	vei höyrystyy } ja sulaa } 1 atm
273 K	
90 K	happi nesteytyy
7 K	lyijy suprajohdeksi
2.17 K	$^4\text{He}$ suprajohdevalaksi

### Huom.

- \* Useat faasimuutokset ovat moneltaan järjestys-epäjärjestys (ja päinvastoin) -transitioita.

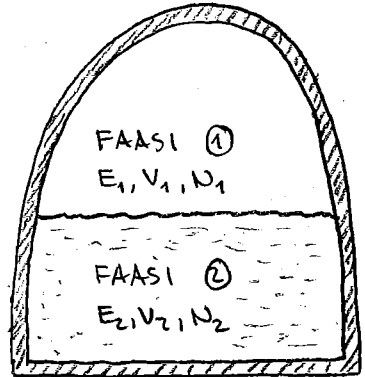
#### 4.1. OLOMUOTOSEN TASAPAINO

Olkoon konkreettisuden vuoksi

$$\begin{array}{ll} \text{FAASI } \textcircled{1} = \text{kaasu} & \left\{ \begin{array}{l} E_1 + E_2 = \text{VAKIO} \\ V_1 + V_2 = \text{VAKIO} \\ N_1 + N_2 = \text{VAKIO} \end{array} \right. \\ \text{FAASI } \textcircled{2} = \text{neste} & \end{array}$$

Faasit ovat tasapainossa keskenään, kun §2.2:ssa johdetut ehdot voivat:

$$\begin{cases} T_1 = T_2 & T_i = \left( \frac{\partial S_i}{\partial E_i} \right)_{V_i, N_i} \\ P_1 = P_2 & P_i = T_i \left( \frac{\partial S_i}{\partial V_i} \right)_{E_i, N_i} \\ \mu_1 = \mu_2 & \mu_i = -T_i \left( \frac{\partial S_i}{\partial N_i} \right)_{E_i, V_i} \end{cases}$$



Kummalakin faasille  $i=1,2$  on  $S_i = S_i(E_i, V_i, N_i)$  eli

$$dS_i = \left( \frac{\partial S_i}{\partial E_i} \right)_{V_i, N_i} dE_i + \left( \frac{\partial S_i}{\partial V_i} \right)_{E_i, N_i} dV_i + \left( \frac{\partial S_i}{\partial N_i} \right)_{E_i, V_i} dN_i$$

$$\Leftrightarrow dE_i = T_i dS_i - P_i dV_i + \mu_i dN_i \quad (1.13)$$

Raasun ja nesteen tapauksessa luonnollisen valinta TD muuttujiksi on  $(T, P, N)$ , jolloin kummalakin faasille

$$G_i = E_i - T_i S_i + P_i V_i$$

jonka ekstenstivisyystä seuraa

$$G_i(T_i, P_i, N_i) = N_i g_i(T_i, P_i) \Rightarrow g_i = \left( \frac{\partial G_i}{\partial N_i} \right)_{T_i, P_i}$$

Torsaalta sivu 41  $\Rightarrow$  TDTP:ssa on

$$dG_i = -S_i dT_i + V_i dP_i + \mu_i dN_i \Rightarrow \mu_i = \left( \frac{\partial G_i}{\partial N_i} \right)_{T_i, P_i}$$

Siten tasapainoehdot kahden faasin koeksistenssille olosuhteissa  $(T, P)$  eli ehto  $\mu_1 = \mu_2$  voidaan kirjoittaa muotoon

$$g_1(T, P) = g_2(T, P) \quad (4.1)$$

Tarkastelusta seuraa myös, että yleisemminkin

$$G = \mu N \xrightarrow{(3.4)} E - TS + PV = \mu N \quad \text{TDTP} \quad (4.2)$$

mitä kutsumme Gibbsin-Duhemin yhtälöksi.

## 4.2. FAASIDIAGRAMMI

Olkoon edelleen ① = KAASU  
② = NESTE

ja kokeellisesti kuten kuvassa:

Kohemus osoittaa, että

- \* faasiraja on "terävä"
- \* faasirajalla tasapainossa kaksi faasia, joilla eri tiheydet  $\varsigma_1 < \varsigma_2$  (ei mitään "siltä väliltä")

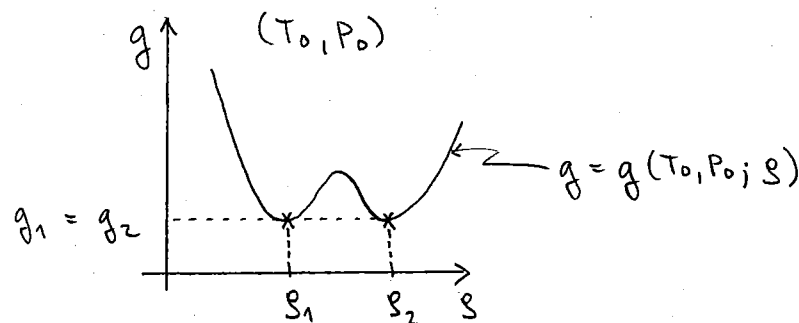
Selitetään tämä §3.1:n ideoiden pohjalta:

$$\text{TDTP:ssa } G = G(T, P, N) \Rightarrow g = g(T, P)$$

$$\text{Yleisesti (ETP:ssakin) taas on } g = g(T, P, \varsigma)$$

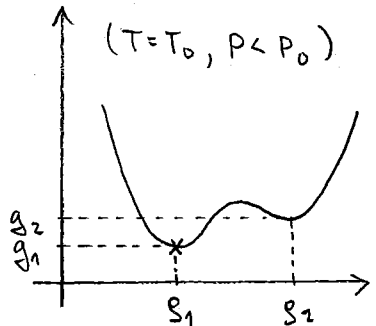
Jos ① ja ② tasapainossa, nyt kvalitativisesti

↑ kuten "a" sivulla 19



jolloin kun TDTP:ssa  $g = g_{\min}$ , ovat x:lla merkityt makrotilat ja niihin liittyvät tiheydet  $\varsigma_1$  ja  $\varsigma_2$  mahdollisia.

(A) Pidetään sitten  $T = T_0$  vakiina ja muutetaan painetta:

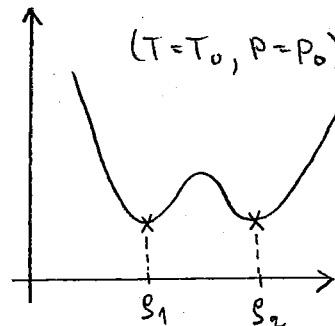


$$\varsigma_1 < \varsigma_2$$

$$g_{\text{TDTP}} = g_{\min} = g_1$$

$$\Rightarrow \varsigma = \varsigma_1 \text{ TDTP:ssa}$$

↑ höyry!

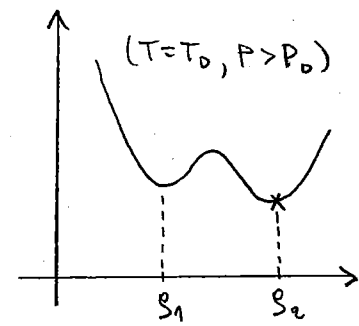


$$\varsigma_2 < \varsigma_1$$

$$g_{\text{TDTP}} = g_{\min} = g_2$$

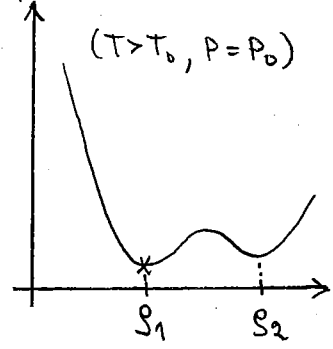
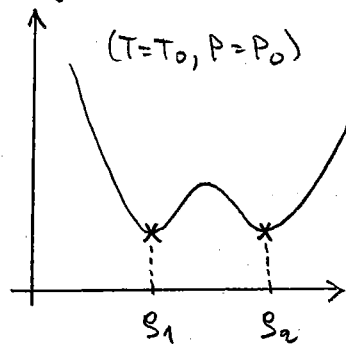
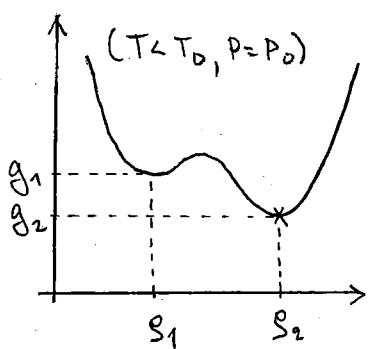
$$\Rightarrow \varsigma = \varsigma_2 \text{ TDTP:ssa}$$

↑ neste!



52

(B) Pidetään sitten  $P = P_0$  ja muutetaan lämpötilaa:



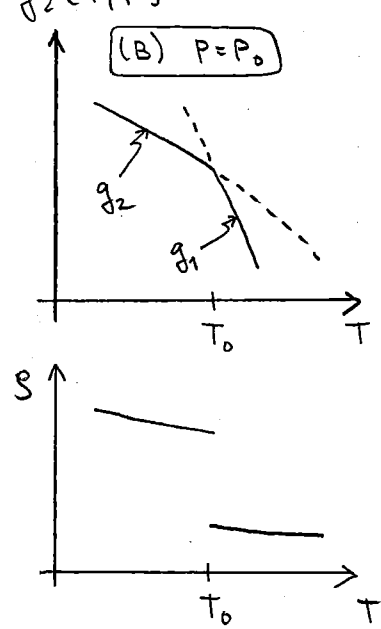
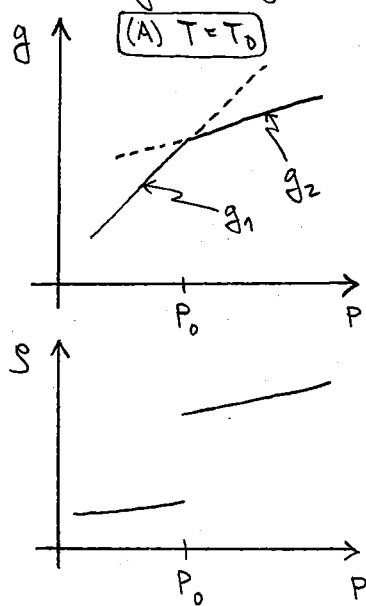
$$g_{\min} = g_2$$

$$\Rightarrow \text{TDTP:ssa } g = g_2$$

$$g_{\min} = g_1$$

$$\Rightarrow \text{TDTP:ssa } g = g_1$$

Purretaan sitten yllä  $g_1(T, P)$  ja  $g_2(T, P)$ :



Havaintoja:

- \* faasimuutospistessä vapaa energia singulaarinen, yllä  $\frac{\partial g}{\partial P}$  ja  $\frac{\partial g}{\partial T}$  epäjatkuvia = 1. kertaluvun faasimuutos

- \* tiheys  $g$  mininum epäjatkuvasti

- ; \* faasidiagrammin tulkinta:

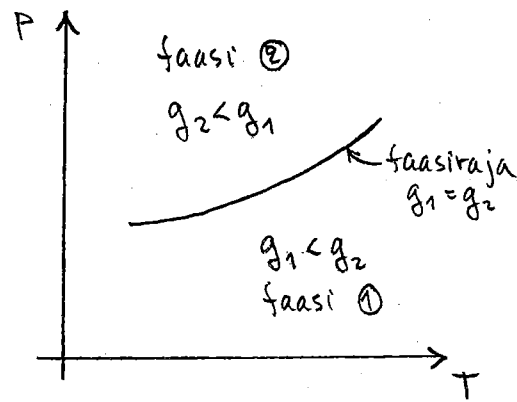
- \* Yhdistettyjä systemejä ( $N = N_1 + N_2$ )

minimoi kussakin pisteessä funktion

$$G(T, P) = N_1 g_1(T, P) + N_2 g_2(T, P)$$

joten vain faasirajalla sekä  $N_1$

että  $N_2$  voivat olla  $\neq 0$  samanaikaisesti.



### 4.3. CLAUSIUKSEN - CLAPEYRONIN YHTÄLÖ

#### Faasimuutoksen latentti lämpö

Tarkastellaan kahta faasia (1 & 2): Yksi molekyyliä kohti

$$\varepsilon_1 := E_1/N_1 \quad v_1 := V_1/N_1 \quad s_1 := S_1/N_1$$

$$\varepsilon_2 := E_2/N_1 \quad v_2 := V_2/N_2 \quad s_2 := S_2/N_2$$

Surretään yksi molekyyli faasista 1 faasin 2 yhden ollessa tasapainossa lämpötilassa  $T$  ja paineessa  $P$ , jolloin

$$\left. \begin{array}{l} \text{sistenergiaa tarvitaan määrä } \varepsilon_2 - \varepsilon_1 \\ \text{on lehtävä työtä painetta vastaan määrä } (v_2 - v_1) P \end{array} \right\}$$

$$\text{yhdessäkään merkitään: } \underline{\underline{l_{12}}} := \varepsilon_2 - \varepsilon_1 + (v_2 - v_1) P$$

Vapaan energian elostensuoritusyys  $\Rightarrow$

$$g_1(T, P) = \varepsilon_1 - TS_1 + PV_1$$

$$g_2(T, P) = \varepsilon_2 - TS_2 + PV_2$$

ja faasien ollessa tasapainossa (4.1):  $g_1(T, P) = g_2(T, P)$

$$\Rightarrow \varepsilon_1 - TS_1 + PV_1 = \varepsilon_2 - TS_2 + PV_2$$

$$\Rightarrow (\varepsilon_2 - \varepsilon_1) + P(v_2 - v_1) - T(s_2 - s_1) = 0$$

josta saamme yhden molekyylin surtawiselle

$$l_{12} = T(s_2 - s_1)$$

Makroskooppisen ainemäärän surtymiselle

$$L_{12} := T(S_2 - S_1) = T \Delta S \quad (4.3)$$

Muistaen myös, että  $dQ = TdS$  eli reversiibeleille muutokseille vakiolämpötilassa  $Q = T \Delta S$ , voimme kutsua  $L_{12}$ :ta nimellä latentti lämpö.

Huom.

- \* Surrettava lämpö suoraan mitattavissa ( $\Delta S$  mitattavissa).
- \* Esim. höyrystymislämpö.

(54)

## Faasirajan yhtälö

Faasirajalla pätee  $g_1(T, P) = g_2(T, P) \Rightarrow$

faasirajaa pitkin lükemissa  $dg_1 = dg_2$ . Edelleen

$$\left\{ \begin{array}{l} G_i = N_i g_i \Rightarrow dG_i = N_i dg_i + g_i dN_i \\ \text{f3.4: sta: } dg_i = -S_i dT + V_i dP + \underbrace{\mu_i}_{g_i} dN_i \end{array} \right. \quad (i=1,2)$$

joista vähentämällä puolittain

$$N_i dg_i = -S_i dT + V_i dP$$

$$\Rightarrow dg_i = -S_i dT + V_i dP$$

sitten jos  $(dT, dP)$  faasirajalla pysyvät (jolloin  $dg_1 = dg_2$ ) niin

$$-S_1 dT + V_1 dP = -S_2 dT + V_2 dP$$

$$(V_2 - V_1) dP = (S_2 - S_1) dT$$

$$\frac{dP}{dT} = \frac{S_2 - S_1}{V_2 - V_1}$$

Kirjoitetaan tämä makroskooppiseille määrittele molekyylejä:

$$\boxed{\left( \frac{dP}{dT} \right)_{cx} = \frac{\Delta S}{\Delta V}}$$

$$\left( \frac{dP}{dT} \right)_{cx} = \frac{L_{12}}{T \Delta V}$$

CLAUSIUKSEN-CLAPERYMONIN YHTÄLÖ  
(CDY)

(4.4)

(4.5)

↑ FAASIRAJALLA (KOKKSISTENSSIVUALLA)

Huom.

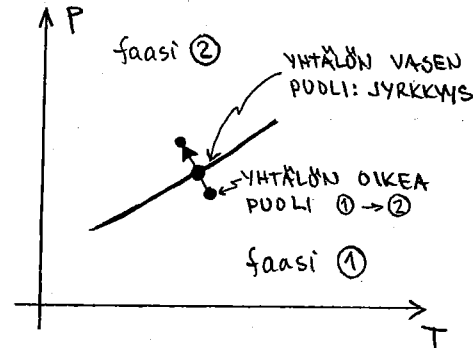
\* (4.5):ssa karkki mitattavia suureita:  $P, T, V, L_{12}$

\* Muista soveltuksessa:  $\Delta S, \Delta V, L_{12}$  koskevat samaa ainemerkkä, joka (juuri ja juuri) viedään faasirajan yli, kun taas  $\frac{dP}{dT}$  on faasirajan kulmakertoin.

\* Kirjoittamalla  $f(P, T) = \frac{S_2(P, T) - S_1(P, T)}{V_2(P, T) - V_1(P, T)}$

saamme  $\frac{dP}{dT} = f(P, T)$  eli CDY on

faasirajan eli käyrän  $P = P(T)$  differentiaaliyhtälö.



## Sovelluksia:

### 4(a) VESI

Kokeellisesti veden fasidiagrammi...

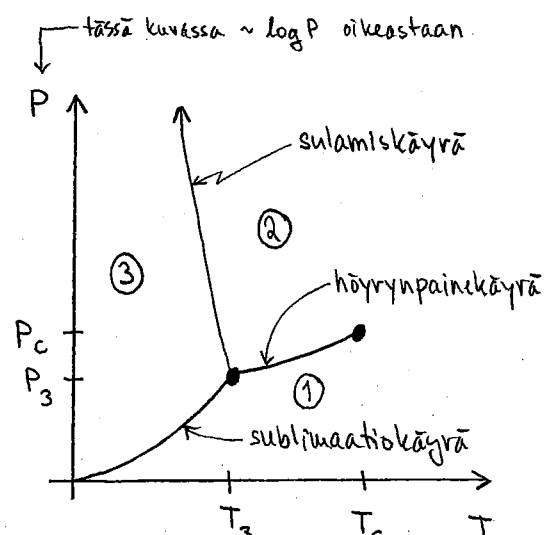
Kolme tärkeintä faasia:

- ① kaasu (usein höyry)
- ② neste ("vesi")
- ③ künteä ("jää", oikeammin jäätä I)

Fasidiagrammin erikoispisteet:

$$(T_3, P_3) = (0.01^\circ\text{C}, 0.006 \text{ atm})$$

$$(T_c, P_c) = (374.15^\circ\text{C}, 218 \text{ atm})$$



kolmoispiste

krüttinen piste

### Höyrynpainekäyrä

$$\text{d}G \Rightarrow \text{käyrän derivaatta } \frac{dP}{dT} = \frac{\Delta S}{\Delta V} \quad \left. \begin{array}{l} \text{Höyrysystäminen: aina } \Delta S > 0 \text{ ja } \Delta V > 0 \\ \text{Kuunteen } \rightarrow \text{neste: } |\Delta V| \text{ pieni } \Rightarrow \left| \frac{dP}{dT} \right| \text{ suuri} \end{array} \right\} \Rightarrow \frac{dP}{dT} > 0 \text{ o.k.}$$

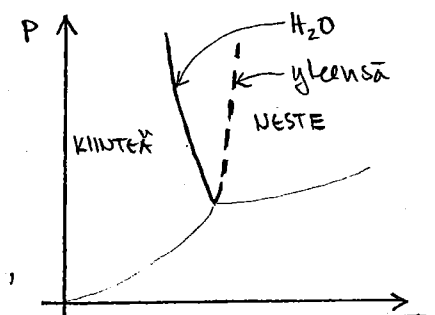
### Sulamiskäyrä

$$\text{Sulaminen = epäjärjestäminen eli } \Delta S > 0 \quad \left. \begin{array}{l} \text{H}_2\text{O:n sulaminen: } \Delta V < 0 \text{ (jää kehuu)} \end{array} \right\} \text{cor} \Rightarrow \frac{dP}{dT} < 0 \text{ o.k.}$$

Künteen → neste:  $|\Delta V|$  pieni  $\Rightarrow \left| \frac{dP}{dT} \right|$  suuri (sulamiskäyrä jyrkkä)

Huom.

- \* Useimmitte materiaaleille näiden sulassa on  $\Delta V > 0$ , jolloin  $\frac{dP}{dT} > 0$ .
- \*  $\text{H}_2\text{O}$  (ja esim.  $\text{NH}_3$ ) siihen poikkeuksellinen, mikä johtuu jäätä avoimesta kiderakenteesta.
- \* Muilla vedellä künteillä fasieikka ( $\sim 20$  kpl, korkeassa paineessa) sulamiskäyrällä  $\frac{dP}{dT} > 0$ .



Huom: Epatasapaino-faseja vieläkin enemmän.

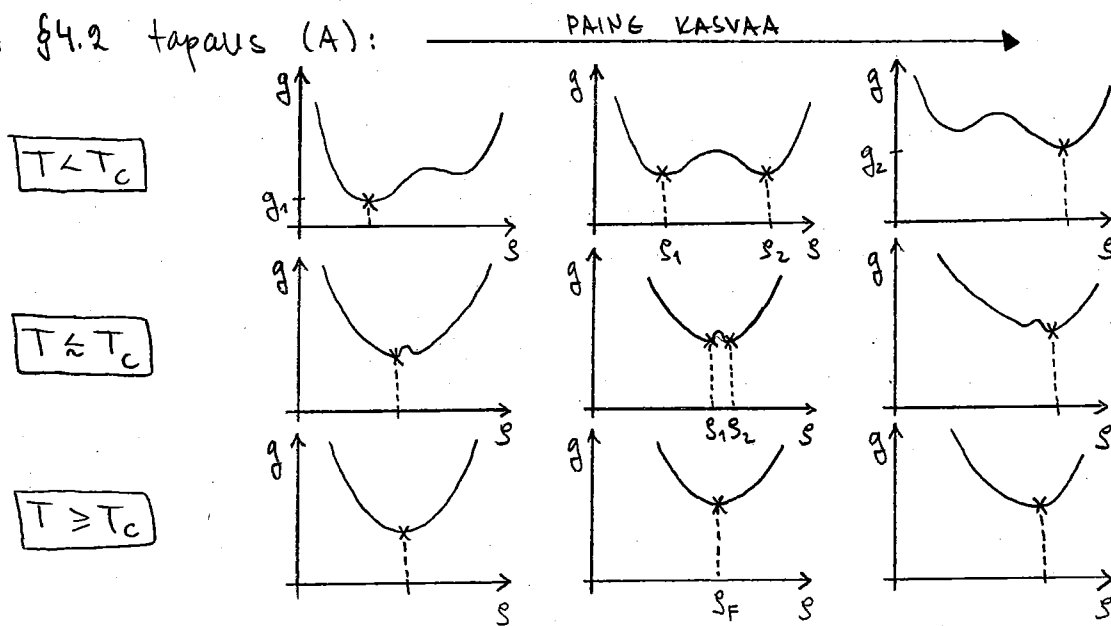
### Kolmoispiste

Kolmoispisteen määritelmä on  $g_1(T, P) = g_2(T, P) = g_3(T, P)$ .

Yksi piste  $\Rightarrow$  tästä lämpötilastandardi  $T_3^{\text{H}_2\text{O}} = 273.16 \text{ K}$ .

## Kruttinen piste

Vrt. §4.2 tapaus (A):



Kruttisen lämpötilan yläpuolella  $g$ :llä vain yksi minimi ja siihen varsi yksi "fluidi-faasi", jonka tiheys  $=: \rho_F$ .

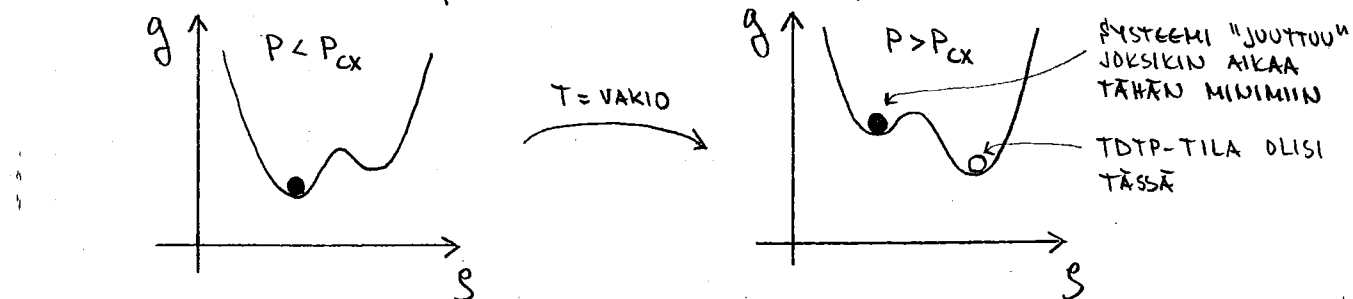
Kiertämällä  $T_c$ :n yläpuolelta voidaan sivityä kaasufaasista nestefaasin ilman terävää faasimuntosta.

Huom.

\* Kiteisen aineen sulamiskäyrällä ei ole kruttista pistettä johtuen kiteen ja nesteen symmetriaerosta.

## Metastabiilit tilat

Esim. viemällä höry nopeasti korkeampaan ulk paineesseen:



Samaanlainen tulos pudottamalla alkiä lämpötilaa: alijsähkyminen.

Tila voi olla suht pitkäikäinenkin, jos mekanismi minimistä toiseen sivtymiseen on hidas (rajapintailmiöt, ...).

Vastaavaan tapaan: ylikuumentaminen

#### 4(b) LABRATYÖ: HÖYRYNPAINTE JA HÖYRYSTYMISLÄMPO

Arkisissa oloissa ( $T \sim 300\text{K}$ ,  $P \sim 1\text{ atm}$ ) on vedelle

$$\begin{matrix} S_H \ll S_N \\ \uparrow \quad \uparrow \\ \text{HÖYRY} \quad \text{NESTE} \end{matrix} \Rightarrow \text{CCY:ssä } V_H \gg V_N \Rightarrow \Delta V = V_H - V_N \approx V_H$$

Kun  $S_H$  on pieni, pääte höyrylle approksimatisesti

$$PV_H = N_H k_B T \quad \text{oloolueissä } (T, P)$$

Siirretään nyt  $N$  molekyylitä nesteestä höyrystyn  $\Rightarrow$

$$\Delta V \approx \frac{N k_B T}{P}$$

$$\Rightarrow \text{CCY:sta tullee} \quad \frac{dP}{dT} = \frac{L_{12}}{N k_B} \frac{P}{T^2}$$

$$\Rightarrow \frac{1}{P} \frac{dP}{dT} = \frac{L_{12}}{N k_B} \frac{1}{T^2} \quad \therefore \boxed{\frac{d}{dT} \ln P = \frac{L_{12}}{N k_B} \frac{1}{T^2}} \quad (\text{i})$$

Olkoon  $(T_n, P_n)$  jokin tunnettu referenssipiste. Tällöin saamme höyrynpainekäyrän toiselle pistekelle  $(T, P)$  (i):sta

$$\ln P - \ln P_n = \ln \frac{P}{P_n} = \frac{L_{12}}{N k_B} \left( \frac{1}{T_n} - \frac{1}{T} \right) \quad (\text{ii})$$

Jos arvioidaan  $L_{12}(T) \approx \tilde{\alpha} + \tilde{\beta}/T$ , niin saamme muodon

$$\ln \frac{P}{P_n} \approx \frac{1}{N k_B} \left[ \frac{\tilde{\alpha}}{T_n} + \left( \frac{\tilde{\beta}}{T_n} - \tilde{\alpha} \right) \frac{1}{T} - \frac{\tilde{\beta}}{T^2} \right] = a + \frac{b}{T} + \frac{c}{T^2} \quad (\text{iii})$$

misä on työohjeessa "johdettu" vähän ...

Parametrit  $a, b, c$  määritetään kokeellisesta mittauksesta, jolloin (ii) on empäriinen höyrynpainekäyrän yhtälö.

Jos kolmannelle pistekelle  $(T_0, P_0)$  on  $T \approx T_0$ , niin

$$(\text{ii}) \Rightarrow \frac{L_{12}}{N k_B} = \frac{T T_0}{T - T_0} \ln \frac{P}{P_0} = \frac{T T_0}{T - T_0} \left( \ln \frac{P}{P_n} + \ln \frac{P_n}{P_0} \right)$$

$$\stackrel{(\text{iii})}{=} \dots \underset{\approx}{\underset{T \approx T_0}{\approx}} -b - 2c/T,$$

joten fitatusta käyrästä (iii) saa myös  $L_{12}(T)$ :n parametrit  $\tilde{\alpha}$  ja  $\tilde{\beta}$ .

### 4(c) FERROMAGNETTI

Yleisletaan luvun 2(b) ideaalisen paramagneettin mallia siten, että sallitaan dipolien välille vuorovaikutus:

$$E_r = E_J^{(r)} + E_B^{(r)} \quad (\text{mikrotilassa } r)$$

missä

$$E_J^{(r)} = \sum_{\text{PARIT}} (\pm J) \quad \left\{ \begin{array}{l} \boxed{\uparrow\uparrow} \text{ tai } \boxed{\downarrow\downarrow} \Rightarrow -J \\ \boxed{\uparrow\downarrow} \text{ tai } \boxed{\downarrow\uparrow} \Rightarrow +J \end{array} \right.$$

$$E_B^{(r)} = \sum_{\text{DIPOLIT}} (\pm \mu_B) \quad \left\{ \begin{array}{l} \uparrow \Rightarrow -\mu_B \\ \downarrow \Rightarrow +\mu_B \end{array} \right.$$

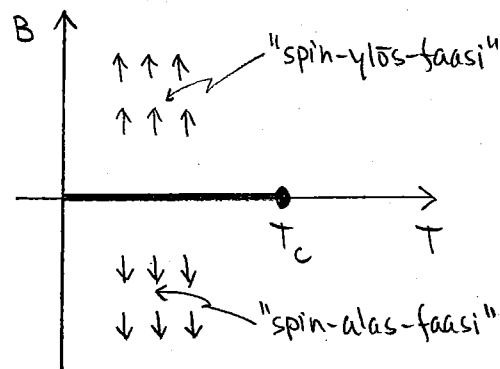
Ferromagneteille  $J > 0 \Rightarrow$  edullista kaantaa vuorovaikuttavat dipolit samansuuntaisiksi

Vuorovaikutuksesta on tyypillisesti lyhyekkä kantama.

#### Faasidiagrammi

Systeemi voi järjestyä silloinkin,  
kun  $B = 0$ , kunhan  $T < T_c$ .

Ferromagneettin krüttistä lämpötilaan  $T_c$   
kutsutaan myös Curie-lämpötilaksi.



$T < T_c \Rightarrow$  terava faasimuntos  $\uparrow$ - ja  $\downarrow$ -faasien välillä  
(saadaan aikaan kaantamalla  $B$ :n suunta)

$T > T_c \Rightarrow$   $\uparrow$ -makrotilasta  $\downarrow$ :aan pohjasta ( $\approx$  paramagn!)

#### Magneetti-fluidi-analogia

Faasidiagrammien samankaltaisuus:

$$T \leftrightarrow T$$

$$B \leftrightarrow P$$

$$|M| \leftrightarrow |S_N - S_H|$$

spin-ylös-faasi  $\leftrightarrow$  neste

spin-alas-faasi  $\leftrightarrow$  höyry

## Termodynamiainen potentiaali

Magneettiselle systeemille  $F = E - TS$ . Koska tilavuus ei ole myös tärkeää suure, on

$$\text{TDTP:ssa } F = F(T, B, N) \Rightarrow f = \frac{F}{N} = f(T, B)$$

$$\text{ETP:ssa } f = f(T, B; m)$$

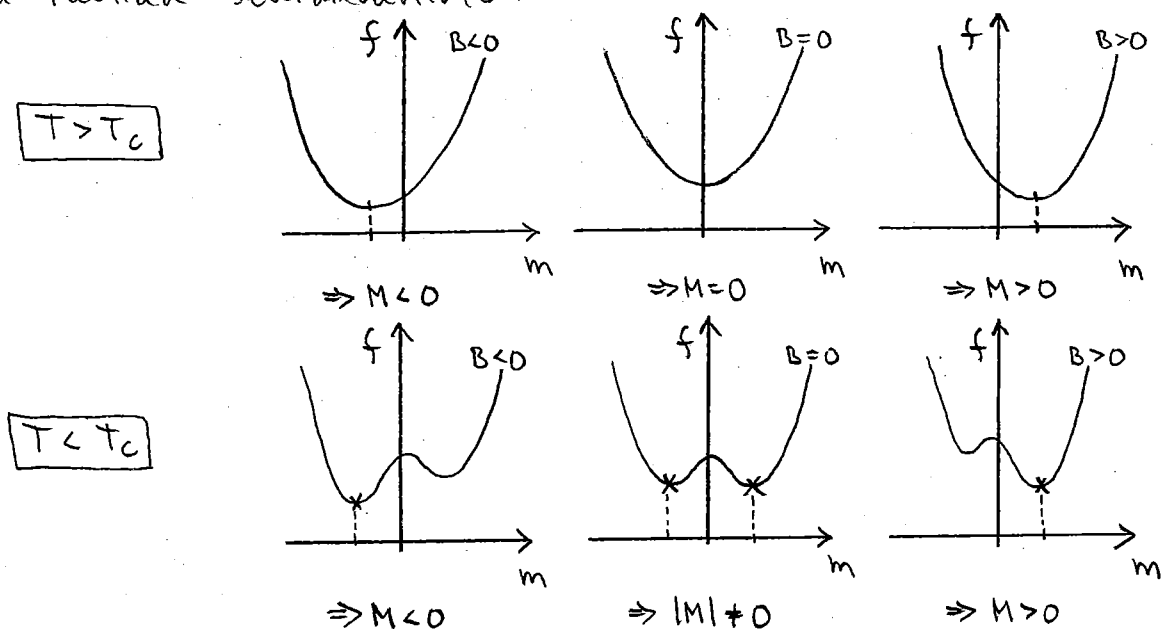
↑ MAGNEETINEN MOMENTTI / DIPOLI

Päätehtävän myötä  $f$ -in muoto: Symmetria  $\Rightarrow f(T, 0; m) = f(T, 0; -m)$   
ja lisäksi kenttä  $B$  tuo energiatermin  $-Bm$  eli

$$f(T, B; m) \approx a_0 + a_2 \underbrace{(T-T_c)m^2}_{\substack{\text{symmetria} \\ \text{parilliset potenssit}}} + a_4 m^4 - Bm \quad \begin{pmatrix} a_0 > 0 \\ a_2 > 0 \\ a_4 > 0 \end{pmatrix}$$

↑ tällä "tuplakuoppa" kun  $T < T_c$

mikä tuottaa seuraavanlaista



Nyt varamme laskeutumisen jatkamin:

$T \gg T_c$   
 $B/T \ll 1$   
 $|m| \text{ pieni}$

$$\text{TDTP:ssa } f \rightarrow f_{\text{min}} \text{ eli } \frac{\partial f}{\partial m} = 0 \quad \left. \right\} \Rightarrow 2a_2 T m = B$$

$$\Rightarrow m = \frac{a_1}{2a_2} \frac{B}{T}$$

$$\Rightarrow \chi \propto \frac{\partial m}{\partial B} \propto \frac{1}{T} \quad \text{vrt. sivu 33 Curien laki}$$

∴ tällä rajalla paramagneettinen

(60)

Toinen erikoistapaus:

$$B=0 \quad \frac{\partial f}{\partial m} = 2a_2(T-T_c)m + 4a_4m^3 = 0$$

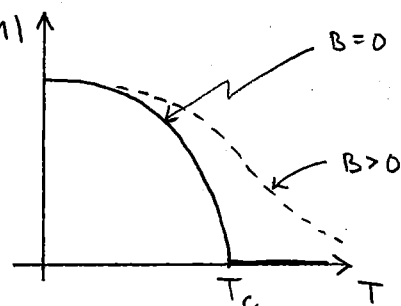
$$\Leftrightarrow [a_2(T-T_c) + 2a_4m^2]m = 0$$

$$\text{J. TDTP:ssa } m = \begin{cases} \pm \sqrt{\frac{a_2}{2a_4}} (T_c-T)^{1/2}, & T < T_c \\ 0 & \text{minimi kun } T > T_c \end{cases}$$

Järjestyksen mittari:  $|M| \uparrow$

$$(M \propto m_{\text{TDTP}})$$

Huom.



- \* Tämän tyypistä fin pääkeltävissä olevien symmetrioiden perustuva sarjakehitelmä kutsutaan faasimutosten Landau teoriaksi.
- \* Kruunisen pisteen lähekkä havaitaan universaalia käytäytymistä hyvin eri tyypissä systeemeissä, esim

$$\text{MAGNETTI: } m \sim (T_c - T)^{0.33} \quad \chi \sim |T - T_c|^{-1.24} \quad (D=3)$$

$$\text{FLUIDI: } g_N - g_H \sim (T_c - T)^{0.33} \quad \tau \sim |T - T_c|^{-1.23} \quad (D=3)$$

Yksinkertainen Landau teoria antoi yhä  $m \sim (T_c - T)^{1/2}$ , mikä pääsee tiettyissä erikoistapauksissa.

- \* Edellä esitelty faasimutosten TD teoriaa. Tämän aiheen SM teoria on vaikea (jatkokurssi: MOKA), mutta todetaan sitä että vapaalla energialla  $f = -\frac{k_B T}{N} \ln Z$  voi olla singulariteetteja vain ns. termodynamiikka rajalla  $N \rightarrow \infty$ , koska muuten Z on vain äärellinen summa "systeemien"  $e^{-E_i/k_B T}$ -termuja. Kokeellisesti singulariteetit (teravat transitiot) ja niiden seuraukset havaitaan, koska tyypillisesti  $N \sim 10^{20}$  = PALJON.

#### 4(d) LABRATÖÖ: ISING-MALLIN MONTE CARLO - SIMULAATIO

##### Ising-malli

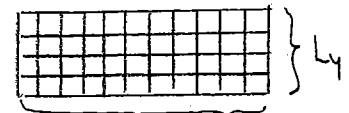
Olkoon  $N$  kpl spin- $\frac{1}{2}$ -dipoleja, joiden tilaa kuvaavutteeklassistyyppisillä muuttujilla  $S_i = \pm 1$  ( $i=1,2,\dots,N$ ), joiden muodostaman systemmin mikrotilan  $r = (S_1^{(r)}, S_2^{(r)}, \dots, S_N^{(r)})$  energia on muotoa

$$E_r = - \sum_{i=1}^N \sum_{j=i+1}^N J_{ij} S_i^{(r)} S_j^{(r)} - \mu B \sum_{i=1}^N S_i^{(r)}$$

kukin pari  
kerran

ISING-MALLI

Olettaamalla, että kukin "spin"  $i$  asuu yhdessä kaksikotien sen neljänneksellä pisteessä ja että kukin spin vuorovaikuttaa vain läheisyytensa kanssa:



$$\begin{aligned} E_r &= -J \sum_{x=1}^{L_x} \sum_{y=1}^{L_y} [S_{x,y}^{(r)} S_{x,y+1}^{(r)} + S_{x,y}^{(r)} S_{x+1,y}^{(r)}] - \mu B \sum_{x=1}^{L_x} \sum_{y=1}^{L_y} S_{x,y}^{(r)} \\ &=: -J \sum_{\langle i,j \rangle} S_i^{(r)} S_j^{(r)} - \mu B \sum_{i=1}^N S_i^{(r)} \end{aligned}$$

merkintä: summa yli läheisyyden parien

Tämä on kaksikotinen Ising-malli neljänneksessä.

Ferromagneettisessa tapauksessa ( $J>0$ ) sen fooragraavidarvut on kuten luvussa 4(c) ja  $\sinh \frac{2J}{k_B T_c} = 1 \Rightarrow T_c \approx 2.2692 \text{ J}/k_B$ .

##### Monte Carlo -simulointi

Ising-mallin ja muiden voimakkaasti vuorovaikuttavien systemmien partitiofunktion  $Z$  ja vapaan energian  $F = -k_B T \ln Z$  laskeminen on vaikeaa. Täkä kurssilla anta jätetoänkin Helsinkilähetystön lehtiväksi. Tässä tietää seuraava algoritmi:

(0) JOKIN ALKUTILA

(1) VALITAAN SATUNNAISESTÄ JOKIN SPIN

(2) KÄÄNNETÄÄN SITÄ TODENNÄKÖISYYDELLÄ  $w = \min\{1, e^{-\Delta E_r/k_B T}\}$

(3) PALATAAN KOHTAAN (1)

missä  $\Delta E$  on spinin kaännotusta aiheutuva energian muutos.

(62)

Algoritmin perustelu:

Olkoon suuri joukko systeemien kopiointa. Kummakin hetkellä on  $v_r$  kopioita tilassa r

$\mu_{rs}$  kopioita yrittämässä tilasta r tilaan s

$\mu_{rs} w_{rs}$  kopioita onnistumassa yrittyessään

Olkoon valittu surittyötodennäköisyys

$$w_{rs} = \begin{cases} 1 & , \text{ kun } E_r \geq E_s \\ e^{-\beta(E_s - E_r)} & , \text{ kun } E_r < E_s \end{cases} \quad (*)$$

Luonnollisesti on  $\mu_{rs} = c v_r$  ( $c = \text{VAKIO}$ )

Aika kulun  $\Rightarrow$  pysyvä tila, jossa  $\mu_{rs} w_{rs} = \mu_{sr} w_{sr}$

$$c v_r w_{rs} = c v_s w_{sr} \stackrel{(*)}{\Rightarrow} \frac{v_r}{v_s} = \frac{e^{-\beta E_r}}{e^{-\beta E_s}}$$

$\therefore$  Algoritmi vie kohti Boltzmann-jakaumaa.

Huom.

\* Algoritmin perustelu yltää ei ole aukoton, mutta sisältää osan matematiikan todistuksen perusideoidista.

#### H(e) MUITA FAASIMUUTOKSIA (jos aikaa jää)

Esimerkkejä luvun 84 periaatteesta: Siivulla ④ marinituja ja muita (mm. perkolaatio ja dynaamiset kriitiset lämpötilat) faasimuutoksia TDTP:ssa ja ETP:ssa.

Huom.

\* Ising-mallilla voidaan kuvarata myöskinkin magneettista järjestymistä (esim. pintafysikka).

1. välikoe

KOKEESSA EI KYSELLÄ SELLAINAAN SOVELLUKSIA  
1(d), 2(d), 3(b-d), 4(b-e)

MUITA KANNATTAA KUINTAICIN VILKAISTA, KOSKA NE VALOTTAVAT SM:N JA TD:N KESKEISIÄ PERIAATEITA JA NIIDEN SOVELTAMISTA.

## 5. YKSI SOVELLOS TARKEMMIN: KIDEVÄRÄHTELYT

### 5.1. SELITETTÄVÄT KOKEELLISET HAVAANNOT

Küntekän aineen lämpökapasiteetti  $C = C(T)$ .

Kokeellisesti:

(i) Dulongin-Petit'n laki (1819):

Tyypillisesti  $T \approx 300$  K:ssa  $\frac{C}{\text{atomi}} \approx 3k_B$

eli yleistavaiselle johtelelle  $C \approx 3R/\text{mol} \approx 24.9 \text{ J/K mol}$

Esim:	Al	Au	Cu	S	$C_{\text{DIA}}$
	24.4	25.4	24.5	22.7	6.1

(ii) Matalassa lämpötilassa  $C_V \propto T^3$

(iii) Hyvin matalassa lämpötilassa johttelelle  $C_V \propto T$

Esim: Kulta (Au): 
$$\left[ \frac{C_V}{N} = 8T + \alpha T^3 \quad (T \ll \Theta_D = 165 \text{ K}) \right]$$

$$8 \approx 8.2 \times 10^{-5} \text{ k}_B/\text{K}$$

$$\alpha \approx 4.6 \times 10^{-5} \text{ k}_B/\text{K}^3$$

MATERIAALIKOHTAISIA  
PARAMETREJÄ

Huom.

\* Dulongin-Petit'n laki ei voi päättää  $T=0$ :aan saakka:

$$\left\{ \begin{array}{l} S(T=0) \stackrel{\text{(III)}}{=} 0 \\ S(T) - S(0) = \int_0^T C_V(T) \frac{dT}{T} \end{array} \right.$$

$$\Rightarrow \text{On oltava } \lim_{T \rightarrow 0} C_V(T) = 0$$

(vielätkin nopeasti)  
(että integraali suppenee)

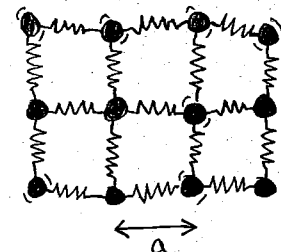
Samaan tapaan  $\lim_{T \rightarrow 0} C_p(T) = 0$ .

\* SM:ssa kolmas paasäntö liittyy tilojen diskreettien luonteseen ( $g(E_1)=1$ )  $\longleftrightarrow$  kvantimekanikkoon

\* Eristeille  $\gamma = 0$   
johteleille  $\gamma > 0$

$\Rightarrow$  TERMI  $C_V \propto T$  johtavuuselektronista  
 $C_V \propto T^3$  kidevärähdyystä

\* Teoriat: Einstein (1907) & Debye (1912) ...



## 5.2. EINSTEININ MALLI

Oletus: Kukin kiteen atomi värähtelee muista röppumatta.

Pienille värähtelyille potentiaali  $\propto$  harmoninen

$$U(\vec{x}) = U_0 + \frac{1}{2} u_2 x_1^2 + \dots$$

Kullakin atomilla 3 värähtelysuuntaa (3D kide)

Lisäoletus: kullekin suunnalle sama  $u_2$

∴ 3N röppumatonta harmonista värähtelijää  
kunkin kulumataajus  $=: \omega_E$

"Einsteinin malli"

Kvantimekanikka  $\Rightarrow$  kullakin diskreetit energiatilat (0.ä)

$$\varepsilon_r = (r + \frac{1}{2}) \hbar \omega_E, \quad r = 0, 1, 2, \dots$$

Röppumattomus  $\Rightarrow$  voidaan tarkastella yhtä värähtelijää

tampoteknillisesti (muut kiteen vapausasteet):

$$Z_1 = \sum_{r=0}^{\infty} e^{-\beta \varepsilon_r} = \sum_{r=0}^{\infty} \exp [-(r + \frac{1}{2}) \beta \hbar \omega_E] \quad (\beta = \frac{1}{k_B T})$$

$$= e^{-x/2} \sum_{r=0}^{\infty} e^{-rx} = e^{-x/2} \sum_{r=0}^{\infty} (e^{-x})^r = \frac{e^{-x/2}}{1 - e^{-x}}$$

$$x := \beta \hbar \omega_E$$

geometrisen sarja:

$$\sum_{r=0}^{\infty} t^r = (1-t)^{-1}, \text{ kun } |t| < 1$$

Yhden värähtelijän energia on siten (2.11):sta

$$\langle \varepsilon \rangle = - \frac{\partial}{\partial \beta} \ln Z_1 = - \frac{dx}{\partial \beta} \frac{\partial}{\partial x} \ln Z_1 = \hbar \omega_E \left[ \frac{1}{2} + \frac{1}{e^{x/2} - 1} \right]$$

josta koko kiteelle

$$E = \langle E \rangle = 3N \langle \varepsilon \rangle = 3N \hbar \omega_E \left[ \frac{1}{2} + \frac{1}{e^{\beta \hbar \omega_E} - 1} \right]$$

$$C_V = \left( \frac{\partial E}{\partial T} \right)_V = \frac{d\beta}{dT} \frac{\partial E}{\partial \beta} = \frac{d\beta}{dT} \frac{dx}{d\beta} \frac{\partial E}{\partial x} = \dots$$

Tulos on tapana esittävä muodossa

$$C_V(T) = 3Nk_B \frac{x^2 e^x}{(e^x - 1)^2}, \quad x = \frac{\Theta_E}{T}$$

missä  $\Theta_E = \hbar\omega_E/k_B$  on ns. Einsteinin lämpötila.

Sits:  $C_V$  = funktio, jossa yksi sovitusparametri  $\Theta_E$ .

Rajat:

$$(i) \underline{T \gg \Theta_E} \Rightarrow x \ll 1 \Rightarrow e^x \approx 1 + x$$

$$\Rightarrow C_V \approx 3Nk_B \frac{x^2 (1+x)}{(1-x-1)^2} = 3Nk_B (1+x) \stackrel{x \ll 1}{\approx} 3Nk_B$$

$\therefore$  Dulong-Petit o.k.

$$(ii) \underline{T \ll \Theta_E} \Rightarrow \text{niuittajassa } e^x \gg 1$$

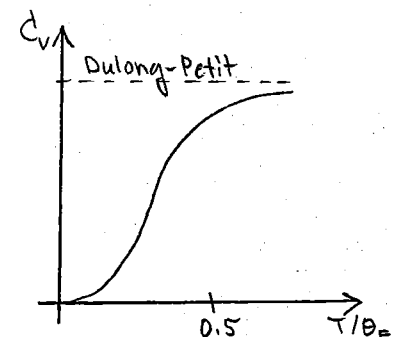
$$\Rightarrow C_V \approx 3Nk_B \frac{x^2 e^x}{e^{2x}} = 3Nk_B \left(\frac{\Theta_E}{T}\right)^2 e^{-\Theta_E/T} \xrightarrow{T \rightarrow 0} 0$$

$\therefore$  TD III o.k. mutta  $C_V \propto T^3$  ei!

Esim.

Einstein 1907: Timantille  $\Theta_E = 1325$  K,

joten timanti ei vielä komeentilamössä toteuta Dulongin-Petit'n lakiä.



Huom.

\* Todellisuudessa vähänkäyt eli vät ole rippumattomia vaan kytkettyjä  $\Rightarrow$  normaalimoodit  $\omega_\alpha$  (mekanikan kurssi ?).

Normaalimooditkin voidaan kvantitaa (materiaalifysikan kurssi)

$$\epsilon_\alpha = (n_\alpha + \frac{1}{2}) \hbar \omega_\alpha; \quad \alpha = 1, 2, m, 3N; \quad n = 0, 1, 2, m$$

ja soveltaa SM:aa kuhunkin mooditn  $\Rightarrow$

$$E = \sum_{\alpha=1}^{3N} \langle \epsilon_\alpha \rangle = \dots \text{ (KUTEN YLLÄ)}$$

Normaalitaajuuksien  $\omega_\alpha$  määritäminen on työlästä; yritetään torsta kautta m

(66)

### 5.3. TILOJEN TIHEYS

Tarkastellaan (elastisia) selsovia aaltoja:  $\phi = \phi(x)$

**1-dim** värähtelevä kielis

$$\frac{d^2}{dx^2} \phi(x) + k^2 \phi(x) = 0$$

$$\left. \begin{array}{l} \phi(0) = 0 \\ \phi(L) = 0 \end{array} \right\} \Rightarrow \phi(x) = A \sin kx, \quad k = \frac{\pi}{L} n \quad (n \in \mathbb{Z})$$

$\Rightarrow$  diskreetti värähtelyspektri

( $n=0$  ei värähtelyjä)

$$n=+1 \text{ o.k.}$$

$$\rightarrow k = \frac{\pi}{L}$$

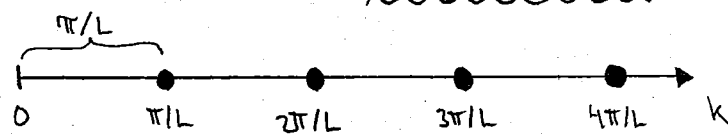
$$(n=-1 \text{ sama kuin } n=+1)$$

$$n=+2 \text{ o.k.}$$

$$\rightarrow k = \frac{2\pi}{L}$$

:

$\therefore$  Eri  $k$ :n arvot pisteinä  $k$ -avaruudessa:



$$\text{TILOSEN TIHEYS} = \frac{1 \text{ TILA}}{\pi/L} = \frac{L}{\pi}$$

**3-dim** laatikkomainen kappale  $V=L^3$  ja  $\nabla^2 \phi + k^2 \phi = 0$

$$\phi(x_1, x_2, x_3) = A \sin k_1 x_1 \sin k_2 x_2 \sin k_3 x_3$$

$$\text{kuten edellä: } k_1 = \frac{\pi}{L} n_1, \quad k_2 = \frac{\pi}{L} n_2, \quad k_3 = \frac{\pi}{L} n_3$$

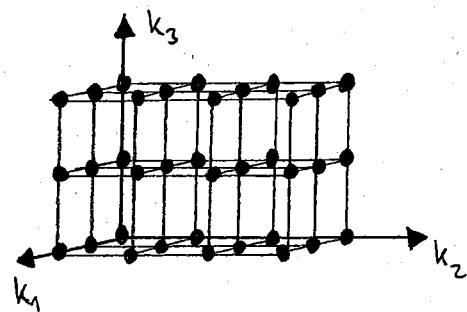
missä tosistaan röppumatta  $k_1, k_2, k_3 = (0, 1, 2, 3, \dots)$

$\therefore$  Pisteinä  $\vec{k}$ -avaruudessa:

$$\vec{k} = (k_1, k_2, k_3)$$

Rajottuminen arvoihin  $k_i > 0$ :

"1. oktaanti"



$$\text{Tilojen tiheys } \vec{k}\text{-avaruudessa} = \frac{1 \text{ TILA}}{(\pi/L)^3} = \frac{V}{\pi^3}$$

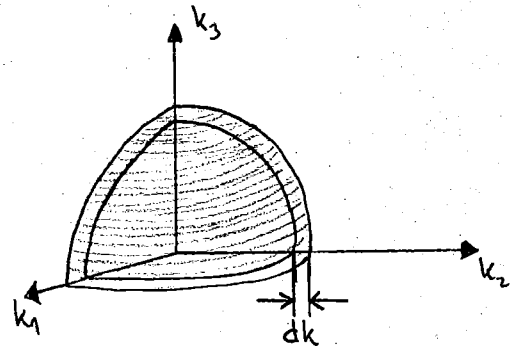
Oletukset: Elastiset (kimmo) aakkot, joille  $\varphi = \frac{dw}{dk} = w/|\vec{k}|$  ja suuntaritppuvuus muutenkin "unohdettavissa" eli esim  $\varepsilon = \varepsilon(|\vec{k}|)$ .

Siten meitä kiinnostaa  $\vec{k}$ :n pituus  $|\vec{k}| = \sqrt{k_1^2 + k_2^2 + k_3^2}$

Kysymys: Paljonko  $\vec{k}$ -avaruudessa on  $\vec{k}$ -tiloja, joille  $\vec{k}$ :n pituus on välillä  $[k, k+dk]$ ?

Ohuen pallokuoren tilavuus on

$$\begin{aligned} \frac{4}{3}\pi(k+dk)^3 - \frac{4}{3}\pi k^3 &= \\ &= \frac{4}{3}\pi [k^3 + 3k^2 dk + 3k(dk)^2 + (dk)^3 - k^3] \\ &= \underbrace{4\pi k^2}_{\text{ala x paksuus}} \underbrace{dk}_{dk} \end{aligned}$$



Tästä 1. oktaatti :  $\frac{1}{8} \times 4\pi k^2 dk = \underbrace{\frac{\pi}{2} k^2 dk}_{1.\text{ oktaatin kuoren tilavuus}}$

Siten sellaisia pistekä  $\vec{k} = (\frac{\pi}{L} n_1, \frac{\pi}{L} n_2, \frac{\pi}{L} n_3)$ , joille  $|\vec{k}| \in [k, k+dk]$ , on kaikkiaan

tilavuus x tiheys =  $\frac{\pi}{2} k^2 dk \times \frac{V}{\pi^3}$  kappaletta;

merkitään

$$f(k) dk = \frac{V}{2\pi^2} k^2 dk \quad (5.1)$$

ja välillä  $[w, w+dw]$  taajuuskäsiin lukeutuva on sitten

$$f(w) dw = \frac{V}{2\pi^2 w^3} w^2 dw \quad (5.2)$$

Huom.

↑ siitä ettei  $k^2 dk = (\frac{w}{\varphi})^2 \frac{dk}{dw} dw$

\* Diskreetit  $\vec{k} \Rightarrow$  (5.1) pätee vain kun  $|\vec{k}| \gg \frac{\pi}{L}$ .

\* Funktio  $f$  yhtälöissä (5.1) ja (5.2) on siis eri funktio.

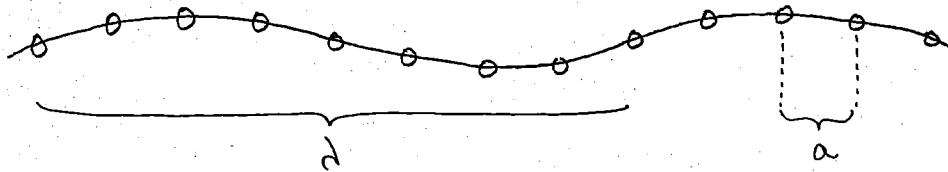
Kyseessä on vain standardi merkintä.

\* Tulosta (5.1) tarvitaan usein - sekä talki että monilla mulla kursseilla.

\* Vrt. myös diskretoituminen (0.1).

## 5.4. DEBYEN MALLI

Tässä mallissa korvataan normaalimoodit §5.3:n kuvioilla, minkä tulisi tormivan ainakin kun  $\lambda \gg a$  (eli  $|\vec{k}| \ll \frac{\pi}{a}$ ):



Toisaalta on ilmeistä, että  $\lambda_{\min} = 2a \Rightarrow$  taajuuksilla jokin yläraja  $=: \omega_D$ . Määritellään pa se ehdolla

$$\text{TAAJUUKSILN LKM} = \left[ \int_0^{\omega_D} f(\omega) d\omega = 3N \right] \quad (*)$$

Kaksi poikittaisista ja yksi pitkittäisestä mudi  $\Rightarrow$  määritellään

$$\frac{3}{\bar{V}^3} := \frac{1}{V_{\perp}^3} + \frac{1}{V_{\parallel}^2}$$

ja oletetaan, että  $\bar{V}$  ei riipuu  $\omega$ :sta (ei dispersioita)  $\Rightarrow$

$$f(\omega) d\omega = 3 \frac{V w^2 d\omega}{2\pi^2 \bar{V}^3} \quad (**) \quad \begin{matrix} \text{(SIS MOODEJA ON)} \\ \text{3 X TIEHMMÄSSÄ!) } \end{matrix}$$

Yhtälöt (\*) ja (\*\*) perustuvat "Debyen malli".

Syöletään nyt tämä mali \$Min koneistoon ...

$$\left. \begin{matrix} (*) \\ (**) \end{matrix} \right\} \Rightarrow \frac{3V}{2\pi^2 \bar{V}^3} \int_0^{\omega_D} w^2 dw = 3N \Rightarrow 6\pi^2 \frac{N}{V} \bar{V}^3 = \omega_D^3$$

$$(**) \Rightarrow f(\omega) = \frac{9N}{\omega_D^3} \omega^2 \quad (***)$$

Kiteen energia

$$E = \langle E \rangle = \sum_{\alpha} \langle \epsilon_{\alpha} \rangle = \sum_{\alpha} \hbar \omega_{\alpha} \left[ \frac{1}{2} + \frac{1}{e^{\beta \hbar \omega_{\alpha}} - 1} \right]$$

↑  
partiklofunktio ja  $\langle \epsilon \rangle$  mukien  
värähtelijätte laskettien jo §5.2:issa

$$\xrightarrow[\text{INTEGRAALIKSI}]{\text{SUMMA}} \int_0^{\omega_D} f(\omega) \hbar \omega \left[ \frac{1}{2} + \frac{1}{e^{\beta \hbar \omega} - 1} \right] d\omega \quad (****)$$

Integraalia (\*\*\*) emme osaa laskea, mutta pääsemme silti eteenpäin

$$E = \frac{9N}{\omega_0^3} \frac{\pi}{2} \cdot \frac{1}{4} \omega_0^4 + \underbrace{\frac{9N}{\omega_0^3} \frac{\pi}{2} \int_0^{\omega_0} \frac{\omega^3 dw}{e^{\beta \omega} - 1}}_{\frac{1}{\beta^3 \pi^3} \cdot \frac{1}{\beta \pi} \int_0^{x_0} \frac{x^3 dx}{e^x - 1}}$$

Merkkisemällä  $x_0 = \frac{\pi \omega_0}{k_B T} = \frac{\Theta_0}{T}$ , missä  $\Theta_0 = \text{Debye-lämpötila}$

$$E = \frac{9}{8} N k_B \Theta_0 + \frac{9 N k_B \Theta_0^4}{\Theta_0^3} \int_0^{\Theta_0/T} \frac{x^3 dx}{e^x - 1}$$

Rajat:

(i) Korkeassa lämpötilassa Dulong-Petit, koska  $\langle E \rangle$  on suurena yli taajuusten  $\omega_x$ , joista kukaan antaa tähän rajalla  $k_B$ :n  $\therefore C_V \approx 3N k_B$  kun  $T \gg \Theta_0$ .

(ii) Matalassa lämpötilassa  $T \ll \Theta_0 \Rightarrow$  korvataan

$$\int_0^{\Theta_0/T} \approx \int_0^{\infty} \frac{x^3 dx}{e^x - 1} = \frac{\pi^4}{15}$$

↑ Mandel Appendix A

$$\Rightarrow E \approx \text{VAKIO}_1 + \text{VAKIO}_2 \times T^4 \quad \therefore C_V = \left(\frac{\partial E}{\partial T}\right)_{V,N} \propto T^3$$

TÄTÄ HAIMMEKIN!

Huom.

\* Debyen mallin "fysikkä" tulee sittä, että  $f(\omega) \propto \omega^2$ .

\* Malli näyttäisi toimivan. Syy:

(i) Korkeassa T:ssa Dulong-Petit tulee väärinkin

(ii) Matalassa T:ssa vain termit, joille  $\omega_x$  on pieni, ovat merkittäviä. Näille taas  $\lambda$  on suuri, jolloin kiimoaaltoappröksimaatio on oik. }  
⇒

Rajoilla (i) & (ii) eksakti, muualla interpolatio.

## Reunahuomautuksia

- \* Debyen mallin rajaat Cville voi katsoa eksaktiminkin:

$$C_V = \left(\frac{\partial E}{\partial T}\right)_V = \dots = 3Nk_B \frac{3}{x_D^3} \left( \int_0^{x_D} \frac{x^4 e^x dx}{(e^x - 1)^2} \right) \text{ jne.}$$

- \* Debye-lämpötiloja: 

Al	Cu	CdIa
380 K	310 K	1950 K

- \*  $\theta_D \leftrightarrow$  kiimoaaltojen nopeus  $\bar{v}$

fittaa malla  
koetulokseen  
 $C_V(T)$ lle

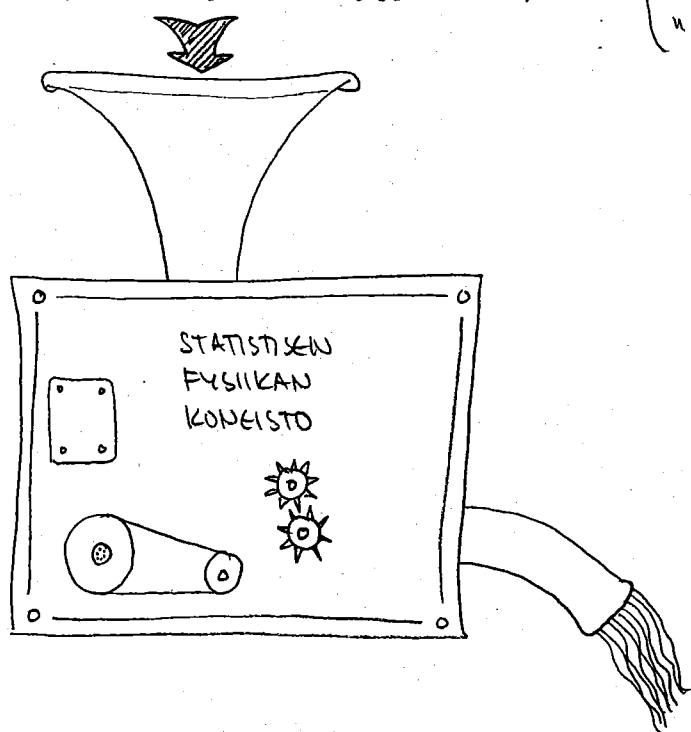
myös  
kokeellisesti  
mitattavissa

$\Rightarrow$  parametrisotati  $6\pi^2 N \bar{v}^3 = \omega_D^3$  kokeellisesti testattavissa  
ja osottautuu metalleilla varsin tarkaksi !

- \* Einsteinin ja Debyen mallit ovat tyypillisä esimerkkejä statistisen mekanikan soveltamisesta:

SIMPPELI MIELIKUVA ILMIOSTA MIKROTASOLLA  
FYSIKAALINEN INTUITIO: MITÄ OLEELLISTA?

"jokin vähätelee"  
"jokin pyörii"  
"nuoli kaantyylee"



Valkkei kvantimechanikan formula: koneisto tässä näytän,  
tarvitaan sitä malleja rakennettaessa (esim. harju värähtelijä).

## 6. KLASSINEN IDEALIKAASU

Kokeellisesti:

Harva ja kuuma klassinen kaasu  $\Rightarrow PV = Nk_B T$

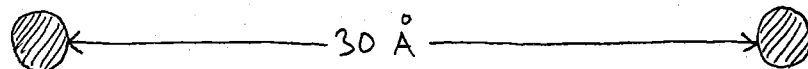
HELPSTI MITATTAVIA  
(vrt. klass. mekanikkia)

$\Downarrow$   
T tulee määritykseen (ideaalikaasun lämpötilasta)

"Ideaalikaasu": lähes pistemäistä hiukkasia  
vv-potentiaalin kantama "lyhyt"

"Harva" kaasu: normaalioloissa esim.

3 Å  
↔



$$\Rightarrow \frac{V}{V} \sim \frac{(3\text{\AA})^3}{(30\text{\AA})^3} \sim 1/1000$$

mmissakin normaalioloissa harva = ?

"Kuuma" ja "klassinen": selitys myöhempin

### 6.1. KINEETTINEN KAASUTEORIA (alkieet tuttuja peruskurssilta)

kysyy: mitä kaasussa tapahtuu?

\* molekyylien liike-energia

$$E_{tr} = \sum_{i=1}^N \frac{1}{2} m v_i^2 = \frac{1}{2} N m v_{rms}^2$$

\* paine  $\leftarrow$  törnäily astian seinän

$$P = F/A$$

jolloin astialle, jonka tilavuus on V, saadaan

$$PV = \dots = \frac{1}{3} N m v_{rms}^2 = \frac{2}{3} E_{tr} \quad \xrightarrow{PV=Nk_B T}$$

tulkinta: ideaalikaasulle lämpötila  $\longleftrightarrow$  keskim. liike-energia atomi

$$E_{tr}(T) = N \cdot \frac{3}{2} k_B T$$

\* törnäykset  $\longrightarrow$  kuljetuskertoimet (ei tähän kurssilla)

## 6.2. PARTITIFUNKTIO

Ideaalikaasun  $P$  ja  $T \xleftarrow{??}$  muiden systemien  $P$  ja  $T$ .

Haluamme teorian, joka perustuu yleisille lämpötilan ja muiden TD suureiden maantielinille (§ 9.1-9.2)  $\Rightarrow$  otetaan lähdekohtaksi näistä johtettu Boltzmann-jakaus (§ 2.3).

Valmistelua: Rüppumattomat osasysteemit

Koostukoon järjestelmää kahdesta toristaan rüppumattomasta ja tunnistettavissa olevasta osasta (1) ja (2), jolloin

$$E_r = E_r^{(1)} + E_r^{(2)}$$

yhdisketyn systemin mikrotilalle  $r$

$$Z = \sum_r e^{-\beta E_r} = \sum_r e^{-\beta E_r^{(1)}} e^{-\beta E_r^{(2)}}$$

Jos nyt  $r = (s_1(r), s_2(r))$ , niin rüppumattomuudesta seuraa

$$E_r = E_{s_1(r)}^{(1)} + E_{s_2(r)}^{(2)}$$

$$\Rightarrow Z = \sum_{s_1} \sum_{s_2} e^{-\beta E_{s_1}^{(1)}} e^{-\beta E_{s_2}^{(2)}} = \underbrace{\left[ \sum_{s_1} e^{-\beta E_{s_1}^{(1)}} \right]}_{Z^{(1)}} \underbrace{\left[ \sum_{s_2} e^{-\beta E_{s_2}^{(2)}} \right]}_{Z^{(2)}}$$

$$\therefore \langle E \rangle = -\frac{\partial}{\partial \beta} \ln Z = -\frac{\partial}{\partial \beta} \ln Z^{(1)} - \frac{\partial}{\partial \beta} \ln Z^{(2)}$$

$$= \langle E^{(1)} \rangle + \langle E^{(2)} \rangle \quad (\text{ei liene yhtä})$$

Vastaavasti M rüppumattomasta osasysteemistä muodostuvalle järjestelmälle

$$Z = \prod_{m=1}^M Z^{(m)} \quad \text{ja} \quad E = \langle E \rangle = \sum_{m=1}^M \langle E^{(m)} \rangle$$

Jos osasysteemit (1), (2), ..., (M) ovat samanlaisia eli jos nällä on samankaltaiset mikrotilat, niin

$$Z = [Z^{(1)}]^M \quad \text{ja} \quad E = M \langle E^{(1)} \rangle$$

Esim.

Paramagneettinen kide (§3.1): Olkoon kitesä  $N$  kpl toisistaan rüppumattomia spinuja lämpökylyssä  $\Rightarrow$

$$Z(T, B, N) = [Z(T, B, 1)]^N$$

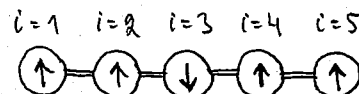
$N$  samantaitoista osasysteemiä

Kutkin tunnistettavissa

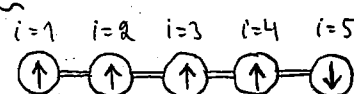
(6.1)

Olkoon kummakin spinillä  $i=1, 2, \dots, N$  tilat  $s_i = \uparrow, \downarrow$ .

Kiteen, jolle  $N=5$ , mikrotila



On eri kuin mikrotila

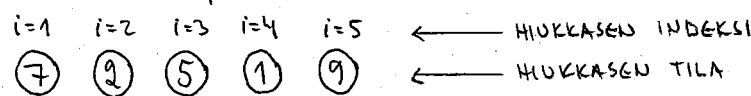


koska kummakin spinillä on "oma paikka" kitesä ("nimilappu") eli spinit ovat lokalisoituneet.

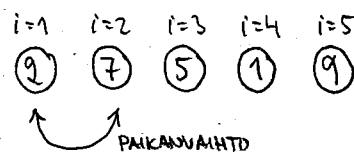
Identisten hiukkasten klassinen ideaalikaas

Olkoon kummakin hiukkasella  $i=1, 2, \dots, N$  tilat  $s_i = 1, 2, 3, \dots$

Kaasun, jolle  $N=5$ , mikrotila



On sama kuin mikrotila



koska ei ole keinoa erottaa hiukkasia toisistaan

vaan ne ovat ei-lokalisoituneita, sitä taysin identisia.

Tämä vähentää eri mikrotilojen lukumäärää, joten nyt

$$Z(T, V, N) < [Z(T, V, 1)]^N$$

(koska  $Z = \sum_{\text{mikrotilitat}}$ )

74

Kuinka paljon vähemmän?

tarkasteltavissa osoitettaessa (mikrotiassa)  
tyypillisesti koko kaasun mikrotiassa

- ④ Jos hyvinä approksimaationa kaikki  $s_i$ :t ( $i=1,2,\dots,N$ ) ovat eri tiloja (eli  $s_1+s_2, s_1+s_3, \dots$ ), on jokaisesta lukujoukosta  $\{s_1, s_2, \dots, s_N\}$  kaikkiaan  $N!$  permutaatiota eli
- {Z summa yli kaikkien tilojen}
  - {tiloista  $N!$  identistä versiota}

$$\Rightarrow Z(T, V, N) = \frac{1}{N!} [Z(T, V, 1)]^N$$

N identistä osasysteemiä,  
keskenään vaihdettavissa  
lisäksi ④ oltava varmassa

(6.2)

Mitä ehto ④ tarkoittaa / edellyttää?

Olkoot yhden hiukkisen tilat  $\varepsilon_1 \leq \varepsilon_2 \leq \varepsilon_3 \leq \dots$

Koko kaasun tila  $\longleftrightarrow$  mieditysluvut  $n_1, n_2, n_3, \dots$

"Kunna" ja "klassinen":

$n_s = 0$  useimille tiloille

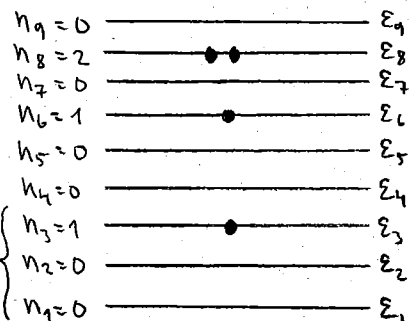
$n_s = 1$  näiltä jokin verran

$n_s \geq 2$  merkityksettömin vähän

JA

alintenkin tilojen mieditys pieni

vrt.  $p_r \propto e^{-E_r/k_B T}$



Huom.

\* Muoto  $Z = \frac{1}{N!} Z(N)$

Ideaalikaasun tilantyöläs on johdettavissa tästäkin.

\* Identiset hiukkaset  $\Rightarrow$  mieditysluvut täydellinen  
kuvaus kaasun tilasta

(vrt. kvantimekaanikan)  
(miedityslukumäärä  $\nabla$ )

### 6.3. KÄRSUMOLEKYLLEN TRANSLAATIOLIKE

Ei-ideaalisten hiukkasten sisäiset vapausasteet

Edelleen yksihiukkastilat:  $\tau = (\vec{s}, \alpha)$  missä

$$\varepsilon_r = \varepsilon_s^{\text{tr}} + \varepsilon_{\alpha}^{\text{int}}$$

molekyylin sisäinen "tila"      { rotaatiot  
vibraatiot  
elektronitilat  
 molekyylin MKP-löke

Vrt. klassinen mekanikkala:  $\varepsilon^{\text{tr}}$  ja  $\varepsilon^{\text{int}}$  rüppumattomia

$$\xrightarrow{\text{sivu 72}} Z_1 = Z_1^{\text{tr}} Z_1^{\text{int}}$$

N identtistä tällästä hiukasta + harva mieditys

$$\xrightarrow{(6.2)} Z = \frac{1}{N!} Z_1^N$$

$$\therefore Z(T, V, N) = \frac{1}{N!} [Z_1^{\text{tr}}(T, V) Z_1^{\text{int}}(T)]^N \quad (6.3)$$

molekyylin "sisäinen asia"  
 ei riipu V:sta

$$\begin{aligned} \langle E \rangle &= -\frac{\partial}{\partial \beta} \ln Z = \langle E^{\text{tr}} \rangle + \langle E^{\text{int}} \rangle - \underbrace{\frac{\partial}{\partial \beta} \ln \frac{1}{N!}}_{=0} \\ &= N(\langle E^{\text{tr}} \rangle + \langle E^{\text{int}} \rangle) \end{aligned}$$

Mahdolliset sisäiset vapausasteet siis käsiteltäväissä erikseen (myöhemmin).

Translaatiolükkeen partitiofunktio

Yhtälö (0.1): Kvantimekanikkasta vapalle hiukkaselille

Iaatinossa  $V = L^3$  energiatilat ovat

$$\varepsilon^{\text{tr}} = \frac{p^2}{2m} = \frac{\hbar^2 k^2}{2m}, \quad \vec{p} = \hbar \vec{k} \quad (6.4)$$

$$\text{missä } \vec{k} = \frac{\pi}{L}(n_1, n_2, n_3); \quad n_i = 1, 2, 3, \dots$$

mutta nämä tilat ovat analogiset seisoivien elästrsten aaltojen (§5.3) kanssa  $\Rightarrow$  yhtälö (5.1) pätee sellaisenaan...

(76)

Vapaalle hiukkasele sits

$$f(k) dk = \frac{V}{2\pi^2} k^2 dk \xrightarrow{(6.4)} f(p) dp = \frac{V}{2\pi^2} \frac{p^2 dp}{\hbar^3} \quad (6.5)$$

Näissä muunnoksissa muista  $f(k)dk$ -in merkitys  $\Rightarrow$  tässä on huomioitava vain pituuden muutos

$$Z_1^{tr} = \sum_s e^{-\beta \epsilon_s^{tr}} \xrightarrow{(6.5)} \int_0^\infty dp f(p) e^{-\beta p^2 / \hbar m}$$

Tuttu integraali:

$$I_n := \int_0^\infty dx x^n e^{-ax^2} \quad (a > 0)$$

$$I_0 = \frac{\sqrt{\pi}}{2} a^{-1/2} \quad I_1 = \frac{1}{2} a^{-1} \quad I_2 = \frac{\sqrt{\pi}}{4} a^{-3/2} \quad \text{jne.}$$

$$\therefore Z_1^{tr}(T, V) = \dots = V \left( \frac{m k_B T}{2\pi \hbar^2} \right)^{3/2} \quad (6.6)$$

Tulokseen voimassaolo: "klassiinisehkö" (tiheä = ??)

Pristeitäisten hiukkasten etäisyysdele sopiva "mittatilku"  $\tilde{\lambda}$ :

$$[L] = [m]^{x_1} [\hbar]^{x_2} [k_B]^{x_3} [T]^{x_4}$$

mahdolliset suuret

Panemalla sisään yhtiköt ( tai lukevalla suoraan (6.6):sta)

$$\tilde{\lambda} = \hbar / \sqrt{m k_B T}$$

Tavallisesti valitaan  $\lambda_{dB} = \sqrt{\frac{2\pi}{3}} \sqrt{\frac{2\pi \hbar^2}{m k_B T}}$ , joka onmolekyylien keskiaravasta liike-energiaa ( $E/N = \frac{3}{2} k_B T$ )

Vastaava kvantimekaaninen de Broglie - aallonpituuus.

Harva miehitys ( $n_s \ll 1$  + s) toteutun, kun

$$\lambda_{dB}^3 \ll \lambda^3 = \frac{V}{N} \quad \Leftarrow 1 \gg \langle n_s \rangle = N p_s \rightarrow N \frac{1}{Z_1} e^{-\beta p^2 / \hbar m} \underbrace{e^{[0,1]}}_{\in [0,1]}$$

"HARVA, KUUMA, KLASSINEN"

## Yhteys termodynamikkaan

TDTP: ssa (3.3):

$$F(T, V, N) = -k_B T \ln Z(T, V, N)$$

$$\stackrel{(6.3)}{=} -k_B T \ln \left\{ \frac{1}{N!} [Z_1^{\text{tr}}(T, V)]^N [Z_1^{\text{int}}(T)]^N \right\}$$

$$= -N k_B T \ln \left\{ e \frac{V}{N} Z_1^{\text{tr}}(T, V) Z_1^{\text{int}}(T) \right\}$$

$$\quad \quad \quad \boxed{(6.4): \ln N! \sim N(\ln N - 1) = N \ln \frac{N}{e}}$$

$$\stackrel{(6.6)}{=} -N k_B T \ln \left\{ e \frac{V}{N} (eT)^{3/2} Z_1^{\text{int}}(T) \right\}$$

$$\boxed{\alpha = \frac{m k_B}{2\pi \hbar^2}}$$

$\uparrow F_{\text{tr}}$

$\uparrow F_{\text{int}}$

Edelleen, 63.3:sta

$$dF = -SdT - PdV + \mu dN$$

$$P = -\left(\frac{\partial F}{\partial V}\right)_{T,N} = -\left(\frac{\partial F_{\text{tr}}}{\partial V}\right)_{T,N} = -\frac{\partial}{\partial V} (-N k_B T \ln V + \dots)$$

$$= N k_B T / V$$

$$\therefore \boxed{PV = N k_B T}$$

(aiemmin 1.1)

$$\boxed{E_{\text{tr}} = -\frac{\partial}{\partial \beta} \ln Z_{\text{tr}} = -N \frac{\partial}{\partial \beta} \ln Z_1^{\text{tr}} \stackrel{(6.6)}{=} \dots = \frac{3}{2} N k_B T} \quad (1.2)$$

Huom.

\* Olemme lopulta kiinnostuneet ideaalikaasun tilantyöön lähtien ideaalikaasumallin oletuksesta. Aiemmin (1.1) oli vain esitelty lähtötila kokeilisena havaintona. Nytkin tiedämme, että (1.1):n  $T$  on (2.2):n  $T$ .

\* Kurkinen

$$S_{\text{tr}} = -\left(\frac{\partial F_{\text{tr}}}{\partial T}\right)_{V,N} = \dots = N k_B \left[ \ln \frac{V}{N} + \frac{3}{2} \ln T + \frac{3}{2} \ln \alpha + \frac{5}{2} \right]$$

$$\xrightarrow{T \rightarrow 0} -\infty \iff \text{TD III}$$

Koska talka rajalla pottavat: harvan miedityksen oletus summan korvaus integraalilla

## 6.4. MAXWELLIN NOPEUSJAKAUMA

Translaation yksihukkastilojen määritys:

$$n(p) = N \frac{1}{Z_{\text{tr}}} e^{-\beta p^2/2m} \quad \text{sits yhden tilan } \vec{p}, \text{ jolle } |\vec{p}| = p$$

$P(p) dp :=$  todennäköisyys, että tietyn molekyylin lukeumaara (ilman suuntaa)  $\in [p, p+dp]$

$$\Rightarrow P(p) dp = \frac{1}{N} n(p) f(p) dp$$

Tästä saamme nopeusjakauman  $P(v)$  helpoinen seuraavasti:

$$\left. \begin{aligned} (6.5) \Rightarrow f(p) &\propto p^2 & \stackrel{p=mv}{\Rightarrow} f(v) &\propto v^2 \\ n(p) &\propto e^{-\beta p^2/2m} & \Rightarrow n(v) &\propto e^{-\beta \frac{1}{2}mv^2/k_B T} \end{aligned} \right\} + \text{sivun 76 integraali } I_2$$

$$P(v) \propto f(v) n(v)$$

$$\int_0^\infty P(v) dv = 1$$

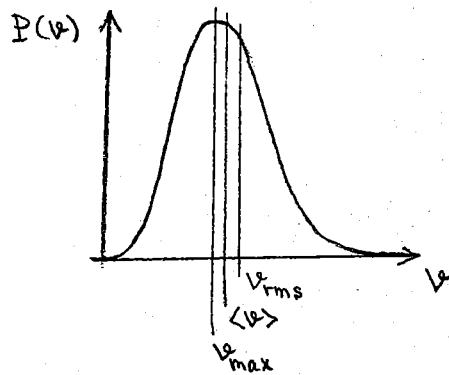
$$\Rightarrow P(v) dv = \sqrt{\frac{a}{\pi}} \left( \frac{m}{k_B T} \right)^{3/2} v^2 e^{-\frac{1}{2}mv^2/k_B T} dv \quad (6.7)$$

Huom.

\* Helposti nähdään, että  $v_{\max} = \sqrt{\frac{2k_B T}{m}}$

ja  $\langle v \rangle = \frac{2}{\sqrt{\pi}} v_{\max}$  sekä  $v_{\text{rms}} = \sqrt{\frac{3}{2}} v_{\max}$

$$\therefore v_{\max} < \langle v \rangle < v_{\text{rms}}$$



\* Nopeusjakaumasta (6.7) päästaan helposti (Harj. 7) energiajakaumaan

$$E = \frac{p^2}{2m} = \frac{1}{2}mv^2 \Rightarrow$$

$$P(E) dE = \frac{2}{\sqrt{\pi}} \frac{\sqrt{E}}{(k_B T)^{3/2}} e^{-E/k_B T} dE$$



TÄSSÄ YHDEN HUKKASEN ENERGIA (MERKINTÄ)

\* Yllä sits kaasusta valitun yhden hukkisen jakaumat; koko kaasun (N makrosc) E rajusti pitkittyyt (§ 2.4).

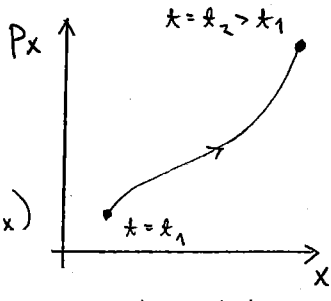
## 6.5. (VÄHÄSEN) KLASSISTA STATISTISTA MEKANIKKAA

Faasiavaruus ( $N=1, D=1$ ) avaruuden dimensio

Yksi hukkainen 1-dim avaruudessa

$$\begin{cases} x = x(t) \\ p_x = p_x(t) \end{cases} \Rightarrow \text{2-dim faasiavaruus } (x, p_x)$$

Klassiset läheysäätöt:  $\dot{x} = \frac{\partial \mathcal{H}}{\partial p_x}$     $p_x = -\frac{\partial \mathcal{H}}{\partial x}$   $\Rightarrow$  trajektori



Jokainen faasiavaruuden piste  $\longleftrightarrow$  tietty läketila

Faasiavaruus ( $N=1, D=3$ )

Yksi hukkainen 3-dim avaruudessa

$$(x, y, z; p_x, p_y, p_z) \therefore 6\text{-dim faasiavaruus}$$

Haluamme laskea tilojen lukumäärää  $\Rightarrow$  klassisesti ainoa järkevä lähtökohta on, että tilojen lkm alueessa

$$\{(x, y, z) \in [x, x+dx] \times [y, y+dy] \times [z, z+dz]\}$$

$$\{(p_x, p_y, p_z) \in [p_x, p_x+dp_x] \times [p_y, p_y+dp_y] \times [p_z, p_z+dp_z]\}$$

on verrannollinen faasiavaruuden tilavuuselementti

$$dx dy dz dp_x dp_y dp_z = d^3\vec{r} d^3\vec{p}$$

Hukkainen, jolle  $|\vec{p}| \in [p, p+dp]$ , tilavuudessa  $V \Rightarrow$  faasiavaruuden tätä vastaavan osan tilavuus on

$$dV = \int_V dx dy dz \int_{|\vec{p}| \in [p, p+dp]} dp_x dp_y dp_z = V \cdot \underbrace{4\pi p^2 \cdot dp}_{\substack{\uparrow \text{pallonkuoren pinta-ala} \\ \uparrow \vec{p}\text{-pallonkuoren pinta-ala}}}$$

Tilojen lukumäärä sitä = ?? koska klassisen mekanikkaa ei anna verrannollisuuskerrointia. Sovitaan, että kuhin tila vie faasiavaruudesta tilavuuden  $h^3$ , jolloin yhden hukkisen tiloja alueessa  $d^3\vec{r} d^3\vec{p}$  on

$\frac{1}{h^3} d^3\vec{r} d^3\vec{p}$  kappaletta

(6.8)

(80)

Klassinen mekanikka ei kunnită verrannollisuuskerrosten h arvoa. Kvantimekaaniset ilmiöt  $\Rightarrow h \approx 6.6256 \times 10^{-34} \text{ Js}$  (esim. vertaamalla yhtälöihin (6.4) ja (6.5) huistaen ettei  $\hbar = h/2\pi$ ). Parametrin h tulkinnalla ei kuitenkaan ole väärä, kun johdamme tärkeän, täytön klassisen tuloksen:

### Energian ekvipartitoperiaate

Olkoon ensin partikkeli D=1:ssa potentiaalissa  $U(x) = \frac{1}{2} Bx^2$ , jolloin (6.8)ista tilojen yli "summaamalla"

$$\begin{aligned} Z_1 &= \frac{1}{h} \left( \int_{-\infty}^{\infty} dx \int_{-\infty}^{\infty} dp_x \exp \left[ -\beta \left( \frac{p_x^2}{2m} + \frac{Bx^2}{2} \right) \right] \right) \\ &= \frac{1}{h} \left\{ \int_{-\infty}^{\infty} dx e^{-\beta Bx^2/2} \right\} \left\{ \int_{-\infty}^{\infty} dp_x e^{-\beta p_x^2/2m} \right\} \\ &= \frac{1}{h} \sqrt{\frac{2\pi}{\beta B}} \sqrt{\frac{2\pi}{\beta/m}} \end{aligned}$$

$$\begin{aligned} \Rightarrow \langle E_1 \rangle &= -\frac{\partial}{\partial \beta} \ln Z_1 = -\frac{\partial}{\partial \beta} \left( \ln \frac{1}{\sqrt{\beta}} + \ln \frac{1}{\sqrt{\beta/m}} + \underbrace{\ln \frac{2\pi}{h\sqrt{B/m}}}_{\text{VAKIO}} \right) \\ &= \underbrace{\frac{1}{2} k_B T}_{\text{kin}} + \underbrace{\frac{1}{2} k_B T}_{\text{pot}} \\ &\quad \uparrow \qquad \qquad \qquad \uparrow \\ &E_1^{\text{kin}} = \frac{p_x^2}{2m} \\ &E_1^{\text{pot}} = \frac{1}{2} Bx^2 \end{aligned}$$

∴ Energian tasajakauma eli ekvipartitio:

Kuinkin kvadraattinen energiatermi ( $\sim x^2, p_x^2, \dots$ ) antaa hiukkasen keskimääräiseen energiaan määran  $\frac{1}{2} k_B T$ . (6.9)

Huom.

- \* Tulos ei riipu lainkaan esim. "jousivakion" B arvosta eikä partikkelin massasta m!
- \* Tästä seuraa peruskosanta: Partikkelin energia lämpötilassa T tyypillisesti suuruusluokkaa  $\sim k_B T$ .

Tulos yhdistyy välittömästi: N hiukkasta D=3:ssa  $\Rightarrow$

$$Z = \frac{1}{h^{3N}} \underbrace{\int \dots \int}_{6N \text{ integraatia}} d^3 \vec{r}_1 \dots d^3 \vec{r}_N d^3 \vec{p}_1 \dots d^3 \vec{p}_N e^{-\beta E(x_1, y_1, \dots, p_{zN})}$$

(faasiavaruuden dimensio)

Jos E:ssa vain kvadraattisia termejä eli

$$E(x_1, y_1, \dots, p_{zN}) = \alpha_1 x_1^2 + \beta_1 y_1^2 + \dots + v_N p_{zN}^2$$

ja kaikki  $\alpha_1, \beta_1, \dots, v_N \neq 0$ , niin integrointi tehtää

$$\langle E \rangle = -\frac{\partial}{\partial \beta} \ln Z = 6N \cdot \frac{1}{2} k_B T$$

Milloin tämä toimii?

On oltava klassisella rajalla, jolloin summa Z

voidaan korvata integraaleilla. Matalassa Tiissa

tilojen diskreetti luonne muuttaa asian.

$$\Delta E \{$$

Sis oltava  $k_B T \gg \Delta E$ , missä  $\Delta E$ :n määrää kvantimekanikka.

Esim.

\* Ideaalikaasulla ei potentiaalienergiaa:

$$E = \frac{1}{2m} (p_{x1}^2 + p_{y1}^2 + p_{z1}^2 + \dots + p_{zN}^2)$$

$$\langle E \rangle = 3N \times \frac{1}{2} k_B T = \frac{3}{2} N k_B T \quad \therefore \text{Joulen laki}$$

\* Kidevarähelyt: 3N harmonista väriketjijää

$$\langle E \rangle = 6N \times \frac{1}{2} k_B T = 3N k_B T$$

$$\Rightarrow C_V = (\frac{\partial E}{\partial T})_{V,N} = 3N k_B = 3k_B / \text{atomi} \quad \therefore \text{Dulong-Petit}$$

\* Raksiatominen molekyyli:  $E^{\text{vib}} = E_{\text{pot}}^{\text{vib}} + E_{\text{kin}}^{\text{vib}}$  OMME

$$\Rightarrow \langle E^{\text{vib}} \rangle = (\frac{1}{2} + \frac{1}{2}) k_B T \quad \text{kokeassa Tiissa}$$

Huom.

\* Ekvipartitioteoreema soveltuu sellaisenaan myös klass mekanikan "yleistettyihin" koordinaateihin.

## Reunahuomautus: Sackur-Tetrode-yhtälö

Mjös näistä klassisista lähtökohdista voidaan johtaa sivulla ⑦ annettu tulos

$$\begin{aligned} S &= Nk_B \left[ \ln \frac{V}{N} + \frac{3}{2} \ln T + \frac{3}{2} \ln \frac{2\pi mk_B}{h^2} + \frac{5}{2} \right] \quad (*) \\ &=: S_a \end{aligned}$$

Tarkastellaan nyt kaasun (2) ja nesteen (1) koeksistenssia olettaen, että kaasu  $\approx$  klassinen ideaalikaasu.

$$\begin{cases} L_{12} = T(S_2 - S_1) \Rightarrow S_2 = S_1 + L_{12}/T \\ PV = Nk_B T \Rightarrow \ln \frac{V}{N} = \ln T + \ln k_B - \ln P \\ (*) \Rightarrow \ln P = -\frac{S_2}{Nk_B} + \frac{5}{2} \ln T + \frac{5}{2} + \ln \left[ k_B \left( \frac{2\pi mk_B}{h^2} \right)^{3/2} \right] \end{cases}$$

joten höyrinpaineekäyrän on voimassa

$$\boxed{\ln P = -\frac{S_1}{Nk_B} - \frac{L_{12}}{Nk_B T} + \frac{5}{2} \ln T + \ln \left[ k_B \left( \frac{2\pi mk_B}{h^2} \right)^{3/2} \right]} \quad (\text{STY})$$

Matalassa lämpötilassa  $S_1 \ll L_{12}/T$  jolloin ensimmäinen termi oikealla voidaan unohda  $\Rightarrow$  mitaamalla  $L_{12}(T)$  ja höyrinpaineekäyrän muoto saadaan määrittyä viimeisen, vakiotermin arvo  $\Rightarrow$  h:n arvo mitattavissa

$\Rightarrow$  arvio "klassiselle" h:lle

kokeet: arvo = Planckin vakio o.k.

## Toinen reunahuomautus

Nyt voimme "ymmärtää" tuloksen (6.6) muodon

$$Z_1 = V \left( \frac{mk_B T}{2\pi \hbar^2} \right)^{3/2}$$

klassisen  $S$ :min kautta ... miten nähin?

Huom. myös tilojen lkm  $d^3 F \rightarrow d^3 p$ :ssa  $\leftrightarrow$  Heisenbergin epätarkkuusperiaate (Kvantomekanikka I)

Sovellukset:

### 6(a) KLASSISEN KAASUN LÄMPÖKAPASITEETTI

Edellä on osoitettu, että klassisella (translaation osalta) alueella kaasulle pätee

$$E = E^{tr} + E^{int}$$

$$= \frac{3}{2} N k_B T + E^{\text{rot}}(T) + E^{\text{vib}}(T) + E^{\text{ele}}(T)$$

⋮

 $\alpha = 4$ 

Sisäisistä vapausasteista etenkin rotaatioille

$$P_{\alpha}^{\text{rot}} = \frac{1}{Z^{\text{rot}}} e^{-\varepsilon_{\alpha}^{\text{rot}} / k_B T}$$

$$\Delta \varepsilon^{\text{rot}}$$

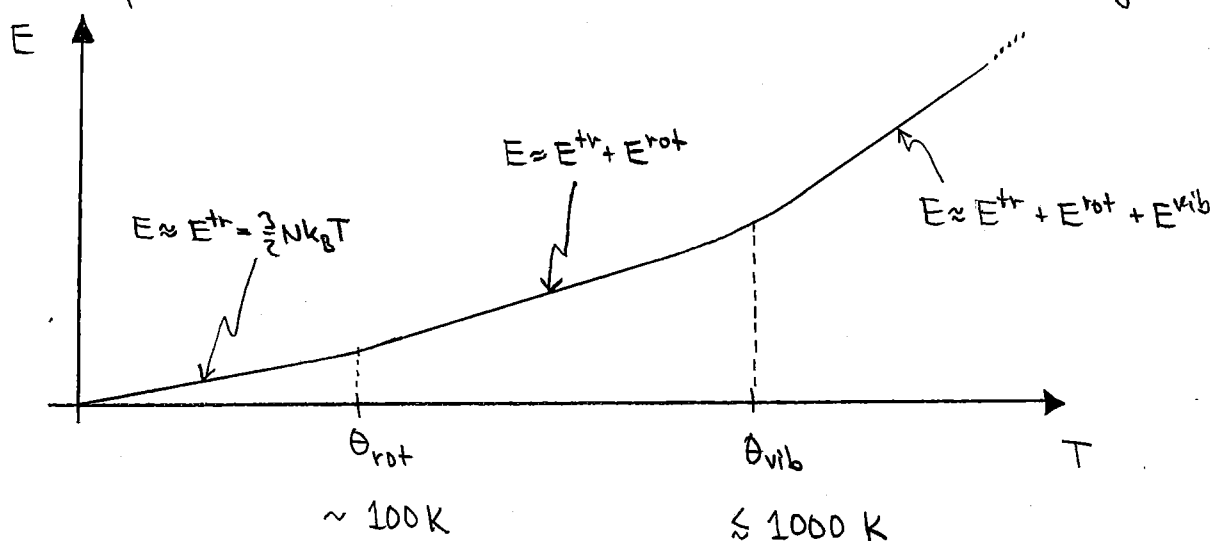
 $\alpha = 3$  $\alpha = 2$  $\alpha = 1$ 

Jos nyt  $k_B T \ll \Delta \varepsilon^{\text{rot}}$ , niin  $\frac{P_2^{\text{rot}}}{P_1^{\text{rot}}} \ll 1$ , jolloin perustila dominoi  $\Rightarrow$  rotaatiovapausasteet eivät virity  
 $\Rightarrow$  nämin ei sitoudu (juuri kaan) energiaa

Tyypillisesti kaasumolekyyleille

$$\begin{cases} \Delta \varepsilon^{\text{rot}} < 10^{-2} \text{ eV} & \approx k_B \cdot 100 \text{ K} \\ \Delta \varepsilon^{\text{vib}} \lesssim 10^{-1} \text{ eV} & \approx k_B \cdot 1000 \text{ K} \\ \Delta \varepsilon^{\text{ele}} \sim 1 \text{ eV} & \approx k_B \cdot 10000 \text{ K} \end{cases}$$

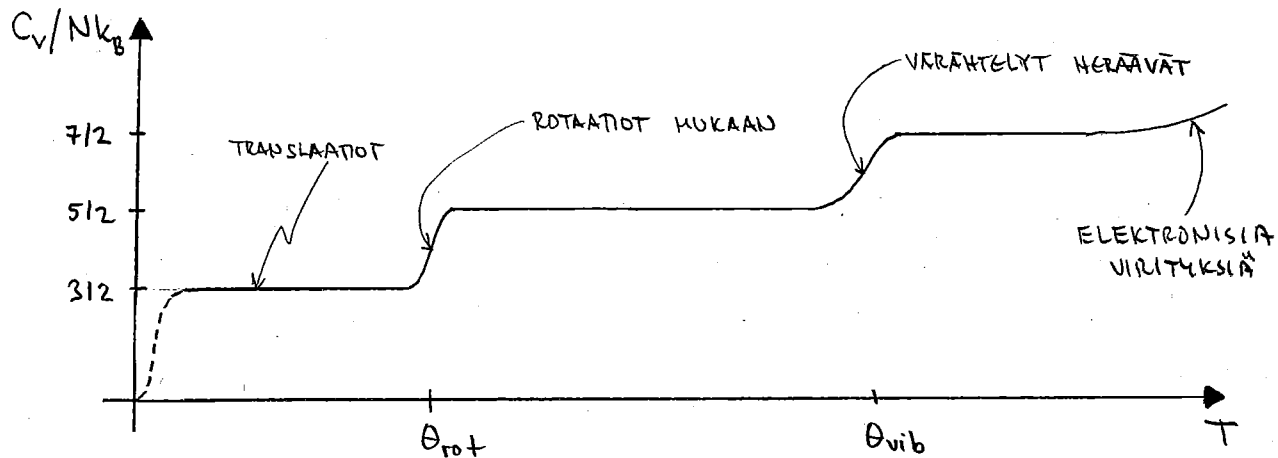
On käytännöllistä määritellä kullekin vapausasteelle karakteristiset lämpötilat, etenkin  $\theta_{\text{rot}}$  ja  $\theta_{\text{vib}}$ , joissa kyseiset vapausasteet alkavat merkittäväissä määrin virittymään:



Olkoon kysessä 2-atominen molekyyli, jolloin

$$\left\{ \begin{array}{l} T \gg \Theta_{\text{rot}} \Rightarrow E^{\text{rot}} \approx \frac{1}{2}k_B T + \frac{1}{2}k_B T \Rightarrow C_V^{\text{rot}} = k_B \quad (\text{Harj. 7.2}) \\ T \gg \Theta_{\text{vib}} \Rightarrow E^{\text{vib}} \approx \frac{1}{2}k_B T + \frac{1}{2}k_B T \Rightarrow C_V^{\text{vib}} = k_B \quad (\text{sivu 81}) \end{array} \right.$$

$$C_V = C_V^{\text{tr}} + C_V^{\text{rot}} + C_V^{\text{vib}} + C_V^{\text{ele}}$$

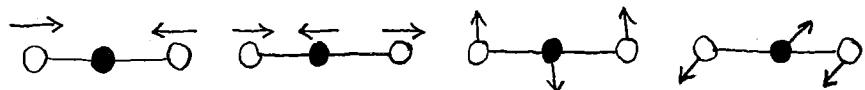


Huom.

- \* Rajalla  $T \rightarrow 0$  myös  $C_V^{\text{tr}} \rightarrow 0$  tilojen diskreettisyyden vuoksi (katkoväva): ei-klassinen ilmiö (luentojen §8).
- \* Käytätykinen lämpötilojen  $\Theta_{\text{rot}}$  ja  $\Theta_{\text{vib}}$  lähekkä määräystyg rotaatio- ja vibratiositilojen diskreettisyydestä: ei-klass.

Esim.

Hiilidioksidilla  $\text{CO}_2$  on väärähtelymodit



$$\Theta_{\text{vib}}^{(1)} = 1890 \text{ K} \quad \Theta_{\text{vib}}^{(2)} = 3360 \text{ K} \quad \Theta_{\text{vib}}^{(3)} = 954 \text{ K} \quad \Theta_{\text{vib}}^{(4)} = 954 \text{ K}$$

Kullekin modille  $a = 1, 2, 3, 4$  matalassa lämpötilassa  $T \ll \Theta_{\text{vib}}^{(a)}$  on

$$\text{sivu 65} \Rightarrow C_V^{(a)} \approx Nk_B \left( \frac{\Theta_{\text{vib}}^{(a)}}{T} \right)^2 e^{-\frac{\Theta_{\text{vib}}^{(a)}}{T}}$$

josta eteen huoneenlämpötilassa ( $T = 300 \text{ K}$ )

$$\left. \begin{aligned} C_V^{(1)} &\approx Nk_B \times 0.07 \\ C_V^{(2)} &\approx Nk_B \times 0.002 \\ C_V^{(3)} &= C_V^{(4)} \approx Nk_B \times 0.42 \end{aligned} \right\} \Rightarrow C_V^{\text{vib}}(300 \text{ K}) = \sum_{a=1}^4 C_V^{(a)} \approx 0.9 Nk_B$$

$$\therefore \frac{C_V}{Nk_B} \approx \frac{3}{2} + 1 + 0.9 = 3.4$$

Huom.

\* Se, että  $\langle E^{\text{tr}} \rangle = \frac{3}{2} k_B T$ , pätee yleisemminkin, sillä jos

$$E(\{\vec{r}_i\}, \{\vec{p}_i\}) = \sum_{i=1}^N \frac{p_i^2}{2m_i} + U(\{\vec{r}_i\})$$

KUN EI NOPEUDESTA  
RIPPUVIA VOIMAIA

missä potentiaalivergia  $U$  sisältää esim. hiukkasten väliset vuorovaikutukset, niihin

$$\begin{aligned} Z &= \frac{1}{h^{3N}} \int d\vec{r}_1 \dots \int d\vec{r}_N \int d\vec{p}_1 \dots \int d\vec{p}_N e^{-\beta E(\{\vec{r}_i\}, \{\vec{p}_i\})} \\ &= \frac{1}{h^{3N}} \left[ \int d\vec{r}_1 \dots \int d\vec{r}_N e^{-\beta U(\{\vec{r}_i\})} \right] \underbrace{\left[ \int d\vec{p}_1 e^{-\beta p_1^2/2m_1} \dots \int d\vec{p}_N e^{-\beta p_N^2/2m_N} \right]}_{\text{Gaussisia integraaleja}} \end{aligned}$$

$$\Rightarrow \langle E \rangle = -\frac{\partial}{\partial \beta} \ln Z = \dots = \langle E_{\text{vv}} \rangle + \frac{3}{2} N k_B T$$

↑ lükemittariosa  
vuorovaikutuksista  $U = U(\{\vec{r}_i\})$

luonnollisesti edellyttää translatioiden klassisuussesto.

\* Yo. tuloksen avulla voidaan tehdä hiilikoneessa mikroskooppisia vakiolämpötilasimulaatioita ratkaisemalla numerisesti hiukkasjoukon lüleilyhtälötä,  $T = \frac{1}{k_B} \frac{2}{3} \frac{\langle E^{\text{kin}} \rangle}{N}$ .

### 6(b) MUUTA IDEALIKAASEN KALTASIA JÄRJESTELMIÄ

Harva hilakaasu

↑ SM mielessä

Lähtökohdat: mäännän alla  $\begin{cases} N \text{ atomia = VAKIO} \\ M \text{ hilapisteitä} \end{cases}$

● = ATOMI  
○ = TYHJÄ PISTE

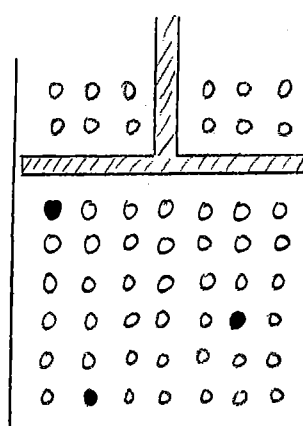
$$(2,3) \Rightarrow P = T \left( \frac{\partial S}{\partial V} \right)_{E,N} \quad V = V_0 M \quad \left. \begin{array}{l} \text{HARVA!} \\ \overbrace{1 \ll N \ll M} \end{array} \right\}$$

$$S = k_B \ln \Omega \quad \Omega = \frac{M!}{(M-N)! N!}$$

$$\Rightarrow P = T \frac{dM}{dV} \frac{\partial S}{\partial M} \stackrel{(0,4)}{=} = \dots = \frac{k_B T}{V_0} \frac{N}{M}$$

$$\therefore PV = N k_B T$$

ILMAN ATOMIEN LIIKETÄÄ  
ILMAN TÖRMÄILYJÄÄ MÄNTÄÄN



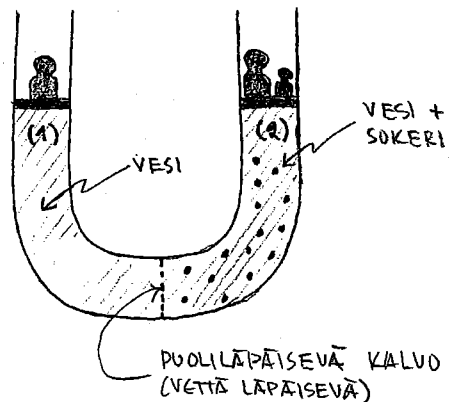
Vrt. Atomit künteän arseeniin pinnalla 2(d):ssä.

(86)

## Laimea liuos

Olkoon esim. pieni määrä sokerimolekyylejä (liuennut aine) vedessä (lioton), jolloin sokerimolekyylien voidaan olettaa olevan oheellisesti toisistaan rüppumattomia. Edellä olevan perusteella arvoamme, että sokerimolekyylien muodostamaa systemiä kuvaa approksimatiivisesti tilanyhtälö

$$PV = N k_B T$$



ja kuvan mukaisessa kokossa

$$\text{syntyy paine-ero } P_2 - P_1 = P = g k_B T$$

↑  
OSHOOTTINEN PAINE

Van't Hoffin kaava

Tämäkin "paine" on luonteltaan ennenmuin statinen (§ 2.2) kuin kiinteäinen (§ 6.1). Paine-ero ei räpä täinkaan liuottimen ja liuokettaan aineen mikroskooppisista ominaisuuksista tai niiden vuorovaikutuksista - kunhan liuos on laimea (= "harva").

## Spin- $\frac{1}{2}$ -paramagneetti

Vuorovaikutuksettomat dipolit  $\Rightarrow$  tilanyhtälö siivulta ③

$$M = \frac{N}{V} \mu \tanh \underbrace{\frac{\mu B}{k_B T}}_{\approx \frac{\mu B}{k_B T} \text{ korkeassa lämpötilassa}} \quad (*)$$

Koska  $\mu$  ja  $\frac{N}{V}$  ovat kiteelle vakiota, merkitään

$$\tilde{M} := \frac{V}{N\mu} M \quad \text{ja} \quad \tilde{B} := \mu B$$

jolloin korkeassa lämpötilassa (\*) saa muodon

$$\tilde{B} = \tilde{M} \frac{k_B T}{V}$$

Vrt. intensiivimittujin kirjoitettu ideaalikaasun

$$P = g k_B T \quad (g = N/V).$$

## 7. MUUTTUVA HIUKKASLUKU

### 7.1. ENSEMBLET ELI JOUKOT

Termodynamiikassa, tarkasteltaessa ympäristöön eri tavilla kontaktissa olevia järjestelmiä, oli katevaä määritellä termodynamiisia potentiaaleja, joiden luonnolliset muuttujat määräävät lyhennän ympäristöön. Jatkossa tarkastellaan  $E, V, N$ -systeemejä. Näille TDTP:ssa oli määriteltävä suuri potentiaali

$$\mathcal{S} = \mathcal{S}(E, V, N) \quad F = F(T, V, N) \quad G = G(T, P, N);$$

termodynamiisia potentiaaleja tilanteissa, joissa  $N$  kunnitettiin. Uusi Legendren muunnos tästä rajusteesta pääsemiseksi:

Määritellään suuri potentiaali

$$\Omega_G = E - TS - \mu N \quad (7.1)$$

$$d\Omega_G = \dots = -\mathcal{S}dT - PdV - Nd\mu \quad \therefore \Omega_G = \Omega_G(T, V, \mu)_{TDTP}$$

Statistisessa mekanikassa kannattaa ottaa huomioon seuraavantoinen "ajatuskoe" eli gedanken experiment:

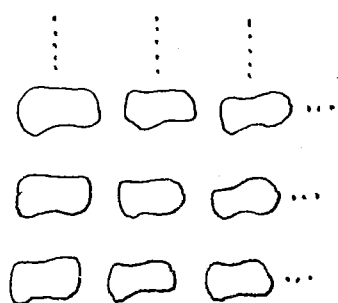
#### Ensemble

eli joukko koostuu suuresta määrästä tarkasteltavan järjestelmän kopioita, jotka voivat kyllakin hetkellä olla missä tahansa järjestelmän mikrotilassa  $r=1, 2, \dots, r_{\max}$ .

Jos kopioita on  $V$  kpl, missä  $V \gg r_{\max}$ , on kyllakin hetkellä  $v_1$  kopiota tilassa  $r=1$   
 $v_2$  kopiota tilassa  $r=2$  jne.  
ja rajalla  $V \rightarrow \infty$  on  $P_r = v_r/V$ .



$$\Omega_G = \Omega_G(T, V, \mu)_{TDTP}$$



## Gibbsin entropia

Jatkossa tarvitsemme aiempaa yleisemmän statistisen entropia-käsitteen. Perustellaan nyt Gibbsin lauseke (2.14) yleiselle todennäköisyysjakaumalle tavalla, joka lähtee Boltzmannin maailmasta (2.1).

Oletetaan yleiset mikrotilat  $s=1, 2, \dots, s_{\max}$  ja  $v$  kopion muodostama suuri ensemble, jossa siihen  $P_s = v_s / V$ . (\*) Jos esim.  $s_{\max} = 2$ , voidaan tietty  $(v_1, v_2)$  toteuttaa

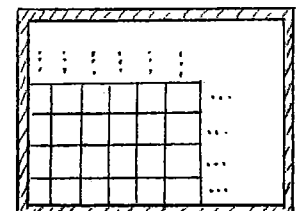
$$\Omega_v = \binom{V}{v_1} = \binom{V}{v_2} = \frac{V!}{v_1! (V-v_1)!} = \frac{V!}{v_1! v_2!} \quad \text{tavalla.}$$

$\uparrow$   
 $v_1 + v_2 = V$

Yleiselle  $s_{\max}$  on vastaavasti  $\Omega_v = \frac{V!}{v_1! v_2! \cdots v_{s_{\max}}!}$  tapaa toteuttaa tietty  $(v_1, v_2, \dots, v_{s_{\max}})$ .

Jos nyt koko ensemble on eristetty muista maailmasta, on sen tietty tilanne  $(v_1, v_2, \dots, v_{s_{\max}})$  vastaava entropia

$$\begin{aligned} S_v &\stackrel{(2.11)}{=} k_B \ln \Omega_v = k_B \ln \frac{V!}{v_1! v_2! \cdots v_{s_{\max}}!} \\ &= k_B \ln (V!) - k_B \sum_s \ln (v_s!) \end{aligned}$$



Suuri ensemble  $\Rightarrow$  kopioita paljon  $\Rightarrow$  Stirling (0.4) purkee

$$\begin{aligned} S_v &\approx k_B \left[ V \ln V - V - \underbrace{\sum_s v_s \ln v_s}_{\stackrel{(*)}{=} \sum_s v_s (\ln V + \ln p_s)} + \sum_s v_s \right] \\ &= (\sum_s v_s) \ln V + V \sum_s p_s \ln p_s \\ &= k_B V \sum_s p_s \ln p_s \end{aligned}$$

josta yhden kopion entropia on  $S = \frac{1}{V} S_v$  eli

$$S = -k_B \sum_s p_s \ln p_s \quad (\text{aiemmin 2.14})$$

yleiselle diskreetille todennäköisyysjakaumalle  $p_s$ .

Huom. "Yksi kopio muiden muodostamassa lämpö-tms. kylvyssä."

## Huom.

- \* Ensemble-käsite helpottaa monia muiten varvaltoisia tarkasteluja (vrt. MC-algoritmin perustelu s. 62).
- \* Mikrotilojen lkm:n rajaaminen aarelliseen  $r_{\max}$ :lla on epäoleellista - saastaa meidät tässä eräiden ehtojen kirjottelulta. Haluamme keskityä "fysikaan".
- \*  $P_r = V_r/V$  edellyttää ergodisuushypoteesiä (s. 21).

Eriaiset kytkennät ympäristöön  $\Rightarrow$  eri ensemblet:

### Mikrokanoninen joukko (= eristetty)

$E, V, N$  kändit

$$P_r = \frac{1}{Z(E_r)} \delta(E - E_r) = \begin{cases} 1/Z(E), & \text{kun } E = E_r \\ 0 & \text{muutoin} \end{cases}$$

$$S(E, V, N) = k_B \ln Z(E, V, N)$$

### Kanoninen joukko (lämpöä silttyy)

$T, V, N$  kändit ja  $E$  fluktuoi

$$P_r = \frac{1}{Z} e^{-E_r/k_B T}$$

$$F(T, V, N) = -k_B T \ln Z(T, V, N)$$

### Sturkanoninen joukko (lämpöä ja hiukkasia silttyy)

$T, V, \mu$  kändit ja  $E, N$  fluktuovat

$$P_{Nr} = \frac{1}{Z} e^{(\mu N - E_{Nr})/k_B T}$$

$$U_G(T, V, \mu) = -k_B T \ln Z(T, V, \mu)$$

OSOITETAAN  
LUVUSSA §7.2  
LUVUSSA §7.3  
(Huom: Mandlissa  
merkintä  $U_G \rightarrow U_0$ )

### $T, P, N$ -joukko

$T, P, N$  kändit ja  $E, V$  fluktuovat

$$P_{Nr} = \frac{1}{Y} e^{-(PV + E_{Nr})/k_B T} \quad (V \text{ ei deskrikti!})$$

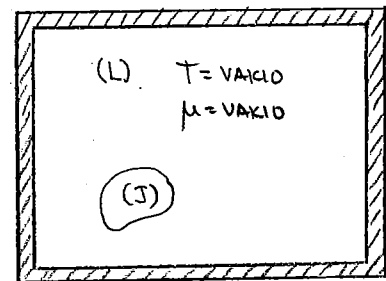
$$G(T, P, N) = -k_B T \ln Y(T, P, N)$$

HARVOIN KÄYTETTY  
HANKALA KÄSITELLÄ  
(EI TÄLLÄ KURSSILLA)

## 7.2. SUURKANONINEN PARTITIOFUNKTIO

Yleistetään luvun §2.3 tarkastelu järjestelmiin (J), joita on TDTP:ssa lampo- ja hiukkaskylyyn (L) kanssa. Olkoon yhdistetty systeemi eristetty ympäristöstä:

$$\begin{cases} E_J = E_J + E_L = E + E_L = \text{KIINTEÄ} \\ N_J = N_J + N_L = N + N_L = \text{KIINTEÄ} \\ V_J = V \text{ ja } V_L \text{ KIINTEITÄ} \end{cases}$$



Järjestelmän (J) mikrotilat riippuvat  $N$ :sta (ja  $V$ :stä); olkoon tietyllä  $N$

$$E_{N1} \leq E_{N2} \leq \dots \leq E_{Nr} \leq \dots$$

Yhdistetyn systeemin tiloja, joissa  $E = E_{Nr}$ , on

$$\Omega_Y(E_J, N_J, E_{Nr}, N) = \underbrace{\Omega_J(E_{Nr}, N)}_{g_N(E_{Nr})} \Omega_L(E_J - E_{Nr}, N_J - N)$$

Yhdistetyn systeemin kaikki mikrotilat ovat sivun ⑯ postulaatin 1 mukaan yllä todennäköisiä  $\Rightarrow$

$$\frac{p(E_{Nr}, N)}{p(E_{Nr}, M)} = \frac{g_N(E_{Nr})}{g_M(E_{Nr})} \frac{\Omega_L(E_J - E_{Nr}, N_J - N)}{\Omega_L(E_J - E_M, N_J - M)} \quad (*)$$

Kehiletaan sarjaksi  $S_L = k_B \ln \Omega_L$ :

$$S_L(E_J - E_{Nr}, N_J - N) \approx \text{VAKIO} - E_{Nr} \left. \frac{\partial S_L}{\partial E} \right|_{E=E_J \approx E_L} - N \left. \frac{\partial S}{\partial N} \right|_{N=N_J \approx N}$$

Sijoitus (\*):seen antaa ( $\Omega_L = e^{S_L/k_B}$ ):

$$\frac{p(E_{Nr}, N)}{p(E_{Nr}, M)} = \frac{g_N(E_{Nr})}{g_M(E_{Nr})} \frac{e^{\beta(\mu N - E_{Nr})}}{e^{\beta(\mu M - E_M)}}$$

ja vittaisen tarvittavan ehdon antaa normitus

$$\sum_N \sum_{E_{Nr}} p(E_{Nr}, N) = 1$$

Saamme silt

$$P(E_{Nr}, N) = \frac{1}{Z} g_N(E_{Nr}) e^{\beta(\mu N - E_{Nr})}$$

$$Z = \sum_N \sum_{E_{Nr}} g_N(E_{Nr}) e^{\beta(\mu N - E_{Nr})},$$

yksittäisille mikrotiloille kirjoitettuna:

$$P_{Nr} = \frac{1}{Z} e^{\beta(\mu N - E_{Nr})} \quad (7.2)$$

$$Z = \sum_{N=0}^{\infty} \sum_r e^{\beta(\mu N - E_{Nr})} \quad (7.3)$$

Olemme johtaneet Gibbsin jakauman (7.2) ja määritelleet suurkaanomisen partitiofunktioon (7.3).

Huom.

- \* Kontakti hypotehtiseen, ideaalisesti äärettömän kokoiseen lämpö- ja hiukkaskylyyn  $\Rightarrow$  summaus  $N \in [0, \infty]$  o.k.  
Äärellinen vakiotilavuus  $V \Rightarrow$  hyvin suilla  $N$  pieni paino.  
(koska  $E_{Nr}$ :t kasvavat)
- \*  $Z$  voidaan kirjoittaa  $Z$ :n avulla:

$$Z = \sum_{N=0}^{\infty} \left\{ e^{\beta \mu N} \sum_r e^{-\beta E_{Nr}} \right\} = \sum_{N=0}^{\infty} e^{\beta \mu N} Z(T, V, N) \quad (7.4)$$

N:n yli summataan  $\Rightarrow Z = Z(T, V, \mu)$

- \* Kirjankin käytävä tavallinen merkintä:

$$\sum_{Nr} = \sum_N \sum_r \quad E_{Nr} = E_{N,r} \quad P_{Nr} = p_{N,r}$$

Keskiarvojen laskemisen sujuun tavalliseen tapaan, esim.

$$\langle E \rangle = \sum_{Nr} E_{Nr} P_{Nr} = \frac{1}{Z} \sum_{N=0}^{\infty} e^{\beta \mu N} \sum_r E_{Nr} e^{-\beta E_{Nr}}$$

$$\begin{aligned} \langle N \rangle &= \sum_{Nr} N P_{Nr} = \frac{1}{Z} \sum_{N=0}^{\infty} N e^{\beta \mu N} \sum_r e^{-\beta E_{Nr}} \\ &= \frac{1}{Z} \sum_{N=0}^{\infty} N e^{\beta \mu N} Z(T, V, N) \end{aligned}$$

## Huomiot laskennan määritelmistä

Kuten kanonisen joukon tapauksessa, termodynamiikin tilastollisten suureiden fluktuaatiot näiden keskiarvojen ympärillä ovat yleensä pieniä kun  $N$  on makroskooppinen. Kuten §2.4:ssa:

$$\left\{ \begin{array}{l} \langle N \rangle = \frac{1}{Z} \sum_{Nr} N e^{\beta(\mu N - E_{Nr})} = \frac{1}{\beta} \frac{1}{Z} \frac{\partial Z}{\partial \mu} = \frac{1}{\beta} \frac{\partial}{\partial \mu} \ln Z \\ \frac{\partial^2}{\partial \mu^2} Z = \beta^2 \sum_{Nr} N^2 e^{\beta(\mu N - E_{Nr})} = \beta^2 Z \langle N^2 \rangle \\ \frac{\partial^2}{\partial \mu^2} \ln Z = \frac{\partial}{\partial \mu} \left[ \frac{1}{Z} \frac{\partial Z}{\partial \mu} \right] = \underbrace{\frac{1}{Z} \frac{\partial^2 Z}{\partial \mu^2}}_{\beta^2 \langle N^2 \rangle} - \underbrace{\frac{1}{Z^2} \left( \frac{\partial Z}{\partial \mu} \right)^2}_{\left[ \frac{\partial}{\partial \mu} \ln Z \right]^2} = [\beta \langle N \rangle]^2 \end{array} \right.$$

$$\Rightarrow (\Delta N)^2 = \langle N^2 \rangle - \langle N \rangle^2 = \underbrace{\frac{1}{\beta^2} \frac{\partial^2}{\partial \mu^2} \ln Z}_{\substack{\uparrow \text{EKSTENSIOININEN (vrt. §7.3)} \\ \uparrow \text{INTENSIOIHUUUTTUUS}} \text{ }} \propto \langle N \rangle$$

$$\therefore \frac{\Delta N}{\langle N \rangle} \propto \frac{1}{\sqrt{\langle N \rangle}} \text{ mikä yleensä kirjoitetaan} \quad \boxed{\frac{\Delta N}{N} \propto \frac{1}{\sqrt{N}}} \quad (7.5)$$

Fluktuaatiot pieniä  $\Rightarrow$  perusteltua sanoistaan:  $\boxed{N = \langle N \rangle}$   
 TD  $\uparrow$  SM

## Terminologiasta

Puhuttaessa "suurkanonisesta joukosta" (SKJ) yleensä tarkoitetaan yhtä järjestelmiä SKJ:a vastaavissa olosuhteissa eli kantilla  $T, V, \mu$ . Järjestelman kopiot luvussa 7.1 ovat vain jokaisen tarvittava ajattelun apuneuvo. Nimi "partitiofunktio" on muuten osuva, esim

$$\begin{aligned} P(N_a \leq N \leq N_b) &= \sum_{N=N_a}^{N_b} \sum_r \frac{1}{Z} e^{\beta(\mu N - E_{Nr})} \\ &= \frac{1}{Z} \left\{ e^{\beta N_a \mu} Z(T, V, N_a) + \dots + e^{\beta N_b \mu} Z(T, V, N_b) \right\} \end{aligned}$$

$$P(N=\tilde{N}, E_k \leq E \leq E_x) = \frac{1}{Z(T, V, \tilde{N})} \left\{ e^{-\beta E_{\tilde{N}, k}} + e^{-\beta E_{\tilde{N}, x+1}} + \dots + e^{-\beta E_{\tilde{N}, x}} \right\}$$

### 7.3. SUURKANONISEN JOUKON TERMODYNAMIKKAA

Yhteys TD  $\leftrightarrow$  SM saadaan (2.14):n kautta (kts. myös s.(88)):

Termodynamiikassa tasapainossa (TDTP)

$$E = \langle E \rangle = \sum_{Nr} E_{Nr} P_{Nr} \quad N = \langle N \rangle = \sum_{Nr} N P_{Nr}$$

$$S = -k_B \sum_{Nr} P_{Nr} \ln P_{Nr} = -k_B \sum_{Nr} P_{Nr} \ln \left\{ \frac{1}{Z} e^{\beta(\mu N - E_{Nr})} \right\}$$

$$= -k_B \sum_{Nr} P_{Nr} \beta \mu N + k_B \sum_{Nr} P_{Nr} \beta E_{Nr} + k_B \ln Z \underbrace{\sum_{Nr} P_{Nr}}_1$$

$$= -\frac{\mu}{T} \langle N \rangle + \frac{1}{T} \langle E \rangle + k_B \ln Z$$

$\downarrow \quad \downarrow$

N            E

$$\therefore E - TS - \mu N = -k_B T \ln Z$$

Toisaalta (7.1):ssa oli määritelty

$$E - TS - \mu N \equiv \Delta G$$

joten TDTP:ssa on

$$\boxed{\Delta G(T, V, \mu) = -k_B T \ln Z(T, V, \mu)} \quad \text{TDTP} \quad (7.6)$$

$\uparrow_{TD} \quad \uparrow_{SM}$

Lisäksi TDTP:ssa pätee Gibbsin-Duhemin yhtälö (4.2)

$$E - TS + PV = \mu N \Rightarrow E - TS - \mu N = -PV$$

(EDELLEN EVN-SYSTEEMI)

$$\therefore \boxed{\Delta G = -PV} \quad \text{TDTP} \quad (7.7)$$

Huom.

\* Relaation (7.7) sukulaisia ovat myös (4.2):sta seuraavat

$$G \equiv E - TS + PV \stackrel{(4.2)}{\Rightarrow} G = \mu N \quad \text{TDTP}$$

$$F \equiv E - TS \stackrel{(4.2)}{\Rightarrow} F = \mu N - PV \quad \text{TDTP}$$

\* Epätasapainossakin  $\Delta G = E - TS - \mu N$  mutta (7.7) ei päde.

Suurkanonimissa tapauksissa TDTP-tilan määrää ei ole

$$(\Delta G)_{\text{TDTP}} = (\Delta G)_{\text{MIN}}$$

vrt. (3.2) ja (3.6) muille ensembleille.

(94)

Koko tuttu koneisto pelaa:

$$dU_{\text{fg}} = \dots = -SdT - PDV - Nd\mu$$

$$\Rightarrow S = -\left(\frac{\partial U_{\text{fg}}}{\partial T}\right)_{V,\mu} \quad P = -\left(\frac{\partial U_{\text{fg}}}{\partial V}\right)_{T,\mu} \quad N = -\left(\frac{\partial U_{\text{fg}}}{\partial \mu}\right)_{T,V}$$

Sivun ⑨2 tarkastelujen jatkoksi voidaan osoittaa, että

$$\beta \frac{(\Delta N)^2}{\langle N \rangle} = \dots = \left(\frac{\partial^2 U_{\text{fg}}}{\partial \mu^2}\right)_{T,V} / \left(\frac{\partial U_{\text{fg}}}{\partial \mu}\right)_{T,V}$$

$$\alpha_T = -\frac{1}{V} \left(\frac{\partial V}{\partial P}\right)_{T,N} = \dots = \frac{V}{N} \left(\frac{\partial^2 U_{\text{fg}}}{\partial \mu^2}\right)_{T,V} / \left(\frac{\partial U_{\text{fg}}}{\partial \mu}\right)_{T,V}$$

$$\begin{array}{c} \uparrow \\ \text{koska } P = P(T, V, N) = P(T, \frac{N}{V}) \\ \uparrow \qquad \uparrow \\ \text{TILANTYHTÄÖ} \qquad \text{AINOA MAHO} \end{array}$$

VÄÄRÄ RIITTÄVÄT KIINNITYSHÄÄMÄN  
PAINGEN EVN-SYSTEEMISSÄ TDTP:ssA

Mistä seuraa että  $\alpha_T \propto (\Delta N)^2$

Sivulta ⑨5 muistamme:  $C_V \propto (\Delta E)^2$

Lisäksi on vastaavasti:  $\chi_T \propto (\Delta M)^2$

∴ Responssifunktiot TDTP:ssa verrannollisia fluktuaatioihin.

(intuitiivisesti ok: fluktuaatot  $\leftrightarrow$  "herkkälukkereisyys")

Mikä oikeastaan on  $\mu$ ?

"Selitys" (1)

Määritelmä (2.4) sanoo että  $\mu = -T \left(\frac{\partial S}{\partial N}\right)_{E,V}$

Edelleen  $\mu = \left(\frac{\partial F}{\partial N}\right)_{T,V} = \left(\frac{\partial G}{\partial N}\right)_{T,P}$

Selitys (2)

Faasimuutosten yhteydestä:

$$\mu = g(T, P) = \frac{1}{N} G(T, P, N)$$

Harj. 2:3  $\Rightarrow$  Jos on  $\mu_1 < \mu_2$ , niin hiukkasvirta  $\textcircled{2} \rightarrow \textcircled{1}$ ,

kunnes lopulta  $\mu_1 = \mu_2$  (katso myös Harj. 9:1, 2). TÄSSÄ

on ymmärrettävä (§4.2), että epätasapainotiloike  $g = g(T, P; g)$   
eli  $g$ :n arvo muuttuu haettessa tasapainotiltaa  $g = g_{\text{TDTP}}$ .

### Selitys (3)

Havainnollistus: Idealisoitu hiukkaskylypy (L), jolle  $\$_L = \text{VAKIO}^{(*)}$  ja lisäksi  $E_L = N_L \varepsilon$ . Sen kanssa kontaktissa olevalle järjestelmälle ( $E, V=\text{VAKIO}, N$ ) on

$$dE = -dE_L = -\varepsilon dN_L = \varepsilon dN$$

Nyt luonnonlaisessa prosessissa

$$dS^{\text{tot}} = dS + d\$_L \stackrel{(*)}{=} d\$ \stackrel{(TDE)}{\geq} 0$$

$$dS = \underbrace{\left(\frac{\partial S}{\partial E}\right)_{V,N} dE}_{1/T} + \underbrace{\left(\frac{\partial S}{\partial V}\right)_{E,N} dV}_0 + \underbrace{\left(\frac{\partial S}{\partial N}\right)_{E,V} dN}_{-\mu/T}$$

josta saamee  $(\varepsilon - \mu) dN \geq 0$ :

$\mu < \varepsilon \Rightarrow dN \geq 0 \Rightarrow$  partikkeleita järjestelmään tulee  $\downarrow \mu = \varepsilon$

$\mu > \varepsilon \Rightarrow dN \leq 0 \Rightarrow$  partikkeleita läpypyytävät järjestelmästä  $\downarrow \mu = \varepsilon$

Tämä idealisoatio ei ole mitä kaukana mahdollisesta kuin ennen näyttäisi (kts. §8 jäljempänä).

### Selitys (4)

Järjestelmät, joissa  $N \approx \text{VAKIO}$ , missä  $\langle N \rangle$  tunnetaan  $\Rightarrow$

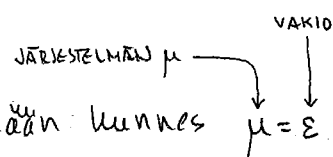
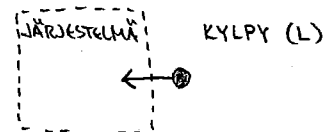
$$\langle N \rangle = \frac{1}{Z} \sum_{\text{Nr}} \underbrace{N e^{\beta(\mu N - E_N)}}_{\text{funktio } (T, V, \mu) : \text{sta}} \Rightarrow \mu = \mu(T, V, \langle N \rangle) \\ = \mu(T, V, N)$$

Siinä  $\mu$  on nyt vain parametri, jonka arvo määritetään ehdosta  $N = \langle N \rangle$ . Tällöin suurkanomisen formalismi on käytössä ainoastaan joidenkin laskujen helpottamiseksi.

Samaa filosofian kynnyksen myös lämpötila on vain parametri, joka määritetään ehdosta  $E = \langle E \rangle$ , eli kanonisen joukon tapauksessa

$$\langle E \rangle = \frac{1}{Z} \sum_r E_r e^{-\beta E_r} \Rightarrow T = T(V, N, E)$$

Lämpötila on kuitenkin universaliumpi otus kuin  $\mu$ , joka on eri suuret eri hiukkaslaajille.



### Selitys (5)

Kemiallinen potentiaali on "yleistetty voima":

$$dE = TdS - PdV + \mu dN + \cancel{\lambda} dM + \dots$$

$$= TdS + \sum_j \vec{F}_j \cdot d\vec{x}_j$$

↗ *yleistetty sijainti*  
 ↗ *yleistetty voima*

Tämä on erityisen kattava näkökulma tarkasteltaessa varatuja hiukkasia sähkökenttää, esim elektrodeille voidaan määritellä  $\tilde{\mu}(x,y,z) = \mu(x,y,z) + e\vec{\Phi}(x,y,z)$ , <sup>sähk. potentiaali</sup> jolloin sähkömagnetin kenttä =  $-\frac{1}{e} \nabla \tilde{\mu}(x,y,z)$ .  
 ↑ hiukkasia ajava kokonaiskenttä

Sovelluksia:

#### 7(a) KLASSINEN IDEALLIKAASU VIELÄ KERRAN

Bleetaan (vain) identiset vuorovaikutusetonat hiukaset

$$Z(T,V,N) = \frac{1}{N!} [z_1(T,V)]^N \quad (\star)$$

Tällöin (7.4)  $\Rightarrow$

$$\begin{aligned} Z(T,V,\mu) &= \sum_N e^{\mu N} Z(T,V,N) \\ (\star) &= \sum_N (e^{\mu})^N \frac{1}{N!} [z_1(T,V)]^N \\ &= \sum_N \frac{1}{N!} [e^{\mu} z_1(T,V)]^N \\ &= \exp [e^{\mu} z_1(T,V)] \quad (\star\star) \end{aligned}$$

mikä sis. seuraa ( $\star$ ):sta räppumatta sitä, mitä yhden hiukkisen partitiofunktio  $Z_1$  pitää sisällään. Tästä saadaan tilavuuslähtö  $PV = Nk_B T$  suurkanonisen järjeksen formulolla seuraavasti:

$$\left\{ \begin{array}{l} \text{U}_G = -k_B T \ln \chi \stackrel{(7.6)}{=} -k_B T e^{\beta \mu} Z_1(T, V) \\ N = -\left(\frac{\partial U_G}{\partial \mu}\right)_{T,V} = -\frac{\partial}{\partial \mu} \{-k_B T e^{\beta \mu} Z_1(T, V)\} = e^{\beta \mu} Z_1(T, V) \end{array} \right.$$

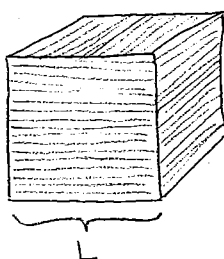
$$\Rightarrow \text{U}_G = -N k_B T \quad \left. \begin{array}{l} \\ \text{(7.7)} \quad \text{U}_G = -PV \end{array} \right\} \Rightarrow \boxed{PV = N k_B T}$$

Tämä sisä seurasi pelkästään ( $\star$ ):sta ilman ettei  $Z_1$  laskettuna.

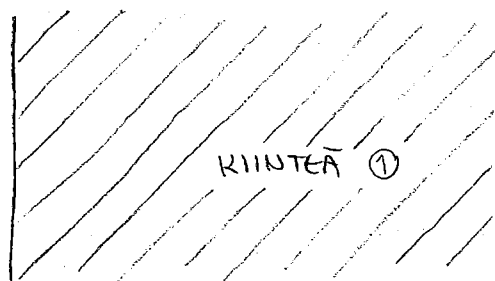
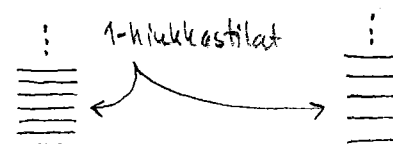
Mutta esim tulos  $e^{\mu/k_B T} = \frac{N}{V} \left( \frac{2\pi k^2}{m k_B T} \right)^{3/2}$  (Harij.) vaatii tiedon (6.6).

## 7(b) RAJAPINNOISTA

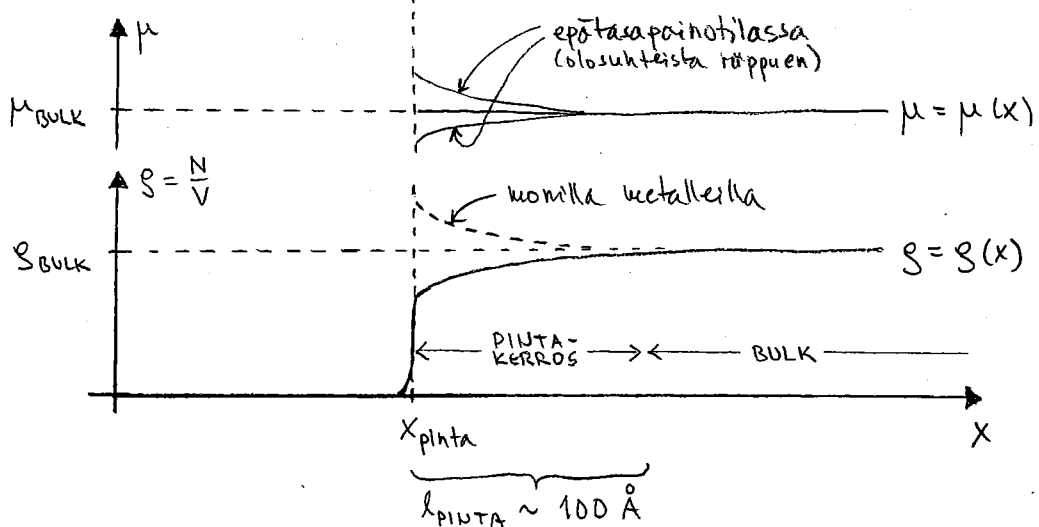
Olkoon esimerkkinä kiinteän kappaleen pinta:



② KAASU



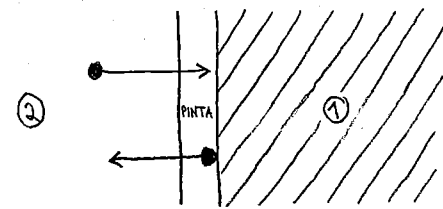
$\mu$  ja  $\sigma$  atomille:



Rajapinnan läheisyydessä alue, jossa "fysiilka enilaista" kuin syvällä materiaalin sisällä ("bulkissa"), missäaine on  $\approx$  homogeenista.

Tarkastellaan kahta fasia ja niiden rajapintaa TDTP:ssa:

$$\begin{cases} N = N_1 + N_2 + N_{\text{PINTA}} \\ V = V_1 + V_2 + V_{\text{PINTA}} \\ F = F_1 + F_2 + F_{\text{PINTA}} \quad (*) \end{cases}$$



Yritetaan kasvattaa kappaletta  $\Rightarrow$  sen pinta-alakin kasvaan jolloin on tehtävä työtä:

$$dW = -PdV + \sigma dA \quad (\text{yleistetty (1.5)})$$

$$dE = TdS - PdV + \sigma dA + \mu dN \quad (\text{yleistetty (1.13)})$$

$\uparrow$  ollaan TDTP:ssa  $\Rightarrow$  kaikesta sama

$$E - TS + PV - \sigma A = \mu N \quad (\text{yleistetty (4.2)})$$

$$\Rightarrow F = E - TS = -PV + \sigma A + \mu N \quad (**)$$

Tavallisesti  $l_{\text{PINTA}} \ll L \Rightarrow V_{\text{PINTA}} \ll V$  ja  $N_{\text{PINTA}} \ll N$

jolloin voidaan määritellä (sopivalla valinnalla) rajapinnalle makroisk näkökulmasta tarkka sijainti, jolloin  $(*) \wedge (**)$ :sta

$$F_s = \sigma A \quad \text{ja} \quad \sigma = F_s / A = \text{PINTAJÄNNITYS}$$

Huom.

Kaikessa tallä kurssilla tähän asti ja jatkossakin oletetaan, että pintailmiöt voidaan unohtaa. Usein tämä onkin hyvin approksimaatio, sillä makroisk ainemateriaalille

$$N \sim 10^{20} \quad L \sim 10^7 \text{ a} \quad (\text{a = atomien välimatka})$$

$$N_{\text{PINTA}} \sim \frac{L^3}{a^3} - \frac{(L-l_{\text{PINTA}})^3}{a^3} \sim \frac{L^2 l_{\text{PINTA}}}{a^3}$$

$$\therefore \frac{N_{\text{PINTA}}}{N} \propto N^{-1/3} \quad \Rightarrow \quad \frac{E_{\text{PINTA}}}{E} \sim 10^{-7} \quad \text{jne.}$$

eli pintailmiöistä tulevat korjaukset "bulk"-suureisuuksiin, kuten esim  $C_V$ , ovat tyypillisesti hyvin pieniä.

Tiettyissä soveltuksissa rajapintaeselitit ovat kuitenkin ratkaisevan tärkeitä (mikroelektronikka: "pikkienä pintaan" yms.).

## 8. KVANTTIMEKAANINEN IDEAAALIKAASU

Huom.

Tässä (kään) ei edellytetä kvantimekanikan formalin koneiston hallintaa - kurssin FYS207 tiedot rüttävät.

Luvussa §8.1 koneistaan vähän vilautetaan ikään kuin perustekuksi jatkossa tarvittavalle havainnolle, että on olemassa kahdella tavalla (\$M\$ kannalta) legitimatia hiukkasia:

### 8.1. FERMIONIT JA BOSONIT

#### Monihuukkastilat

Luvussa §7 (ja myös esim. §2) oli yleinen tarkastelu: monihuukkastilat, joiden energiat  $E_{N,r}$

$$E_{1,1} \leq E_{1,2} \leq \dots \leq E_{1,r} \leq \dots$$

$$E_{2,1} \leq E_{2,2} \leq \dots \leq E_{2,r} \leq \dots$$

⋮

$$E_{N,1} \leq E_{N,2} \leq \dots \leq E_{N,r} \leq \dots$$

⋮

Kvantimekanikan (QM) näkökulmasta:

monihuukkastillel  $|N,r\rangle$  on

$$\hat{\mathcal{E}}|N,r\rangle = E_{N,r}|N,r\rangle$$

$$\hat{N}|N,r\rangle = N|N,r\rangle$$

ABSTRAKTI TILA  
JOTA JOSAIN  
ESITYKSESSÄ  
KUVAA FUNKTIO

#### Yksihuukkastilat

Jatkossa eli §8:ssa (kuten oli esim. §6:ssa) vähemmän yleinen teoria: yksihuukkastilat, joiden energiat

$$\varepsilon_1 \leq \varepsilon_2 \leq \dots \leq \varepsilon_r \leq \dots$$

erivät rypu hiukkasmäärästä  $N$ . Näille yksihuukkastiloille ladmme (kvantimekaanisen) ideaalikaasun hiukkaset.

Yksihiukkastilojen tapauksessa N:n hiukkisen muodostaman kaasun mikrotilan (~kvanttilan) määritävät ominaisuudet

$$n_1, n_2, \dots, n_r, \dots$$

$$\sum_r n_r = N$$

ja kaasun energia on tällöin  $\sum_r n_r \epsilon_r$ .

Sis. ei vuorovaikutusta  $\therefore$  IDEAALIKAASU

Yhtä monen hiukkisen tilojen ominaisuutta ottaa voi kuitenkaan jättää huomiotta:

QM:n näkökulmasta yksihiukkastilat

$$|1\rangle, |2\rangle, \dots, |a\rangle, \dots, |b\rangle, \dots$$

$$\hat{H} = \sum_{j=1}^N \hat{h}_j \quad \hat{h}|r_j=a\rangle = \epsilon_a|r_j=a\rangle$$

Jos esim.  $N=2$ , miten koko kaasun tila on

$$|N=2, (r_1=a, r_2=b)\rangle =: |2, (a,b)\rangle$$

ja identtisille muilla (vrt. aalfunktion tn-tulkinta)

$$|2, (a,b)\rangle = e^{ia} |2, (b,a)\rangle = e^{ia} e^{i\alpha} |2, (a,b)\rangle$$

$$\Rightarrow e^{ia} = \begin{cases} -1 & \text{eli } |2, (a,b)\rangle = -|2, (b,a)\rangle \\ +1 & \text{eli } |2, (a,b)\rangle = +|2, (b,a)\rangle \end{cases} \quad (\text{A}) \quad (\text{S})$$

Toisaalta identtisille muilla rüttää

$$|2, \{n_a=1, n_b=1\}\rangle$$

jolloin antisymmetrisyys (A) ja symmetrisyys (S) toteutuvat valinnoilla

$$|2, \{n_a=1, n_b=1\}\rangle^{(\text{A})} = \frac{1}{\sqrt{2}} (|a\rangle, |b\rangle_2 - |b\rangle, |a\rangle_1)$$

$$|2, \{n_a=1, n_b=1\}\rangle^{(\text{S})} = |a\rangle, |b\rangle_2$$

Tila (A) on demassa ( $\neq 0$ ) vain jos  $a \neq b$

$\therefore$  PAULIN KIELTOSKÄÄNTÖ

Tilalla (S) ei tallista rajotusta ole.

Eupitrisen fakta & relativistisen kvanttimekanikkka:  
 N hiukkisen tila on joko antisymmetrinen (A) tai  
 symmetrinen (\$) hiukkasvaihdon suhteek  $\leftrightarrow$  spin  $\Rightarrow$   
 kahdenlaisia hiukkasia ja kaksi statistiikkaa

ANTISYMMETRINEN	SYMETRINEN
fermionit	bosonit
spin = $\frac{1}{2}, \frac{3}{2}, \frac{5}{2}, \dots$	spin = $0, 1, 2, \dots$
$e, p, n, {}^3\text{He}, \dots$	fotoni, pioni, ${}^4\text{He}, \dots$
$\rightarrow n_r = 0, 1$	$\rightarrow n_r = 0, 1, 2, 3, \dots$

Fermi-Dirac-statistiikka

Bose-Einstein-statistiikka

Statistiikka + diskreettisyys: KVANTTIMEKAAVINDEN IDEALIKAASET

## 8.2. KVANTTISTATISTIUKKA

Lähtökohdat tällä ja jatkossa:

- \* taukukko yllä: FD & BE
- \*  $\langle N \rangle$  hiukasta
- \* vuorovaikutukseton "kaasu"  $\Rightarrow$  yksihiuksatilat  $\varepsilon_r$
- \* luovutaan luvun 6.3 klassisuuksenhoidosta  $\langle n_r \rangle \ll 1$

Tällöin seurkanominen partitiofunktio (7.4) saa muodon

$$\begin{aligned} Z &= \sum_{N=0}^{\infty} \sum_S e^{\beta(\mu N - E_N)} \\ &= \underbrace{\sum_{N=0}^{\infty} \sum_{n_1}^{\sum n_i = N} \sum_{n_2}^{\dots} \dots}_{(*)} e^{\beta[\mu(n_1+n_2+\dots) - n_1 \varepsilon_1 - n_2 \varepsilon_2 - \dots]} \end{aligned}$$

Mutta (\*)issa käydään läpi kaikki mahdolliset  $(n_1, n_2, \dots)$

$$\Rightarrow Z = \sum_{n_1} \sum_{n_2} \dots e^{\beta[\mu(n_1+n_2+\dots) - n_1 \varepsilon_1 - n_2 \varepsilon_2 - \dots]}$$

(102)

mikä voidaan kirjoittaa muotoon

$$\mathcal{Z} = \prod_r \mathcal{Z}_r$$

TULO YLI YKSIHIUKKASTILOJEN (8.1)

$$\mathcal{Z}_r = \sum_{n_r} e^{\beta(\mu - \varepsilon_r)n_r}$$

YHDELLE YKSIHIUKKASTILALLE r (8.2)

$$P_r(n_r) = \frac{1}{\mathcal{Z}_r} e^{\beta(\mu - \varepsilon_r)n_r}$$

TODENÄÄTÖSYYS, ETÄÄ TILALLA r ON  $n_r$  HIUKKASTA (8.3)

Tulos ei ilene yllättävästi: tilat ja muukaset näkisi nyt toisistaan riippumattomia eli kunkin tila erikseen kontaktissa lämpö- ja muukaskylyyn kanssa.

Keskimääräisiksi määritysluvuiksi saamme

FERMIONEILLE

$$n_r = 0, 1 \Rightarrow \mathcal{Z}_r = \sum_{n_r=0}^1 e^{\beta(\mu - \varepsilon_r)n_r} = \underbrace{1 + e^{\beta(\mu - \varepsilon_r)}}_{\text{Fermion}}$$

$$N = - \left( \frac{\partial \ln \mathcal{Z}}{\partial \mu} \right)_{T,V}$$

$$\uparrow \quad \downarrow$$

$$\langle N \rangle = - \left( \frac{\partial}{\partial \mu} [-k_B T \ln \mathcal{Z}] \right)_{T,V}$$



$$\stackrel{(8.1)}{=} k_B T \sum_r \left( \frac{\partial}{\partial \mu} \ln \mathcal{Z}_r \right)_{T,V} = k_B T \sum_r \frac{1}{\mathcal{Z}_r} \left( \frac{\partial \mathcal{Z}_r}{\partial \mu} \right)_{T,V}$$

$$= \sum_r \frac{1}{e^{\beta(\varepsilon_r - \mu)} + 1} \quad (*)$$

Eri tilat ja niiden määritykset tiettyillä ( $\beta, \mu$ ) toisistaan riippumattomat  $\Rightarrow$  on oltava  $\langle N \rangle = \sum_r \langle n_r \rangle$ , joten saamme (\*):in termille tulkinnan

$$\langle n_r \rangle = \frac{1}{e^{\beta(\varepsilon_r - \mu)} + 1}$$

FD

(8.4)

YKSIHIUKKASTILAN r KESKIMÄÄRÄINEN MÄÄRITYSLUKU ( $\epsilon [0,1]$ )

BOSONEILLE

$$n_r = 0, 1, 2, \dots \Rightarrow Z_r = \sum_{n_r=0}^{\infty} e^{\beta(\mu - \varepsilon_r)n_r} = \sum_{n_r=0}^{\infty} [e^{\beta(\mu - \varepsilon_r)}]^{n_r}$$

Jos valitaan  $\varepsilon_1 = \min\{\varepsilon_r\} > 0$  (ei vaaranna yleisyyttä),

nämä  $Z_r$  on summattavissa jos  $\mu \leq 0$  (jolloin  $0 < e^{\beta(\mu - \varepsilon_r)} < 1$ )

$$\Rightarrow Z_r = \frac{1}{1 - e^{\beta(\mu - \varepsilon_r)}} \quad (\text{geometrinen sarja})$$

ja tulen edeltä

$$\langle N \rangle = \dots = k_B T \sum_r \frac{1}{Z_r} \left( \frac{\partial Z_r}{\partial \mu} \right)_{T,V} = \sum_r \frac{1}{e^{\beta(\varepsilon_r - \mu)} - 1}$$

$$\therefore \boxed{\langle n_r \rangle = \frac{1}{e^{\beta(\varepsilon_r - \mu)} - 1}} \quad \text{BE} \quad (8.5)$$

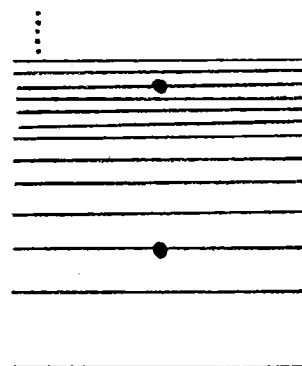
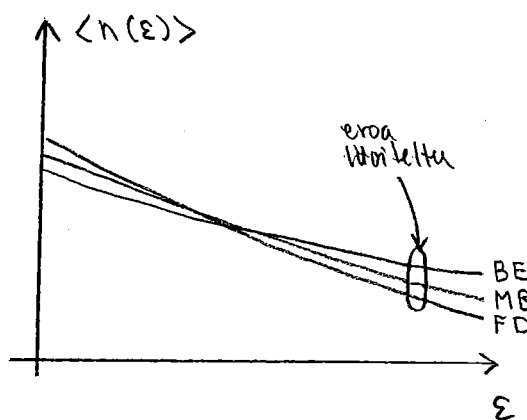
8.3. STATISTIKKOJEN VERTAILUAKlassiset olosuhteet

Korkea  $T$ , pieni  $N/V$

$$\langle n_r \rangle \ll 1 \quad \xrightarrow{(8.4)} \quad e^{\beta(\varepsilon_r - \mu)} \gg 1$$

$$\Rightarrow \xrightarrow{(8.4)} \quad \langle n_r \rangle = \frac{1}{e^{\beta(\varepsilon_r - \mu)} + 1} \approx \frac{1}{e^{\beta(\varepsilon_r - \mu)}}$$

$$\therefore \boxed{\langle n_r \rangle = e^{\beta(\mu - \varepsilon_r)}} \quad \text{MB = Maxwell-Boltzmann-statistiikka} \quad (8.6)$$



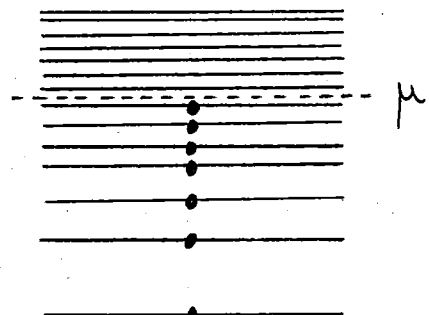
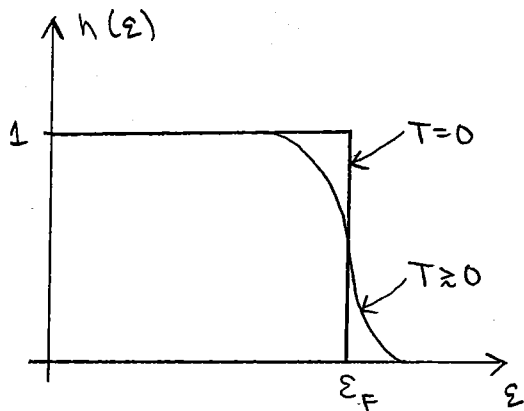
(kayrat samoilla  $\varepsilon_r$  ja  $N$ )  
risteävät:  $\sum \langle n_r \rangle = N$

## Kvanttilosuhteet

Matala T, suuri N/V

FERMI-DIRAC:

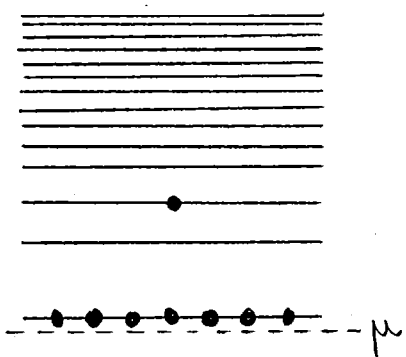
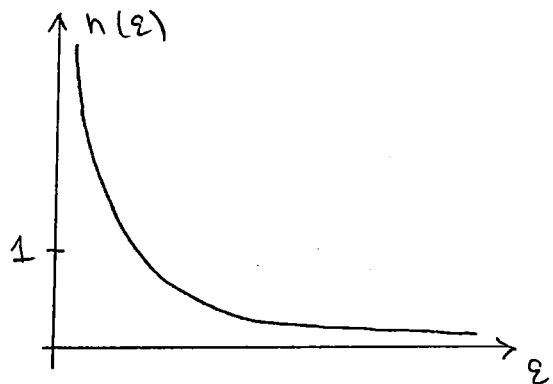
$$\langle n_r \rangle = \frac{1}{e^{\beta(\varepsilon_r - \mu)} + 1} \xrightarrow{T \rightarrow 0 \ (\beta \rightarrow \infty)} \begin{cases} 0, & \text{kun } \varepsilon_r > \mu \\ 1, & \text{kun } \varepsilon_r < \mu \end{cases}$$



$$\sum_r \langle n_r \rangle = N \Rightarrow \mu = \mu(T, V, N) \quad \text{ja} \quad \varepsilon_F := \mu(T=0) > 0$$

↑ FERMI-ENERGIA

BOSE-EINSTEIN:



Matalassa lämpötilassa on  $\mu \lesssim \varepsilon_1 \gtrsim 0$

Huom.

\* Kvanttilosuhteissa ei MB pääde lankaaan.

\* Tiettyle oirematralle (sits jos  $N = \text{valio}$ ) on TDTP:ssa

$$\sum_r \langle n_r \rangle = N \stackrel{(8.4-8.6)}{\Rightarrow} \mu = \mu(T, V, N)$$

$$\left( \frac{\partial \mu}{\partial T} \right)_{V, N} < 0 \quad \therefore \text{laskava T:n funktio}$$

Huom.

\* Seuraavassa tarkastellaan teorian soveltuksina ilmiöitä, joita voidaan jossain määrin mallintaa/ymmärtää ideaalista (sits vuorovaikutuksettomia) kvantimekaamisia monihiuksimalleja käyttäen. Yksinkertaisimmissa malleissa on vain muutama parametri (kuononvakioita ja esim. tiheys  $\rho = \frac{N}{V}$ ). Sen ymmärtämiseksi, miksi mikroskooppiset yleistyyppikohdat voi usein unohtaa, on kuitenkin periaatteessa tehtävä yleistyyppikontainen teoria (enkoriskurssien asiaa).

\* Vrt. aiemmin "fysiikan muuttuminen" kun

$$\mu B / k_B T \sim 1$$

$$J / k_B T \sim 1$$

$$\hbar\omega / k_B T \sim 1$$

$$\frac{1}{2}mv^2 / k_B T \sim 1$$

$$\lambda_{dB} / l \sim 1$$

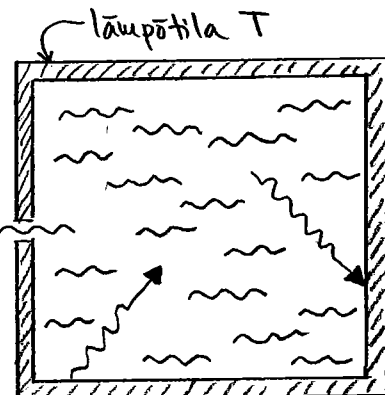
↑  
DIMENSIONOTTOMIA KOMBINAATIOITA FYSIKALISTA  
TILAONNETTA KUVAAVISTA PARAMETREISTA

Sovelluksia:

8(a) MUSTAN KAPPALEEN SÄTEILY (BBR)

Ideaalinen "musta kappale" = pieni aukko ontelon seinässä :

- säteily ontelon sisällä TDTP:ssa ontelon seinien kahssa
- pieni aukko ei hävitse TDTP:a ontelon sisällä
- aukko absorboi (!) ulkona tulevan säteilyn ja emittoi sisällä olevan säteilyn jakautuman spektrin mukaan.



Kokonaisesti: Stefan-Boltzmannin laki (1879)

$u(T) = \sigma T^4$	= OULTELOSÄTEILYN KOKONAISEN ENERGIATHEYS	(8.7)
$\sigma = \frac{\pi^2}{15 t^3 c^3} k_B^4$	$[u] = J/m^3$	
$I(T) = \sigma T^4$	= INTENSITEETTI / PINTA-ALAVYSIKKÖ	
$\sigma = ac/4$	$[I] = J/m^2 s$	

Malli: fotonit  $\propto$  keskenään vuorovaikutuksettomia  
 $\therefore$  kvantimekaaninen ideaalikaasu

Lähtökohdat: vanhasta muistista

$\varepsilon = \hbar \omega$	$\Rightarrow \hbar \nu$	KUANTITUMINEN FOTONEIKSI	(8.8a)
------------------------------	-------------------------	--------------------------	--------

$\omega = c k$	$\Rightarrow$	SÄHKÖMAGNETISTEN AALTOJEN DISPERSIORELAATIO	(8.8b)
----------------	---------------	---	--------

ja edeltä (§5.3) aallot tilavuudessa  $V = L^3 \Rightarrow$

$\vec{k} = (k_x, k_y, k_z) = \frac{\pi}{L} (m_x, m_y, m_z)$	$m_i > 0$	(8.8c)
---	-----------	--------

$$k = |\vec{k}| = \sqrt{k_x^2 + k_y^2 + k_z^2}$$

$\uparrow$  1. oktaanti

Fotoneikka on 2 poikittaista polarisatioluuntaa, joten tilojen lukumäärä välillä  $[k, k+dk]$  on

$$f(k) dk = 2 \times \frac{1}{8} \times \underbrace{4\pi k^2 \times dk}_{\vec{k}\text{-avaruuden pallonkuoren tilavuus}} \times \left(\frac{L}{\pi}\right)^3$$

$\uparrow$  1. oktaanti       $\uparrow$   $k$ -pisteiden tsheys  
 polarisaatio       $k$ -avaruuden pallonkuoren tilavuus

$$= \frac{V}{\pi^2} k^2 dk$$

Sama  $w$ :n avulla lausuttuna:

$$\underbrace{f(k) dk}_{\text{välillä pituus}} = \underbrace{f(w) dw}_{\text{välillä pituus}} \Rightarrow f(w) = f(k) \left| \frac{dk}{dw} \right|$$

$$(8.8b) \Rightarrow \boxed{f(w) dw = \frac{V}{\pi^2 c^3} w^2 dw} \quad (8.9)$$

fotonitilojen lukumäärä välillä  $[w, w+dw]$

Fotonikaasun mikrotiloja kuvavat yksinkertaistiloja (8.8), joita siihen ovat numeroitavissa, mitkäysluvut ( $n_1, n_2, n_3, n_4, \dots$ ).

Kaasun mikrotilan energia on yksinkertaisesti

$$E(n_1, n_2, \dots) = \sum_r n_r \varepsilon_r \quad ; \quad \varepsilon_r = \hbar \omega_r$$

$$\Rightarrow Z = \sum_{n_1=0}^{\infty} \sum_{n_2=0}^{\infty} \dots e^{-\beta(n_1 \varepsilon_1 + n_2 \varepsilon_2 + \dots)}$$

muodollisesti sama kuin bosonikaasun  $Z(T, V, \mu=0)$  luvussa §8.2  $\heartsuit \heartsuit$

$N$  on kolossa ei ole hinnoittely  $\Rightarrow$  ei ehtoja

Koska kaikke fotonitiloille  $\varepsilon_r > 0$ , voidaan partitiofunktio käsittellä kuten bosoneille tekijän §8.2:ssa asettuen  $\mu = 0$ .

Merkitsemme kuitenkin mieluummin  $Z$  kuin  $Z$  koska kyseessä ei varsinaisesti ole suurkanoninen joukko.

Tulos: kuten (8.5) mutta asettuen  $\mu = 0$ , siihen

$\langle n_r \rangle = \frac{1}{e^{\beta \varepsilon_r} - 1}$	BE-statistikkala fotoneille
---	-----------------------------

(8.10)

Siten TDTP:ssa fotonien lukumäärä välillä  $[\omega, \omega + d\omega]$  on

$$dN_{\omega} := \langle n(\omega) \rangle f(\omega) d\omega \stackrel{(8.8a)}{=} \stackrel{(8.9a)}{=} \stackrel{(8.10)}{=} \frac{1}{e^{\beta \hbar \omega} - 1} \frac{V \omega^2}{\pi^2 c^3} d\omega$$

Samalla välillä  $[\omega, \omega + d\omega]$  olevien fotonien yhteentasoista energia on siten

$$dE_{\omega} = \hbar \omega dN_{\omega} = \frac{V \hbar}{\pi^2 c^3} \frac{\omega^3 d\omega}{e^{\beta \hbar \omega} - 1}$$

josta sitten energiansatelli on kolon (tilavuus  $V$ ) sisällä taajuuskaistalla  $[\omega, \omega + d\omega]$  on

$u(\omega, T) d\omega = \frac{V}{\pi^2 c^3} \frac{\omega^3 d\omega}{e^{\beta \hbar \omega} - 1}$	PLANCKIN SATELYLAKI
--	---------------------

(8.11)

$\therefore$  kaikki räppien vain lämpötilasta  $T$

Pienillä taajuuksilla ( $\hbar\omega \ll k_B T$ ) on

$$u(\omega, T) \propto \frac{\omega^2}{\beta} \quad \text{ja} \quad dE_\omega \propto \frac{\omega^2}{\beta}$$

$$\Rightarrow \frac{\langle E \rangle}{\text{moodi}} = \frac{dE_\omega}{\int(\omega)d\omega} = k_B T \quad (\star)$$

"klassinen" tulos?

Tilojen diskreettisuus alkaa näkyä, kun  $\frac{\hbar\omega}{k_B T} \sim 1$ . Tarkemmin:

$$\hbar\omega_{\max} \approx 2.882 k_B T$$

Huom.

\* Klassinen  $u(\omega, T)$  johtaisi ns. UV-katastrofia, sillä

$$u(T) = \int_0^\infty d\omega u(\omega, T),$$

mutta (8.11) antaa äärettisen tuloksen (8.7).

$$\left( \int_0^\infty \frac{x^3 dx}{e^x - 1} = \frac{\pi^4}{15} \right)$$

\* Termodynamikkakin voidaan tehdä:

$$\mu = 0 \Rightarrow U_{BG} = E - TS = F$$

$$\Rightarrow \dot{s} = - \left( \frac{\partial F}{\partial T} \right)_V \quad \text{ja}$$

$$P = - \left( \frac{\partial F}{\partial V} \right)_T = \dots = \frac{1}{3} \alpha T^4$$

SÄTEILYPAINTE  
FOTONI-  
KAASUN  
TILAN-  
YHTÄLÖ

Tässä systeemissä  $N$  on merkityksetön (salvoihin kuin  $\mu$ ).

\* Vrt. Einsteinin hilavarähelyt (§5.2)

$$\langle \varepsilon \rangle = \hbar\omega_E \left\{ \frac{1}{2} + \frac{1}{e^{\beta\hbar\omega} - 1} \right\}$$

$$\hbar\omega_E \left\{ \dots \right\}$$

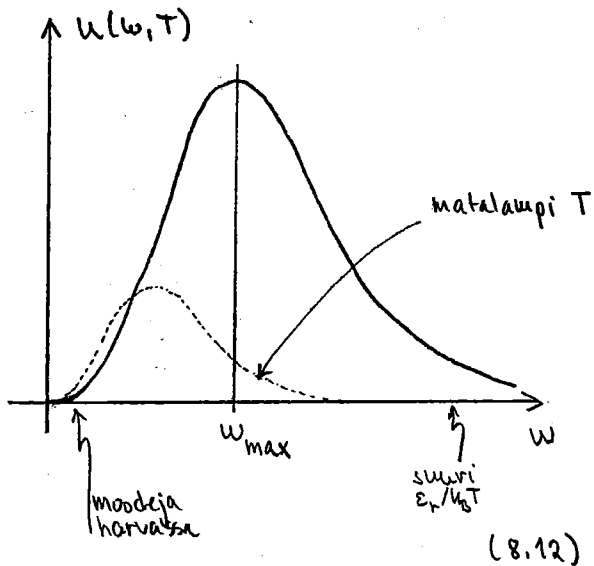
Analogia: fotonin luominen  $\leftrightarrow$  yksi askelma ylöspäistä varähelyspektrissä ("fononi")

Vrt. Debyen malli (§5.3): useita mooduja

$$E_{Debye} = c_0 + c_1 \int_0^{\omega_0} \frac{\omega^3 d\omega}{e^{\beta\hbar\omega} - 1}$$

\* lyhyesti muutama esimerkeki BBR:sta:

- kuumien kappaleiden lämpösäteily
- aurinkon pintalämpötila
- alkurajahdyksen murto: 3K taustasäteily
- murstan aurion säteily



(8.12)

## 8(b) METALLIEN JOHTAVUUSELEKTRONIT

### Kokkeilisesti

Metallin lämpökapasiteetti

$$\begin{cases} T \gg \Theta_0 \Rightarrow C_V \approx 3Nk_B \\ T \ll \Theta_0 \Rightarrow C_V \approx [\gamma T + \alpha T^3] N \end{cases} \quad (\text{§5.2, §6.5})$$

Esim. Kulta:  $\Theta_D^{Au} \approx 170 \text{ K}$   $\begin{cases} \gamma \approx 8.2 \times 10^{-5} k_B/\text{K} \\ \alpha \approx 4.6 \times 10^{-5} k_B/\text{K}^3 \end{cases} \quad (\text{§8(b)}) \quad (\text{§5.4})$

∴ Lineaarinen termi törkeaksi kun  $T \approx 1 \text{ K}$ .

### Lähtekohdat

Eristille  $\gamma = 0 \Rightarrow$  JOHTAVUUSELEKTRONIT !!

aineen kiteytymisen



jaksollinen rakenne

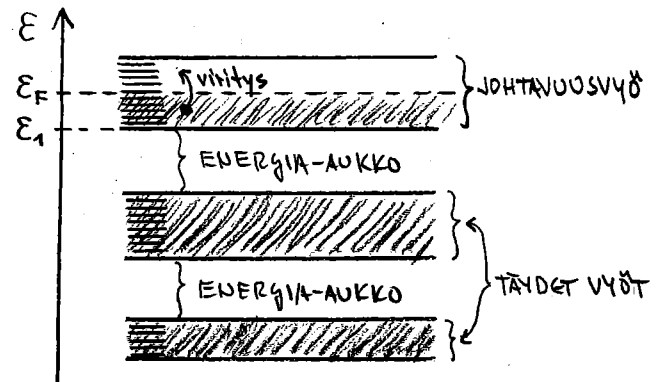
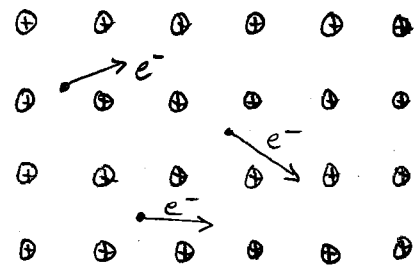


KVANTTIMEKANIKKA  
(SCH.-YHTÄLÖ)

elektroneille energiaväyt



APPROXIMAATIO



malli: johtavuuselektronit vapaita elektroneja

eli kvantimekaanista ideaalikaasua:

- (1) elektroni-ioni potentiaali "kuikko"
- (2) elektroni-elektroni-vuorovaikutukset merkityksellöinä
- (3) FD-statistikka (Paulin kieltosääntö)
- (4)  $\text{Spin} = \frac{1}{2} \Rightarrow 2$  elektronia /  $\vec{p}$ -tila

Lasketaan sitä & esim. kulle. Miten?

1° Elektromittilat  $\rightarrow$  tilatiheys  $f(\varepsilon)$

2° Miehitysluvut  $n(\varepsilon) \rightarrow$  tarvitaan  $\varepsilon_F = \mu(T=0)$

3° Hämpökapasiteetti  $C_V \leftrightarrow$  yksihiuksviritykset kun  $T > 0$

Täähin sitä:

### 1° Tilatiheys

Kvantimekanikka hukkaselle laatikossa

$\leftrightarrow$  seisovat aallot (kuten §6.3)

$$\vec{k} = \frac{\pi}{L} (m_x, m_y, m_z) \quad ; \quad m_i \geq 0$$

tilojen tiheys  
 $\vec{k}$ -avaruudessa

$$f(k) dk = g \cdot \frac{1}{8} \cdot \underbrace{4\pi k^2 dk}_{\substack{\text{pallonkuori} \\ \text{1. oktaanti}}} \cdot \left(\frac{L}{\pi}\right)^3$$

$\uparrow$  spin       $\uparrow$    
                  ↓

vaihtoehtoinen tapa: etenevät aallot ja periodiset reunaehdot

$$\Rightarrow \vec{k} = \frac{2\pi}{L} (m_x, m_y, m_z) \quad m_i = 0, \pm 1, \pm 2, \dots$$

$$\Rightarrow f(k) dk = g \cdot 4\pi k^2 dk \left(\frac{L}{2\pi}\right)^3 \quad \text{SAMA TULOS?}$$

Lukumäärä: vapaille hukkasille

$$\vec{p} = \hbar \vec{k}$$

$$\varepsilon = \frac{p^2}{2m}$$

(8.13a)

(8.13b)

$$f(p) = f(k) \left| \frac{dk}{dp} \right| \stackrel{(8.13a)}{=} \frac{V}{\pi^2} \frac{p^2}{\hbar^2} \frac{1}{\hbar}$$

$$f(\varepsilon) = f(p) \left| \frac{dp}{d\varepsilon} \right| \stackrel{(8.13b)}{=} \frac{V}{\pi^2} \frac{2m\varepsilon}{\hbar^3} \sqrt{\frac{m}{2\varepsilon}}$$

$$\therefore f(\varepsilon) d\varepsilon = C_0 V \sqrt{\varepsilon} d\varepsilon \quad C_0 = \frac{4\pi}{\hbar^3} (2m)^{3/2}$$

(8.14)

Elektronien lukumäärä energiavälillä  $[\varepsilon, \varepsilon + d\varepsilon]$  on siten

$$\underbrace{\langle n(\varepsilon) \rangle}_{\substack{(8.4) \\ \uparrow \text{TILOSEN LKM VÄLILLÄ}}} \underbrace{f(\varepsilon) d\varepsilon}_{\substack{(8.14) \\ \uparrow \text{TILOSEN KÄYTTYS LÄMPPÖTILASSA T}}} = C_0 V \frac{\sqrt{\varepsilon} d\varepsilon}{e^{\beta(\varepsilon - \mu)} + 1} \quad (\star)$$

Olkoot jatkossa  $N, V, T$  tunnettuja (tietty metallikappale).  
 (tietysti lämpötilassa).

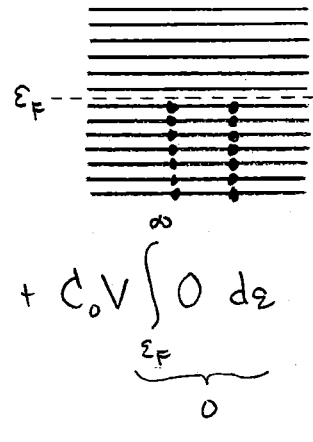
Fermienenergia  $\varepsilon_F = \mu(T=0)$  voi räppua vain parametreista  
 $\hbar, m, \frac{N}{V}$   $\uparrow$  INTENSIVINEN  $\Rightarrow$  RIIPPUU VAIN INTENSIVISISTÄ

## 2° Kemiallinen potentiaali

$T=0$  "täygen degeneroitunut fermikaasu"

$$\langle n(\varepsilon) \rangle \stackrel{T=0}{=} \begin{cases} 1, & \varepsilon < \varepsilon_F \\ 0, & \varepsilon > \varepsilon_F \end{cases} \quad (\star\star)$$

$$N = \underbrace{\int_0^\infty \langle n(\varepsilon) \rangle f(\varepsilon) d\varepsilon}_{\substack{\text{on oltava} \\ \uparrow}} = \stackrel{(\star\star)(\star\star)}{C_0 V \int_0^{\varepsilon_F} \sqrt{\varepsilon} \cdot 1 d\varepsilon} + C_0 V \int_{\varepsilon_F}^\infty 0 d\varepsilon$$



$$\Rightarrow \varepsilon_F = \frac{\hbar^2}{2m} \left( \frac{3}{8\pi} \frac{N}{V} \right)^{2/3} \propto g^{2/3} \quad (8.15)$$

$$\varepsilon_F = \frac{P_F^2}{2m} = \frac{\hbar^2 k_F^2}{2m} = k_B T_F = \frac{1}{g} \mu v_F^2 \quad (8.16)$$

Nollalämpötilassa elektronit täyttävät siiks kaikki  $\vec{k}$ -tilat fermiaaltovaltoihin pituuteen  $k_F$  saakka.

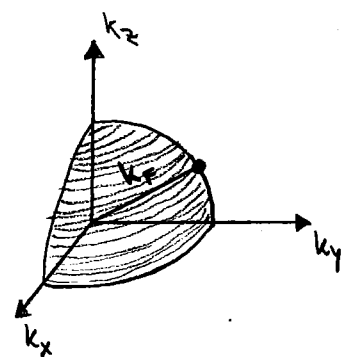
$\vec{k}$ -avaruuden osaa  $|\vec{k}| \leq k_F$  kutsutaan fermipalloksi ja aluetta, jossa  $|\vec{k}| \approx k_F$ , kutsumme fermipiikkaksi.

Fermipiikkalla sijais elektronille  $\varepsilon \approx \varepsilon_F$ .

Esim. Kulta  $\frac{N}{V} \approx 5.9 \times 10^{28} \text{ m}^{-3}$

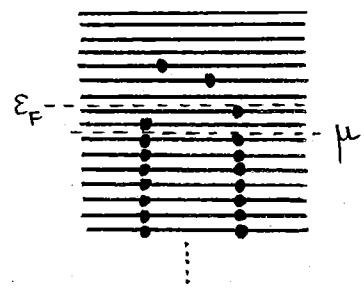
$$\Rightarrow \varepsilon_F^{\text{Au}} \approx 5.5 \text{ eV} \quad \text{ja} \quad T_F \approx 64000 \text{ K}$$

$$v_F \approx 1400 \text{ km/s}$$



$$0 < T \ll T_F$$

Matalassa (mutta  $\neq 0$ ) lämpötilassa vain osa fermionipinnan läheiltä olevista elektronista jaksaa virittää viritystilolle  $\varepsilon > \varepsilon_F$ .



Tällä lämpötilan alueella pätee Sommerfeldin kehitymä

$$\int_0^{\infty} \frac{\phi(\varepsilon) d\varepsilon}{e^{(\varepsilon-\mu)/k_B T} + 1} \stackrel{+ \phi}{=} \int_0^{\mu} \phi(\varepsilon) d\varepsilon + \frac{\pi^2}{6} (k_B T)^2 \left. \frac{d\phi}{d\varepsilon} \right|_{\varepsilon=\mu} + \dots$$

$$\left\{ \begin{array}{l} N = \int_0^{\infty} d\varepsilon \langle n(\varepsilon) \rangle f(\varepsilon) \quad \therefore \text{tässä } \phi(\varepsilon) = \sqrt{\varepsilon} \\ \int_0^{\infty} \frac{\sqrt{\varepsilon} d\varepsilon}{e^{(\varepsilon-\mu)/k_B T} + 1} \stackrel{\text{Sommerf.}}{\approx} \frac{2}{3} \mu^{3/2} + \frac{\pi^2}{6} (k_B T)^2 \cdot \frac{1}{2\sqrt{\mu}} \end{array} \right.$$

$$\Rightarrow N \approx C_0 V \left[ \frac{2}{3} \mu^{3/2} + \frac{\pi^2}{12} \frac{(k_B T)^2}{\sqrt{\varepsilon_F}} \right] \quad \left. \begin{array}{l} \varepsilon_F = k_B T_F \\ \Rightarrow \end{array} \right]$$

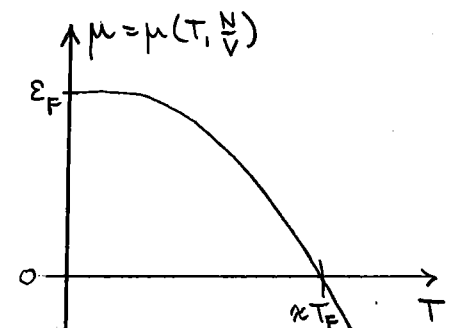
Torsaalta oli  $N = C_0 V \cdot \frac{2}{3} \varepsilon_F^{3/2}$

$$\mu(T, V, N) \approx \varepsilon_F \left[ 1 - \frac{\pi^2}{12} \left( \frac{T}{T_F} \right)^2 \right]$$

(8.17)

### Huom.

- \* Sommerfeldin kehitymä on puhasta matemattinen tulos FD-tyypillisille funktioille. Siitä ei itsessään ole mitään fyysikkää - yllä vain täydellisyyden vuoksi.
- \* Tapausta  $0 < T \ll T_F$  on tarpeen muistaa, että ehdon  $N = \int d\varepsilon \langle n(\varepsilon) \rangle f(\varepsilon)$  kautta määrätästä tullee parametri, joka on  $T$ :n ja  $\frac{N}{V}$ :n funktio.
- \* Sils vain  $T=0$ -issa on  $\mu = \varepsilon_F$ .



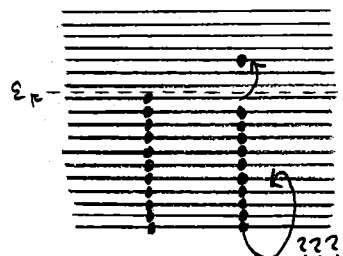
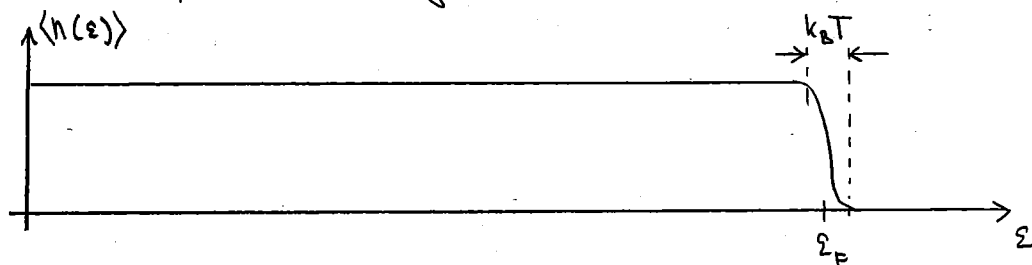
### 3° Lämpökapasiteetti

Metalleille  $\varepsilon_F \geq 1 \text{ eV} \Rightarrow T_F \geq 10000 \text{ K}$ .

Siten normaalioloissa  $\langle n(\varepsilon) \rangle$  poikkeaa vain hiukan nollalämpötilan muodostaan  $\Rightarrow$  vain lähekkä fermipintaa olevat elektronit ovat virittäjä ja vaikuttavat  $C_V$ :iin.

Tilanteessa on  $\varepsilon_F$ -in lisäksi vain yksi toinen energiaparametri:  $k_B T \Rightarrow$

FD-jakauman portaan leveys  $\sim k_B T$



Virittävien elektronien lukumäärä on sitten suunnilleen

$$N_{ex} \approx f(\varepsilon = \varepsilon_F) \cdot k_B T$$

Edeltä:

$$(8.14) \Rightarrow f(\varepsilon_F) \approx C_0 V \sqrt{\varepsilon_F} \quad (8.15) \Rightarrow N = C_0 V \cdot \frac{2}{3} \varepsilon_F^{3/2} \quad \left. \begin{array}{l} f(\varepsilon_F) \approx \frac{3}{2} N \frac{1}{\varepsilon_F} \\ \end{array} \right\} \Rightarrow f(\varepsilon_F) \approx \frac{3}{2} N \frac{1}{\varepsilon_F}$$

$$\Rightarrow N_{ex} \approx \frac{3}{2} N \frac{k_B T}{\varepsilon_F} = \frac{3}{2} N \frac{T}{T_F}$$

Aiemmin opittua: Virittävän mukaisen tyypillinen viritysenergia lämpötilassa  $T$  on luokkaa  $k_B T$

$$\Rightarrow E(T) \approx E(T=0) + N_{ex} \cdot k_B T$$

$$\approx E(T=0) + \frac{3}{2} N k_B \frac{T^2}{T_F}$$

$$\Rightarrow C_V^{\text{elektr}} = \left( \frac{\partial E}{\partial T} \right)_{V,N} \approx 3 N k_B \frac{T}{T_F} \propto T \quad \underbrace{\text{o.k.}}$$

Kuten aiemmin puhle, voidaan myös  $E(T)$ :lle laskea tarkempi tulos Sommerfeldin kehityksellä

$$C_V^{\text{elektr}}(T \ll T_F) \approx \frac{\pi^2}{2} N k_B \frac{T}{T_F}$$

Mikä on hyvin tähellä edellisen sivun karkeaa arviota.

Esim. Kulta  $T_F \approx 64\,000$  K

$$\begin{aligned} \Rightarrow \gamma_{\text{teor}} &\approx 7.7 \times 10^{-5} \text{ k}_B/\text{K} \\ \gamma_{\text{exp}} &\approx 8.2 \times 10^{-5} \text{ k}_B/\text{K} \end{aligned} \quad \left. \begin{array}{l} \triangleright \\ \circ \end{array} \right.$$

Huom.

- \* laskuharjoituksissa arvioidaan lisäksi aänien nopeus metallissa (ks. myös sovitus 3(c)) fermikaasumallia käytäen. Esim. natriumille  $v_s^{\text{teor}} \approx v_s^{\text{exp}}$  hyvin  $\triangleright$
- \* Miksi teoria toimii niin hyvin?
  - alkali- ja jalometallit: 1 johtavuuselektroni / atomi
    - $\Rightarrow$  pienehkö elektronitehys
    - $k \leq k_F \leq k_{\text{HILARAKENNE}}$
  - vuorovaikutukset vähintään: läheiset tilat kierrätty
    - $\Rightarrow$  minne sirota? (PKS)
  - matala T: vähän kidevirheitä ja pienet varahankilöt
    - $\Rightarrow$  melkoon täydellinen kide  $\therefore$  ei sirottaa
  - varausten varjostuminen:
    - $\Leftrightarrow \oplus \leftrightarrow \ominus$
    - $\Rightarrow$  varaus ei näykaan kauas
  - seuraus yläolevista: elektronin  $l_{\text{free}} \sim \text{cm}$
  - huoneentämpötila  $\ll T_F$ 
    - $\Rightarrow$  elektroneille matala lämpötila
    - $\Rightarrow$  "helppo" matalan lämpötilan approksimaatio o.k.

### 8(c) BOSEN-EINSTEININ KONDENSAATIO (BEC)

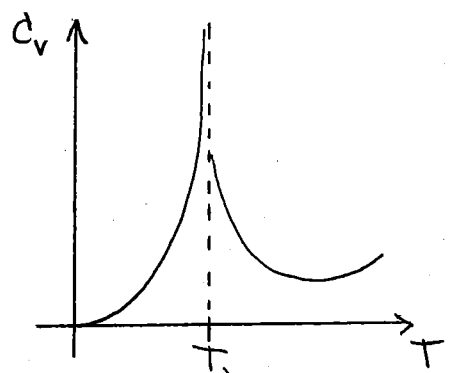
#### Kokeellisesti

$^4\text{He}$ -nesteen lämpökapasiteetti:

$T > T_\lambda$  "normaali" neste

$T = T_\lambda \approx 2.17 \text{ K}$  fahsiuntos

$T < T_\lambda$  suprajoksevuus



Isooppista  $^3\text{He}$  koostuva neste taas muuttuu

suprajoksevaksi paljon alhemassa lämpötilassa ( $\approx 0.002 \text{ K}$ ).

Ero isooppien välillä tiettyneet sitten, että

$^4\text{He}$ :ssa parillinen määrä spin- $\frac{1}{2}$ -hiukkasta  $\Rightarrow$  bosoni

$^3\text{He}$ :ssa pariton määrä spin- $\frac{1}{2}$ -hiukkasta  $\Rightarrow$  fermioni

#### Lähtökohdat

Bosonit + matala lämpötila  $\rightarrow$  haetaan

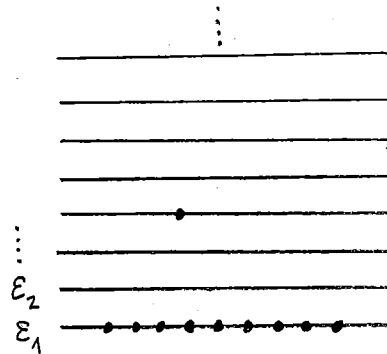
selitystä sitä, että vaikka hiukkasten

mahdolliset tilat ovatkin hyvin tiheässä

$$\Delta k = \frac{\pi}{L} \quad (V=L^3 \text{ makroskooppien!}),$$

silti voidaan alimpaan ylemminkäytävään

kertyä makroskooppien osa hiukkastasta.



Malli: vuorovaikutukseton (ideaalinen) bosonikaashi

(1) hiukkasten väliset vuorovaikutukset merkityksessään

(2) BE-statistikka

#### Huone.

\* Elektronikaassussa (soveltuu 8(b)) ei alimman tilan merkitys voi koskaan olla makroskooppien:  $\frac{g}{N}$  on mikroskooppien!

\* Vaikka BEC-malli näyttääkin antavan järkevän arvon lämpötilalle  $T_\lambda$ , se ei lopulta kuitenkaan kuvaa  $^4\text{He}$ :n fysikaalia konkreettisesti.

## Fysikon arvauks

Käytetään tätä merkintää  
( $T_c$  on varsin  ${}^4\text{He}$ :n  $T_c$ )

Kuinka matala  $T = T_c$  tarvitaan?

Ideaalinen bosekaasu  $\Rightarrow$  käytössä parametrit  $t_h, m, \frac{N}{V}$

$$\left. \begin{array}{l} [t_h] = Js = kg \text{ m}^2 \text{ s}^{-1} \\ [m] = kg \\ \left[ \frac{N}{V} \right] = m^{-3} \end{array} \right\} \Rightarrow \underbrace{[k_B T_c]}_{[E]} = \left[ \frac{t_h^2 k^2}{2m} \right] = \underbrace{\left[ \frac{t_h^2}{m} \left( \frac{N}{V} \right)^2 \right]}_{[E]}$$

$$\therefore k_B T_c \sim \frac{t_h^2}{m} \left( \frac{N}{V} \right)^{2/3} \approx 1 \text{ K} \quad \left( \frac{N}{V} \approx 2 \times 10^{28} \text{ m}^{-3}, m \approx 7 \times 10^{-27} \text{ kg} \right)$$

Tehdäksemme sitten kolmea tarkemmin: Hollman jekoni on jälleen

1° Tilatilavuus  $f(\varepsilon)$

2° Kemiallinen potentiaali

3° Yhtenäisyytysvaihtoehdot  $\Rightarrow C_V$

### 1° Tilatilavuus

Kuten aiemmin, hukkaselle laatikossa  $V = L^3$  on

$$\vec{k} = \frac{\pi}{L} (m_x, m_y, m_z) ; m_i \geq 0 \quad (\text{seisovat aakkot})$$

$$\left[ \vec{k} = \frac{2\pi}{L} (m'_x, m'_y, m'_z) ; m'_i = 0, \pm 1, \pm 2, \dots \quad (\text{leikkivät aakkot}) \right]$$

$$\Rightarrow f(k) dk = 1 \cdot \frac{1}{8} \cdot 4\pi k^2 dk \cdot \left( \frac{L}{\pi} \right)^3$$

↑ ei spin-degenerointia (vrt. § 8(b))

Napaise hukkaselle ((6.4) tai (8.13)) on

$$\vec{p} = t_h \vec{k} \quad \text{ja} \quad \varepsilon = \frac{t_h^2 k^2}{2m} = \frac{p^2}{2m}$$

$$f(\varepsilon) = f(p) \left| \frac{dp}{d\varepsilon} \right|$$

$$\therefore f(\varepsilon) d\varepsilon = D_0 V \sqrt{\varepsilon} d\varepsilon \quad D_0 = \frac{2\pi}{h^3} (2m)^{3/2} \quad (8.18)$$

↑ normaali 3-dim tapauks  
(vrt. Harj. 10:4 2-dim)

## 20 Kemiallinen potentiaali

$$N = \sum_r \langle n_r \rangle \xrightarrow{\text{INTEGRAALIKSI}} N = \int_0^\infty d\varepsilon \langle n(\varepsilon) \rangle f(\varepsilon)$$

$$\langle n(\varepsilon) \rangle f(\varepsilon) d\varepsilon \stackrel{(8.5)}{=} D_0 V \frac{\sqrt{\varepsilon} d\varepsilon}{e^{\beta(\varepsilon-\mu)} - 1}$$

Merkittävä  $\boxed{\frac{N}{V} = D_0 I(T, \mu)}$  missä  $I(T, \mu) = \int_0^\infty \frac{\sqrt{\varepsilon} d\varepsilon}{e^{\beta(\varepsilon-\mu)} - 1}$  (★)

Sits kun  $\frac{N}{V}$  on vakio, on oltava  $I(T, \mu) = \text{vakio}$

$\Rightarrow$  ratkaisavarissa  $\mu = \mu(T, V, N) = \mu(T, \frac{V}{N}) = \mu(T)$

↑ interaktiivimutteja var TOTP:ssa  
rakenna vain interaktiivimutteista

Nyt havaitaan, että  $\exists T_c > 0$

$$I(T_c, \mu=0) = \int_0^\infty \frac{\sqrt{\varepsilon} d\varepsilon}{e^{\varepsilon/k_b T_c} - 1} = (k_b T_c)^{3/2} \underbrace{\int_0^\infty \frac{\sqrt{x} dx}{e^x - 1}}_{\text{mukujanvaihto } x = \varepsilon/k_b T_c} \quad (\star\star)$$

missä

$$\boxed{k_b T_c \approx 3.3 \times \frac{\pi^2}{m} \left( \frac{N}{V} \right)^{2/3}} \quad (8.19)$$

Nyt sits ( $\star$ ):n mukaan  $\mu < 0$  vain kun  $T > T_c$ .

Torsaalta BE:lle on oltava  $\mu < \varepsilon_1$ .

Katsoako sits hiukassa jonnekin kun  $T < T_c$ ?

Valitaan jatkon helpottamiseksi  $\varepsilon_1 = 0$ , jolloin  $f(\varepsilon_1) = f(0) = 0$ ,  
joten alimman tilan mukautuvat hiukaset ovat todellakin  
kateissa, mutta vain laskustamme ( $\star$ ) yllä: Integraalissa I  
ei huomioida sitä, että  $N_1 := \langle n(\varepsilon_1) \rangle \gg 1$ .

Korjataan asia:

$$N = N_1 + N_{\varepsilon>0} = \langle n(\varepsilon=0) \rangle + \int_0^\infty d\varepsilon \langle n(\varepsilon) \rangle f(\varepsilon)$$

$$= \frac{1}{e^{-\mu/k_b T} - 1} + D_0 V I(T, \mu)$$

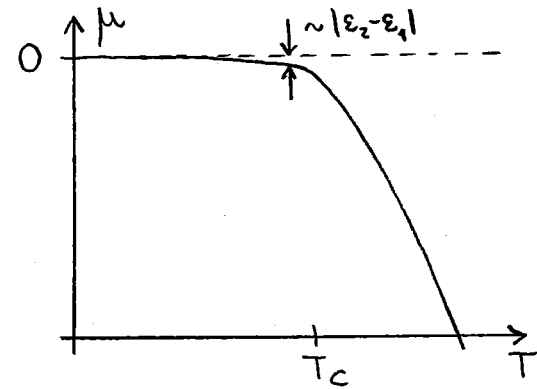
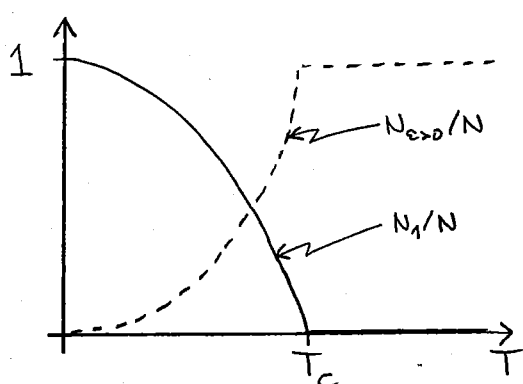
Koska  $N$  on makroskooppinen luku, on tällä korjausella merkitystä vain kun  $N_1$  on makroskooppinen, sitä kun pääsee  $\mu/k_B T \approx 0$  eli (8.19):n määritelmän kriittisen lämpötilan  $T_c$  alapuolella. Tällöin on  $N_{\varepsilon>0} < N$  ja

$$N_{\varepsilon>0} \approx D_0 V I(T, \mu=0)$$

$$= D_0 V (k_B T)^{3/2} \int_0^{\infty} \frac{\sqrt{x} dx}{e^x - 1} \stackrel{(\star\star)}{=} N \left( \frac{T}{T_c} \right)^{3/2} \quad \boxed{\Rightarrow}$$

$$\text{toisaalta } N = N_1 + N_{\varepsilon>0}$$

$$\boxed{\frac{N_1}{N} \approx 1 - \left( \frac{T}{T_c} \right)^{3/2} \quad \text{kun } T < T_c}$$



### 3° Lämpökapasiteetti

Lämpötilassa  $T$  viritysenergia seurauksia  $k_B T \Rightarrow$

$$E(T) \approx N_1 \cdot \varepsilon_1 + N_{\varepsilon>0} \cdot k_B T = N \left( \frac{T}{T_c} \right)^{3/2} k_B T \quad (T < T_c)$$

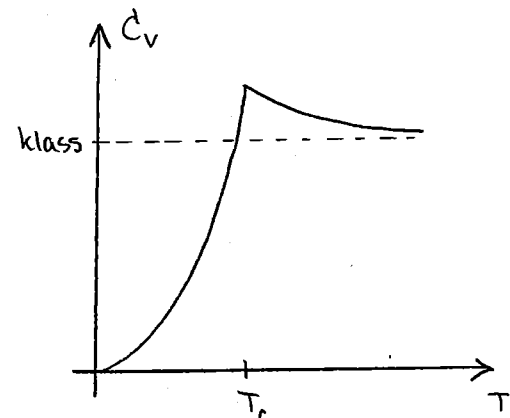
$$\Rightarrow C_v = \left( \frac{\partial E}{\partial T} \right)_{V,N} \approx \frac{5}{2} N k_B \left( \frac{T}{T_c} \right)^{3/2} \quad (T < T_c)$$

Tarkempi lasku:

$$E(T) = N_1 \cdot \varepsilon_1 + \int_0^{\infty} d\varepsilon \varepsilon \langle n(\varepsilon) \rangle f(\varepsilon)$$

$$\Rightarrow C_v = 1.93 N k_B \left( \frac{T}{T_c} \right)^{3/2} \quad \text{kun } T < T_c$$

$$\lim_{T \rightarrow \infty} C_v = \frac{3}{2} N k_B \quad (\text{f6})$$

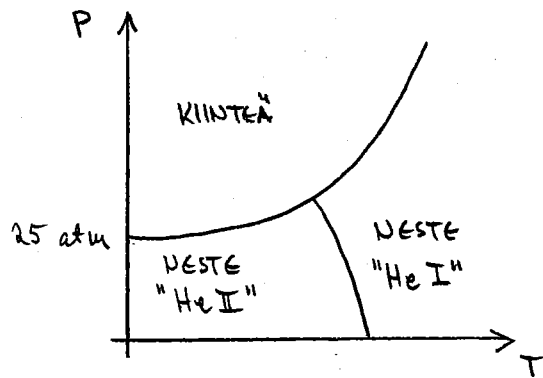


## Historiikki

- \* Ohnes ~1900:  ${}^4\text{He}$  nesteeksi (Nobel 1913)
- \* Einstein 1925: bosonien kondensointuminen perustalle, ennuste
- \* Kapitza ~1940:  ${}^4\text{He}$ :n suprajouksevuus kokeellisesti (Nobel 1978)
- \* Landau ~1958: teoria  ${}^4\text{He}$ -lle (Nobel 1962)
- \* Lee et al >1970:  ${}^3\text{He}$ :n suprajouksevuus (Nobel 1996)
- \* Harvojen kaasujen BE-kondensaatti ~1995 (Nobel 2001?)

## Tapaus ${}^4\text{He}$

Faasidiagrammi:



Yhtalo (8.19) antaa normaalipainessa  $T_c \approx 3.1 \text{ K}$ ; kokeellisesti on mitattu  $T_d = 2.17 \text{ K}$ ! Kuitenkin

- \*  ${}^4\text{He}$  on neste eikä kaasu

⇒ vuorovaikutukset

⇒ kollektiiviset ilmiöt

⇒ ei-yksi-hiuksastilat

- \* kaksinestevahti ( $T < T_d$ )

(1) normaali komponentti

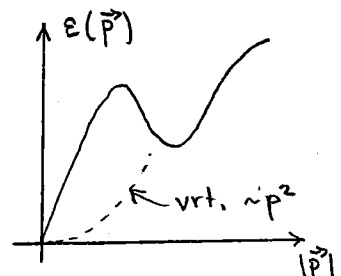
(2) suprajoukseva komponentti

- viskositeetti  $\approx 0$  (ei selitys ideaalikaasulta)

- alimmat viritystilat  $\sim$  "äämaaltoja"

- toinen ääni  $\sim$  "entropia-aallot"

yksittäin: kaluden faash (182) seos



## "Oikeat" BE-kondensaattit

Alkalimetallihöyryt:  $(\frac{V}{N})^{1/3} \sim 1000 \text{ Å}$   $\Rightarrow$  ~idealisat

Entimäinen havainto:  ${}^{87}\text{Rb}$

Kokeellinen menetelmä: Laser-jäädytys (Nobel 1997)

Huom:  $T_c$  alenee  $k_B T$ -heijden lahkissa (8.10):n mukaisesti,  
joten tässä  $T_c \sim \mu k$

## Yhteys suprajohdavuuteen

Kaksi elektronia:

- tyhjössä Coulombin repulsio
- kítessä myös välillinen vuorovaikutus ionien kautta  
 $\Rightarrow$  sopivissa oloissa attraktio  
 $\Rightarrow$  Cooperin pari (BCS-teoria, Nobel 1972)

- kaksi elektronia = bosoni ( $2 \times \text{spin-}\frac{1}{2}$ )
  - parin "koko"  $\sim 1000 \text{ Å}$
  - parien etäisyys  $\sim 1 \text{ Å}$
- $\} \Rightarrow$  ei-idealisat

$\Rightarrow$  symmetrinen isotiivisuuksista

Tulos:  $\exists T_c$ , jonka alapuolella resistanssi katoaa, kun elektronit kondensoituvat suprajohdavalalle tilalle.

Vuosille "korkean lämpötilan suprajohdeille" (Nobel 1987) ei ole tällä hetkellä tehtyä täytävä teoriaa.

## Tapaus ${}^3\text{He}$

Viusimmat havainnot: 3 erilaista suprajohdavaa fasasia.

Selitys: samaan tapaan kuin suprajohdavuus eli kaksi fermionia muodostaa rüttävän pitkäikisen parin = bosoni.

## Huom.

Kvantinestriden teoriaa selitetään suht. ymmärtettävästi kirjassa Plischke & Bergersen: Equilibrium Statistical Physics (2nd edition).

## 8(d) LABRATÖÖ: TERMINEN ELEKTRONIEMISSION

Fysikaalinen tilanne:

metallilangan lämmitäminen

⇒ elektroneja karkaa

⇒ elektronien virta  $\vec{J}$  ulos metallista

Uusi parametri:

$e\phi$  = elektrominkin irrotustyö

kokoelmissesti metalleikke  $e\phi \sim 5 \text{ eV}$

Elektroni voi irrota, jos

$$\varepsilon - \mu > e\phi \quad (*)$$

ja kokeessa ( $T \sim 1000 \text{ K}$ ) on  $\mu \approx \varepsilon_F \sim 5 \text{ eV} \leftrightarrow 55000 \text{ K}$

⇒ irtoaville elektronille on  $\frac{\varepsilon - \mu}{k_B T} \gg 1$ .

Kirjoitetaan homma vahinkoille nopeuden  $\vec{v}$  avulla:

$\vec{v}$ -avaruuden muutossa  $[v_x, v_x + dv_x] \times [v_y, v_y + dv_y] \times [v_z, v_z + dv_z]$

oleiden vapaaelektronitilojen lukumäärä on (seisovat aallot):

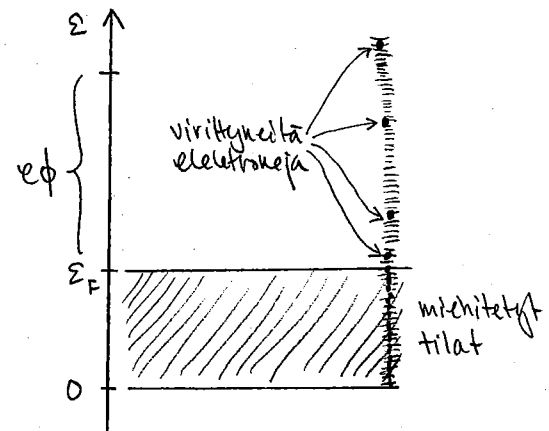
$$2 \cdot \frac{V}{\pi^3} dk_x dk_y dk_z = \frac{2 V m^2}{\pi^3 \hbar^3} dv_x dv_y dv_z \quad (k_i > 0) \\ \left. \begin{array}{l} \vec{p} = t \vec{k} \\ \vec{p} = m \vec{v} \end{array} \right\} \Rightarrow \vec{k} = \frac{m}{t} \vec{v}$$

Nyt on karkaavilla elektronilla tiedyn lähesuunta ⇒ otettava luompoon tekijä  $\frac{1}{8}$  (joka ei tässä tapauksessa tulé automaattisesti seisovista aalloista) ⇒

$$d^3 N_{\vec{v}} := \langle n(\vec{v}) \rangle \tilde{f}(\vec{v}) dv_x dv_y dv_z$$

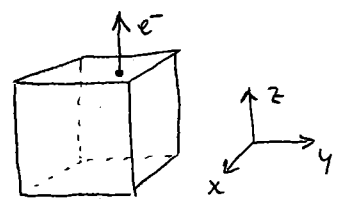
$$= \frac{2 V m^2}{8 \pi^3 \hbar^3} \frac{dv_x dv_y dv_z}{e^{(\varepsilon - \mu)/k_B T} + 1}$$

missä  $\varepsilon = \frac{1}{2} m v^2 = \frac{1}{2} m (v_x^2 + v_y^2 + v_z^2)$



Itoaville elektronille  $e^{(\mu-\epsilon)/k_B T} \gg 1$ , joten nolla

$$d^3N_{\vec{v}} = \frac{Vm^3}{4\pi^3 t_1^3} e^{(\mu - \frac{1}{2}mv_z^2)/k_B T} dv_x dv_y dv_z$$



Pinnalta karkaavalla elektronilla on oltava nopeus hettyyn suuntaan, olkaan se  $v_z$ .

Tällä nopeuskomponentille elektronien ikä vähillä  $[v_z, v_z + dv_z]$  on

$$d^3N_{v_z} = \left[ \int_{-\infty}^{\infty} \int_{-\infty}^{\infty} \frac{Vm^3}{4\pi^3 t_1^3} e^{(\mu - \frac{1}{2}mv_z^2)/k_B T} dv_x dv_y \right] dv_z$$

$$= \frac{Vm^3}{4\pi^3 t_1^3} e^{(\mu - \frac{1}{2}mv_z^2)/k_B T} \underbrace{\left[ \int_{-\infty}^{\infty} e^{-\frac{1}{2}mv_x^2/k_B T} dv_x \right]}_{\sqrt{\pi \frac{2k_B T}{m}}} \underbrace{\left[ \int_{-\infty}^{\infty} e^{-\frac{1}{2}mv_y^2/k_B T} dv_y \right]}_{\sqrt{\pi \frac{2k_B T}{m}}} dv_z$$

$$= \frac{Vm^2}{2\pi^2 t_1^3} k_B T e^{(\mu - \frac{1}{2}mv_z^2)/k_B T} dv_z$$

Sähkövirta metallista pois on

$$\vec{J} = e N_{\text{out}} \langle v_z \rangle_{\text{out}} \hat{e}_z \equiv e \int_{v_{\min}}^{\infty} v_z dN_{v_z} \hat{e}_z$$

missä ( $\times$ ):  $\frac{1}{2}mv_{\min}^2 = \mu + e\phi$ . Siten virranthys on

$$j = \frac{|\vec{J}|}{V} = \frac{e m^2}{2\pi^2 t_1^3} k_B T e^{\mu/k_B T} \int_{v_{\min}}^{\infty} v_z e^{-\frac{1}{2}mv_z^2/k_B T} dv_z$$

$$= \frac{k_B T}{m} \int_{v_{\min}}^{\infty} e^{-\frac{1}{2}mv_x^2/k_B T} e^{-(\mu+e\phi)/k_B T}$$

$$\therefore j = \frac{em}{2\pi^2 t_1^3} (k_B T)^2 e^{-e\phi/k_B T}$$

RICHARDSONIN-DUSHMANNIN YHTÄLÖ

(joka todellisissa metallissa tulee olla näitä korjausta)

Laboratygossa mitataan  $e\phi$ .

Lisäksi todetaan, että langan lämmittämiseen menevä teho, joka tulee sähköyn pihalle toteuttaa muistan kappaleen sääteilyn yhteydessä johtuen tuloksen  $I(T) = aT^4$ .

## EKSOTTISEMPI SOVELLOS: NEUTRONITÄHTI

Approximointi: pallomaisen fermikaasupilvi

$$E_{\text{tot}} = E_{\text{fermikaasu}} + U_{\text{gravitaatio}} =: E + U$$

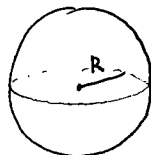
\* Epärelativistinen tarkastelu:

$$\text{Harj. 9:2} \Rightarrow E = \frac{3}{5} N \varepsilon_F = \frac{3}{5} \frac{\hbar^2}{2m} \left( \frac{3}{8\pi} \frac{N}{V} \right)^{2/3} N$$

$$\text{Klassinen mekaniikka: homogeeniseen pallolle } U = -\frac{3}{5} \frac{GM^2}{R} \quad \left. \right\} \Rightarrow$$

$$\Rightarrow E_{\text{tot}} = \frac{3}{5} \left\{ \frac{4\pi^2 \hbar^2}{2m} \left( \frac{9}{32\pi^2} \right)^{2/3} N^{5/3} \frac{1}{R^2} - \frac{GM^2}{R} \right\}$$

$\uparrow \quad V = \frac{4}{3} \pi R^3$



joten energialla  $E_{\text{tot}}$  on minimi kun

$$\frac{dE_{\text{tot}}}{dR} = 0 \Leftrightarrow R = \frac{4\pi^2 \hbar^2}{GM^2 m} \left( \frac{9}{32\pi^2} \right)^{2/3} N^{5/3}$$

\* Ultrarelativistinen raja:  $\varepsilon \approx pc$

$$E = \int_0^{\varepsilon_F} \varepsilon f(\varepsilon) d\varepsilon \approx \int_0^{P_F} pc \underbrace{\frac{V}{\pi^2} \frac{P^2}{t^3}}_{f(p)} c dp \quad \left. \right\} \Rightarrow$$

$$\varepsilon_F = \frac{P_F^2}{2m} \Rightarrow P_F = \left( 3\pi^2 \frac{N}{V} \right)^{1/3} \hbar$$

$$\Rightarrow E = \frac{1}{4} \frac{V}{\pi^2} \frac{c^2}{t^3} P_F^4 = \frac{V \hbar}{4\pi^2 c^2} \left( 3\pi^2 c^3 \frac{N}{V} \right)^{4/3} \propto V^{-1/3} \propto \frac{1}{R}$$

joten myös energialla  $E_{\text{tot}}$  ei ole minima

∴ Tähti voi kentistää mitä vähän tahansa  
(kuin vuorovaihtelukertoaan ei määritellä ole)

Edelleen,  $P_F \approx mc$ , joten

$$\left. \begin{aligned} \left( 3\pi^2 \frac{N}{V} \right)^{1/3} \hbar &= mc \\ V &= \frac{4\pi}{3} R^3 \end{aligned} \right\} \Rightarrow R = \frac{\hbar}{mc} \left( \frac{9\pi}{4} N \right)^{1/3}$$

Edestä johdettuun kaksi lauseketta säteelle R:

$$\text{EPÄRELAT: } R = \frac{4\pi^2 \hbar^2}{GM^2 m} \left( \frac{q}{32\pi^2} \right)^{2/3} N^{5/3} \quad (\text{energia minimi})$$

$$\text{ULTRARELAT: } R = \frac{\hbar}{mc} \left( \frac{q\pi}{4} N \right)^{1/3}$$

Pötkilemme tätä, että näiden ollessa salmat ei epärelativistisen tarkastelun enää riitä; olkoon tähdin  $M=M_{\text{crit}}$

$$\Rightarrow M_{\text{crit}}^2 = \underbrace{\frac{4\pi^2 \hbar c}{G} \left( \frac{q}{32\pi^2} \right)^{2/3} \left( \frac{4}{9\pi} \right)^{1/3} N^{4/3}}_{\left( \frac{q}{32\pi^2} \right)^{1/3} \cdot \frac{1}{2\pi}}$$

$$\Rightarrow M_{\text{crit}} = \sqrt{\frac{4\pi \hbar c}{G}} \left( \frac{q}{32\pi^2} \right)^{1/6} N^{2/3}$$

Olkoon tähdessä  $\tilde{A} = \tilde{Z} + \tilde{N}$  nukleonia ja  $\tilde{N} \neq \tilde{Z}$

$$\Rightarrow M \approx 2\tilde{N}m_n$$

$$\Rightarrow M_{\text{crit}}^{1/3} = \sqrt[3]{\frac{4\pi \hbar c}{G}} \left( \frac{q}{32\pi^2} \right)^{1/6} \left( \frac{1}{2m_n} \right)^{2/3} \left( \frac{1}{2m_n} \right)^{2/3}$$

$$\Rightarrow M_{\text{crit}} \approx 7 \times 10^{30} \text{ kg} \quad (\text{aurinkon massa} \approx 2 \times 10^{30} \text{ kg})$$

Sits tästä massiivisemällä tähdellä ei tässä mallissa ole energiaminimitä äärellisellä R  $\Rightarrow$  tähti luhistuu kasaan.

